

目 次

【猪苗代湖調査事業】

1	猪苗代湖及び主要流入河川のイオンバランスの季節変動と経年変化調査	… 8 4
2	猪苗代湖大腸菌群数超過対策調査	… 1 0 5
3	猪苗代湖全湖水面調査	… 1 1 9
4	湖沼における難分解性有機物調査	… 1 3 1
5	猪苗代湖の水温及び電気伝導率の連続測定調査	… 1 4 2
6	凍結防止剤散布影響調査	… 1 4 7
7	裏磐梯五色沼湖沼群の湖水の化学的な成分に関する調査結果（第7報）	… 1 5 8

猪苗代湖調査事業

本報告書は環境創造センターのウェブサイト上で公開 (<https://www.pref.fukushima.lg.jp/sec/298/inawashiro-chousa.html>) されておりますが、旧環境センタ一年報に掲載されていたことから、本年報においても別途掲載するものです。

1 猪苗代湖及び主要流入河川のイオンバランスの季節変動と経年変化調査

(1) 目的

猪苗代湖は長年酸性湖として知られており、平成7年にはpHは5.1であったが、最近は約6.8まで上昇し水質に変化が生じている。このpHの上昇は、猪苗代湖や猪苗代湖に流入する河川中のイオンの量及び組成が変化していることが原因であると考えられている。

このため、猪苗代湖及び猪苗代湖に流入する主要河川のイオン成分等を経年的に把握することを目的として平成13年度から継続して本調査を実施している。

(2) 調査方法

湖水及び流入河川水について各溶存イオン等の濃度から負荷量を算出し、近年の湖水のpH上昇との関連について調査した。

(3) 調査地点

調査地点を図1に示す。

- | | |
|------------------------------|------|
| ① 猪苗代湖(湖心) | 1 地点 |
| (4層 表層、-10m、-50m 及び
-90m) | |
| ② 硫黄川(高森川合流前) | 1 地点 |
| ③ 高森川(酸川合流前) | 1 地点 |
| ④ 酸川(高森川合流前) | 1 地点 |
| ⑤ 酸川(酸川野) | 1 地点 |
| ⑥ 長瀬川(上長瀬橋) | 1 地点 |
| ⑦ 長瀬川(小金橋) | 1 地点 |



図1 調査地点

なお、⑦ 長瀬川(小金橋)は原則として発電所の放流の影響を受けない時間帯に調査を行った。

(4) 調査時期

- (3)-アの地点：4月14日、6月7日、8月21日、10月25日
(3)-イ～キの地点：4月21日、4月25日、6月16日、8月29日、10月20日、
12月20日、2月21日

(5) 調査項目

- ア 気温、水温、透明度（湖）、色相（湖）、流量（河川）、透視度（河川）
イ 金属成分（Fe、Mn、Al、Zn）
ウ 陽イオン（ Na^+ 、 K^+ 、 Ca^{2+} 、 Mg^{2+} 、 NH_4^+ ）
エ 陰イオン（ F^- 、 Cl^- 、 SO_4^{2-} 、 NO_3^- 、 NO_2^- ）
オ その他（pH、EC、DO、T-P、 PO_4^{3-} 、T-N、酸度、アルカリ度、TOC、クロロフィルa（chl-a））

なお、Fe、Mn、Al、Zn、T-P は、試料を GF/C (ろ紙) でろ過した試料を「溶存態」として測定した。

(6) 測定方法

- ア pH : イオン電極法
- イ EC : 交流二電極法
- ウ DO、酸度、アルカリ度 : 滴定法
- エ T-P、PO₄-P、T-N : 吸光光度法
- オ Fe、Mn、Al、Zn : ICP/AES 法
- カ Na⁺、K⁺、Ca²⁺、Mg²⁺、NH₄⁺、F⁻、Cl⁻、SO₄²⁻、NO₃⁻、NO₂⁻ : イオンクロマトグラフ法
- キ TOC : 燃焼酸化-赤外線分析方式
- ク chl-a : アセトン抽出による吸光光度法

(7) 結果及び考察

平成 29 年度の現地調査結果を 100 ページ別紙 1-1 及び 101 ページ別紙 1-2 に、分析結果を 102 ページ別紙 2、103 ページ別紙 3-1 及び 104 ページ別紙 3-2 に示す。

ア 猪苗代湖湖心について

(ア) 季節変動

a 水温

鉛直水温の調査結果を図 2 に示す。

4月の水温は全層でほぼ一定で、6月には水温躍層が形成されつつあり、8月には水深 5～30m に水温躍層が形成され、10月には水温躍層が水深 20～40m に下がり、例年と同様の傾向を示した。

測定期間の最高水温は 8 月の表層で 23.5 °C であった。

b pH

pH の調査結果を図 3 に示す。最大値は、8 月の水深 10m における 7.17 で、最小値は 8 月の水深 90m における 6.60 であった。

水深ごとに pH の季節変動をみると、表層は 6.69～7.12、水深 10m は 6.74～7.17、水深 50m は 6.73～6.83、水深 90m は 6.60～6.79 の範囲で推移していた。

pH の季節変動を全層についてみると、水温躍層形成前の 4 月は pH の値が全層でほぼ一定であり、水温躍層形成後の 8 月以降は水温躍層の上層部(表層、10m)で pH が高く、下層部(50m、90m)では低く差が見られた。これは例年と同じ傾向であった。

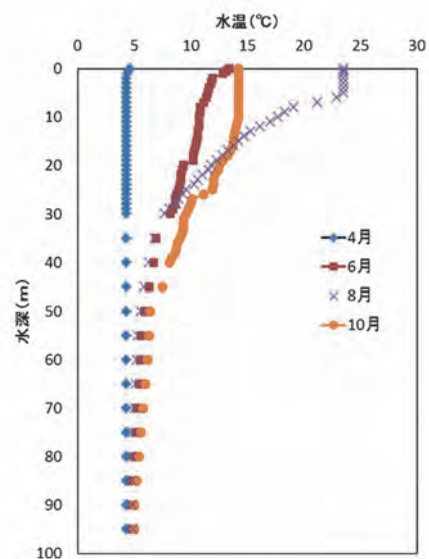


図 2 鉛直水温

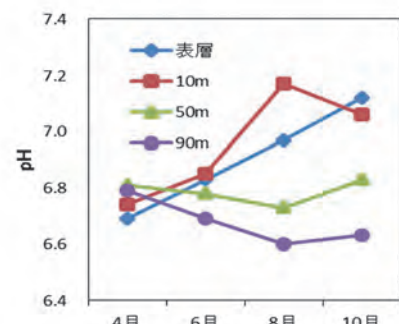


図 3 pH の季節変動

c T-N、T-P

T-Nの調査結果を図4に、 $\text{NO}_3\text{-N}$ 、 $\text{NO}_2\text{-N}$ 及び $\text{NH}_4\text{-N}$ (窒素換算した濃度)の合算値の結果を図5に示す。 NO_3^- 、 NO_2^- 及び NH_4^+ 濃度が定量下限値(0.01mg/L)未満の場合は0mg/Lとして合算値を算出した。

T-Nの最大値は6月表層の0.26mg/Lであり、最小値は10月表層の0.14mg/Lであった。水温躍層形成前の6月までは4層ともほぼ同じ値だったが、水温躍層を形成後の8月から差が生じはじめ、10月になると水深90m以外の水深での濃度は低くなった。

$\text{NO}_3\text{-N}$ 、 $\text{NO}_2\text{-N}$ 及び $\text{NH}_4\text{-N}$ の合算値は、水温躍層形成後の8月以降に水温躍層の上下で差が見られた。

上層部(表層、10m)は8月及び10月に低い濃度を示した。

下層部では、水深50mが例年と同様に4月から10月までほぼ一定だった。水深90mは8月に上昇し、10月では低下した。

T-Pは10月の表層でのみ0.003mg/Lで検出されたが、 $\text{PO}_4\text{-P}$ は定量下限値未満(<0.003mg/L)であった。

d イオン成分

陽イオン(Ca²⁺、Mg²⁺、K⁺、NH₄⁺、Na⁺)及び陰イオン(SO₄²⁻、NO₃⁻、NO₂⁻、Cl⁻、F⁻)濃度の調査結果を図6、図7に示す。陽イオン及び陰イオンの各成分濃度の季節変動はなく、水深別の差もみられなかった。

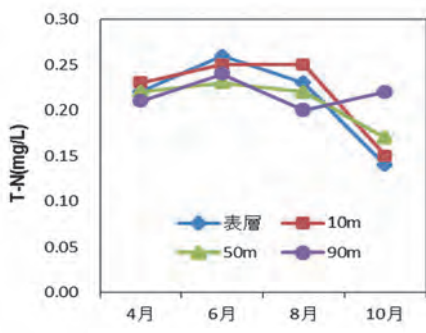


図4 T-Nの季節変動

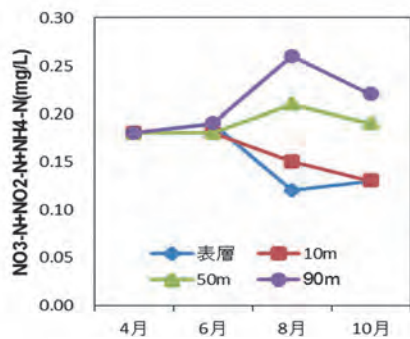


図5 $\text{NO}_3\text{-N}$ 、 $\text{NO}_2\text{-N}$ 及び $\text{NH}_4\text{-N}$ の合算値の季節変動

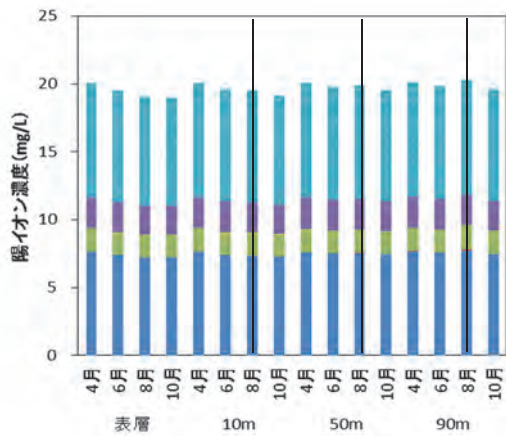


図6 陽イオン成分の水深別季節変動

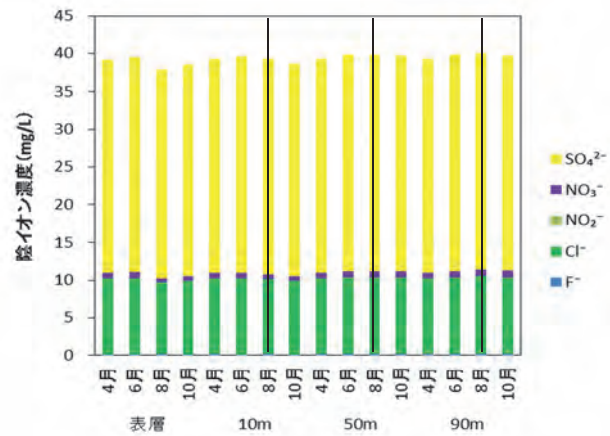


図7 陰イオン成分の水深別季節変動

e DO 飽和率

DO 飽和率の季節変動を図 8 に示す。飽和率が最も高くなったのは8月表層の 111.5%であり、最も低くなかったのは10月水深 90m の 83.3%であった。

季節変動をみると、水温躍層形成前の4月は全層ほぼ同じ DO 飽和率だったが、水温躍層形成後の8月及び10月には、上層部(表層、10m)では DO 飽和率が高く(97.7~111.5%)、下層部(50m、90m)では低い値(83.3~93.9%)となっており差が見られた。

これは例年と同様の傾向であった。

f 金属成分 (Fe、Mn、Al、Zn)

金属成分の全量(T-)から溶存態(D-)を引いた値を懸濁態(S-)として、Fe、Mn 及び Al それぞれの溶存態と懸濁態の季節変動を図 9~11 に示す。なお、金属成分濃度が定量下限値(0.01mg/L)未満の場合は 0mg/L として負荷量を算出した。また、溶存態が 0.01mg/L 未満の場合は 0mg/L として懸濁態を算出した。

Fe は懸濁態でのみ存在する結果となり、濃度は 0.01mg/L 未満から 0.05mg/L の範囲だった。(図 9)

Mn は、4月及び6月は全層で検出され、8月は水深 90m、10月は水深 50m 及び 90m で検出された。懸濁態として、検出されたのは6月の表層、水深 10m、水深 50m であり、溶存態として検出されたのは4月の全層、6月及び8月の水深 90m であった。(図 10)

なお、10月の水深 50m 及び水深 90m の溶存態 Mn については、測定不良により欠測としたため、図 10 にはこれらのデータを入れていない。

Al は、0.01mg/L 未満から 0.07mg/L の範囲で、懸濁態として検出される方が多かった。(図 11)

Zn は4月の水深 10m でのみ溶存態で 0.01mg/L 検出された以外は検出されなかつた。

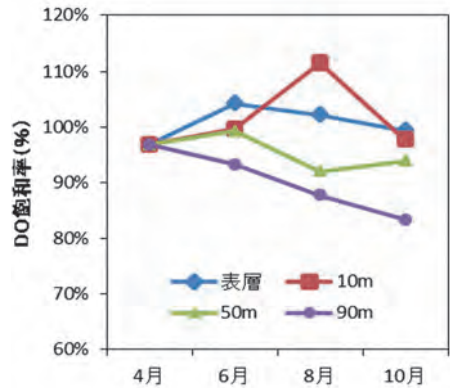


図 8 DO 飽和率の季節変動

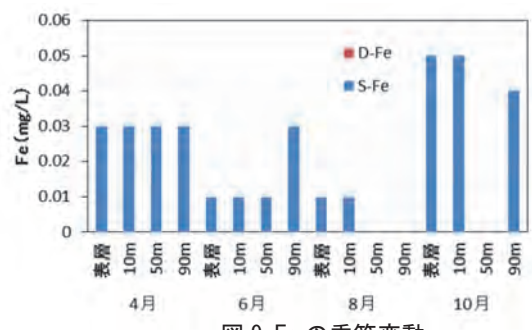


図 9 Fe の季節変動

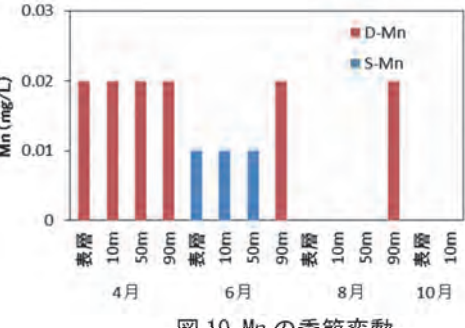


図 10 Mn の季節変動

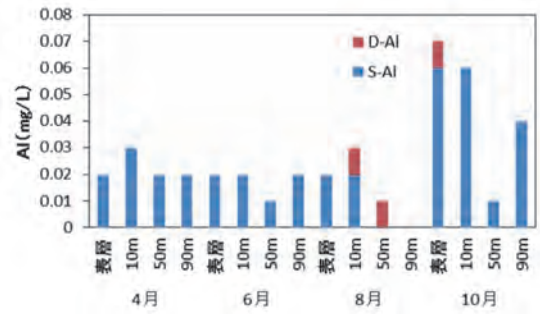


図 11 Al の季節変動

g TOC

TOC の季節変動を図 12 に示す。

最も高い値は 8 月の表層の 0.95mg/L であり、最も低い値は 6 月の水深 50m の 0.50mg/L であった。

季節変動をみると、水温躍層形成 前の 4 月は全層ほぼ同じ値であり、6 月には水深 10m 以外の各層でやや低下していた。

8 月になると各層の TOC は上昇し、10 月には低下した。

(イ) 経年変化

a pH (平成元～29 年度)

pH の年平均値の経年変化を図 13 に示す（注 1）。平成元～7 年度までは 5.0～5.1 の範囲にあり、平成 8 年度以降、年々上昇したが、平成 21 年度以降は 6.8 前後の値でほぼ横ばいとなっている。平成 29 年度の pH の年平均値は平成 28 年度と同じく 6.88 であった。

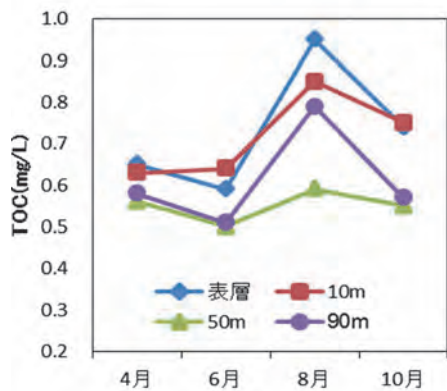


図 12 TOC の季節変動

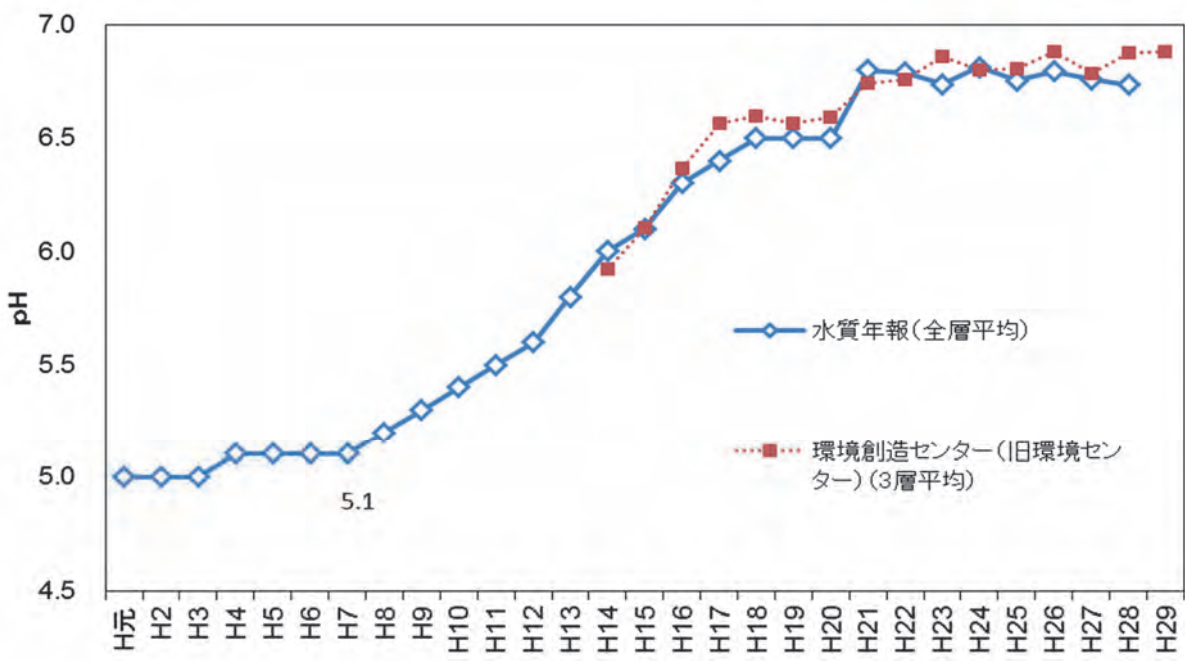


図 13 pH 経年変化

注 1：「水質年報（全層平均）」とは、水質汚濁防止法に基づく常時監視結果全層（表層、-10m、-20m、-50m の 4 層）の平均値を指し、「環境創造センター（旧環境センター（3 層平均）」は 3 層（表層、-10m、-50m）の平均値を指す。

b イオン当量濃度（昭和54～56年度、平成13～29年度）

昭和54年度から昭和56年度に福島大学等が行った調査、平成13年から平成29年度に旧環境センター及び環境創造センターが行った調査のイオン当量濃度の推移を図14に示す。平成13年度から平成29年度のイオン当量濃度の総和は、昭和54年度から昭和56年度と比較すると減少していた。また、平成18年度までは減少、平成19年度からは横ばい若しくは増加傾向となっていたが、平成27年度には若干減少し、平成29年度までほぼ横ばいの値となった。

陽イオンの成分割合は、大きい順に Ca^{2+} 、 Na^+ 、 Mg^{2+} 、 K^+ 、 Al^{3+} の順で、平成13年度から成分濃度に顕著な経年変化は認められていないが、昭和54年度から昭和56年度と比較すると、 Al^{3+} の減少の割合が大きい。

陰イオンの成分割合は、多い順に SO_4^{2-} 、 Cl^- で、この2物質で全体の約90%を占め、次いで HCO_3^- 、 NO_3^- の順であった。

SO_4^{2-} は平成13年度から平成18年度まで毎年減少傾向が続き、その後平成22年度まで横ばい、その後増加傾向にあったが、平成27年度には平成18年度のイオン当量濃度の総和程度まで減少し、横ばいとなっている。一方、 Cl^- は平成18年度以降わずかに増加傾向となっていたが、平成26年度から横ばいとなっている。

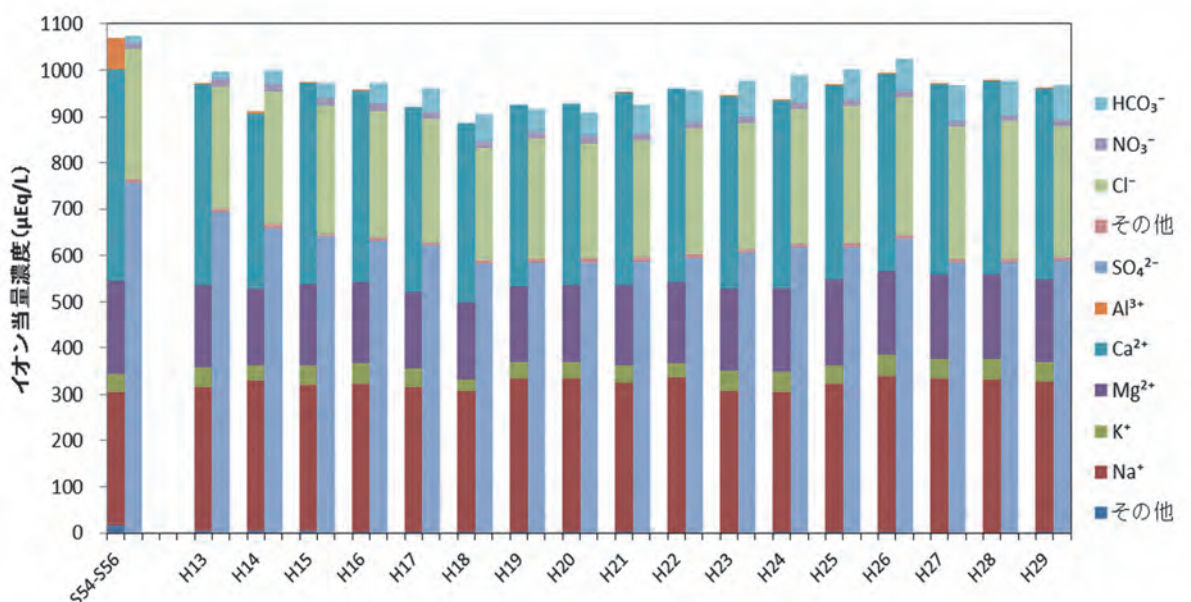


図14 イオン当量濃度の経年変化（3層平均）

表層のpH及び表層、10m、50mの三層平均のアルカリ度（pH4.8）の経年変化を図15に示す。平成29年度のアルカリ度は4.49～5.07 mgCaCO₃/Lであった。経年的には緩やかな増加傾向となっている。

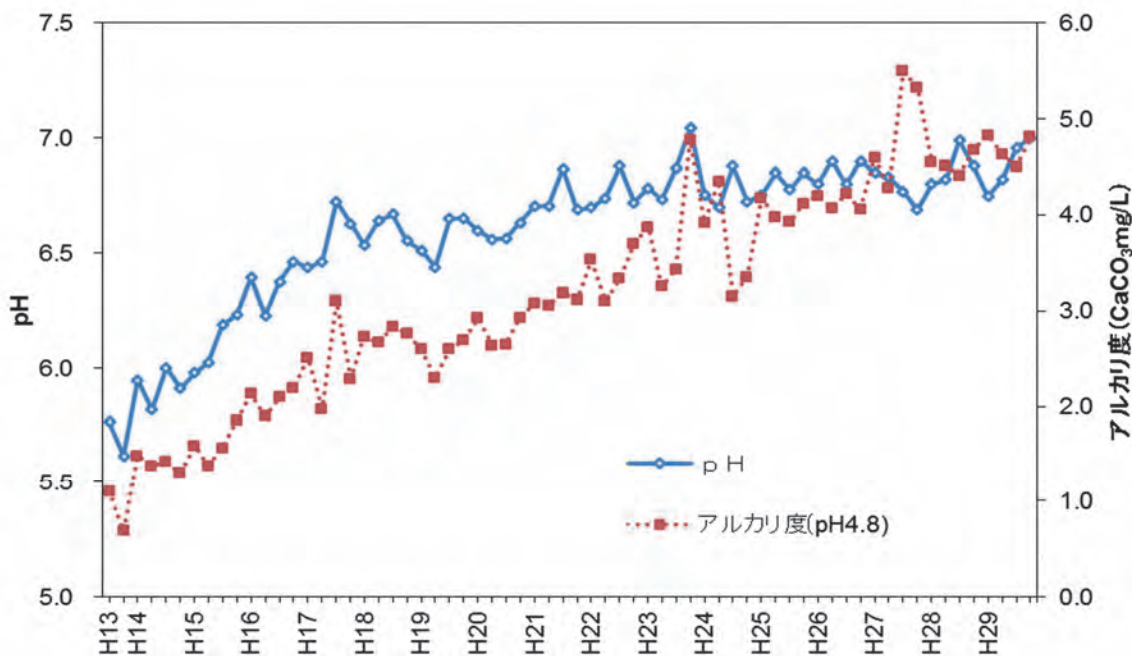


図 15 pH 及びアルカリ度の経年変化（3層平均）

c TOC(平成 19~29 年度)

TOC は平成 19 年度から調査項目とした。TOC の表層、水深 10m、50m、90m 及び全層の年平均値の経年変化を図 16 に示す。

年平均は、上層部（表層、10m）の値が下層部（50m、90m）より高かった。また各層の年平均値は平成 25 年度までは増加傾向を示し、それ以降は横ばいで推移していたが、平成 28 年度は増加傾向にある。

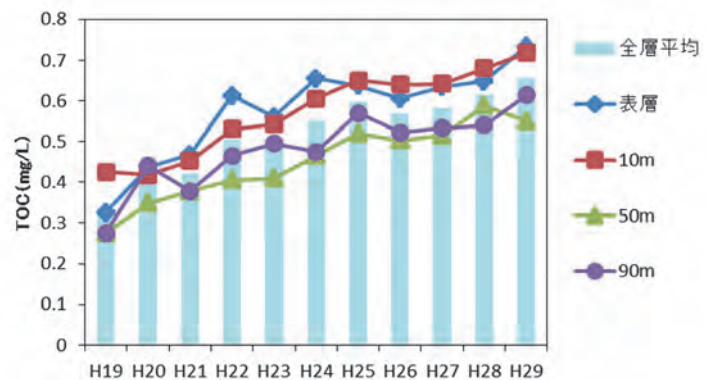


図 16 TOC の層別年平均値及び全層年平均値の経年変化

d T-N (平成 14~29 年度)

表層、水深 50m における 4 月及び 10 月の T-N の経年変化は、ばらつきが大きかった。また、 $\text{NO}_3\text{-N}$ 、 $\text{NO}_2\text{-N}$ 、 $\text{NH}_4\text{-N}$ の合算値はわずかずつ減少する傾向を示していたが、平成 29 年度は 10 月の合算値が増加した。（図 17）

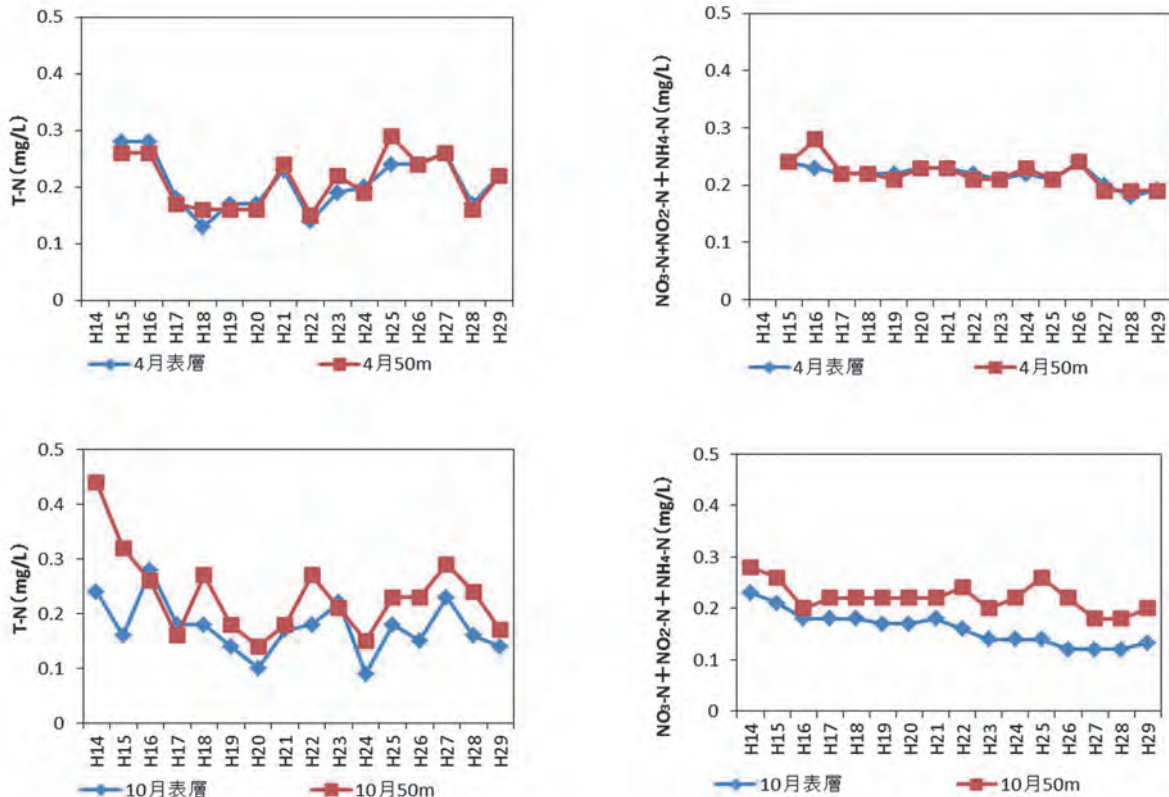


図 17 T-N 及び $\text{NO}_3\text{-N}$ 、 $\text{NO}_2\text{-N}$ 、 $\text{NH}_4\text{-N}$ の経年変化

イ 流入河川について

猪苗代湖流入河川の平成 29 年度調査結果を 103 ページ別紙 3-1 及び 104 ページ別紙 3-2 に示す。調査地点の概要は、旧硫黄鉱山坑内排水の影響を受ける強酸性の硫黄川が高森川と合流した後、沼尻・中ノ沢温泉の影響を受ける酸川へ合流している。硫黄川、高森川、酸川本川が合流した⑤ 酸川（酸川野）は、さらに下流で裏磐梯湖沼群を源とする長瀬川本川と合流する。図 1 で示した調査地点のうち② 硫黄川（高森川合流前）、③ 高森川（酸川合流前）、④ 酸川（高森川合流前）を酸性物質の発生源付近の「上流域河川」と位置付け、⑤ 酸川（酸川野）、⑥ 長瀬川（上長瀬橋）、⑦ 長瀬川（小金橋）を「下流域河川」として結果を示す。

調査地点ごとの流量を図 18 に示す。

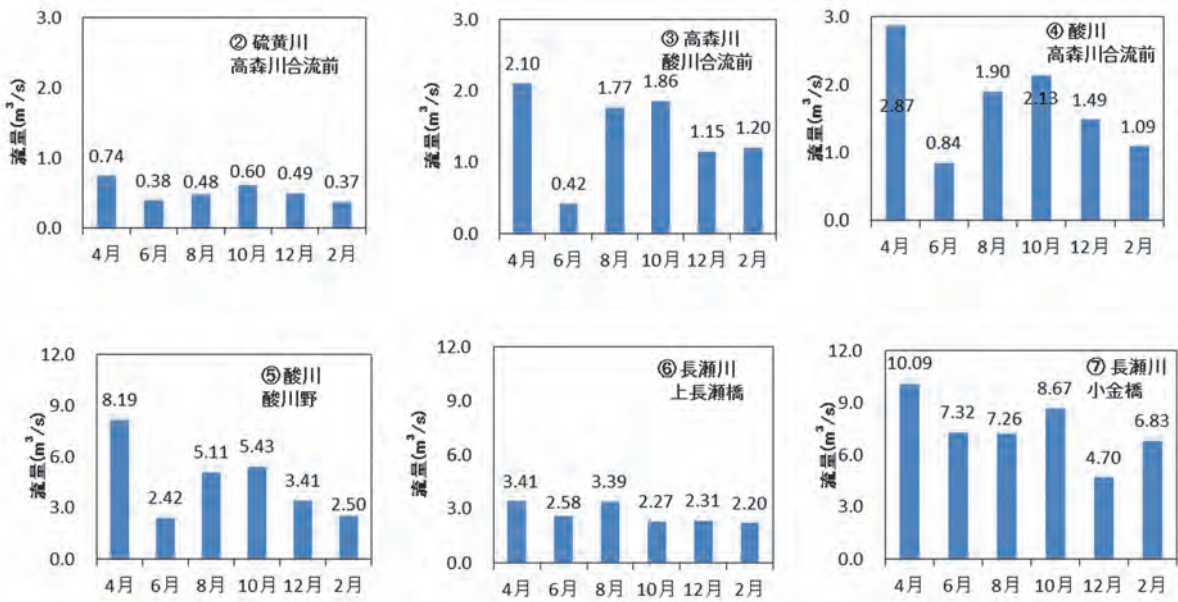


図 18 各河川の流量の季節変動

調査対象河川の概要及び各河川の pH、流量、アルカリ度負荷量、鉛酸酸度負荷量の平均値を図 19 に示す。

平成 29 年度は③ 高森川(酸川合流前)の流量及び鉛酸酸度負荷量並びに④ 酸川(高森川合流前)の pH で、平成 18 年度から平成 28 年までの年平均値の範囲を上回った。

他の河川については、すべての項目の値が平成 28 年までの年平均値の範囲内であった。



図 19 調査対象河川の概要

(ア) 季節変動

a 金属成分

調査対象河川における全量溶存態 (D-) の Fe、Mn 及び Al のそれぞれの負荷量の季節変動について、また全量 (T-) から溶存態を引いた値を懸濁態 (S-) として算出した負荷量及び流量の季節変動について図 20～図 22 に示す。なお、金属成分濃度が定量下限値 (0.01mg/L) 未満の場合は 0mg/L として負荷量を算出した。また、溶存態が 0.01mg/L 未満の場合は 0mg/L として懸濁態を算出した。

Fe について、調査対象河川を比較してみると、上流域河川及び⑤ 酸川 (酸川野) までは溶存態の割合が高く、⑥ 長瀬川 (上長瀬橋) との合流後の⑦ 長瀬川 (小金橋) では懸濁態の割合が増加している。これは例年と同様の傾向であり、酸川と長瀬川の合流による pH の上昇に伴い、Fe の一部が不溶化したためと考えられる。(図 20)

Mn について、上流域河川、⑤ 酸川 (酸川野) 、⑦ 長瀬川 (小金橋) で全負荷量に占める溶存態の割合が高かった。また、Al について、⑤ 酸川 (酸川野) の 10 月を除き、上流域河川及び上流域河川の合流後である⑤ 酸川 (酸川野) までは 1 年を通じて全負荷量に占める溶存態の割合が高かった。

また、裏磐梯湖沼群を上流源とする⑥ 長瀬川 (上長瀬橋) では、負荷量は小さいため明確な溶存態と懸濁態の比率や季節変動はみられなかった。

最下流部である⑦ 長瀬川 (小金橋) では、負荷量の大きい酸川 (酸川野) の影響を受け、Mn と Al は⑤ 酸川 (酸川野) と同様に 1 年を通じて溶存態として存在する割合が高かった。

Zn について、すべての調査対象河川において 1 年を通じて負荷量が小さく、明確な溶存態と懸濁態の比率や季節変動はみられなかった。

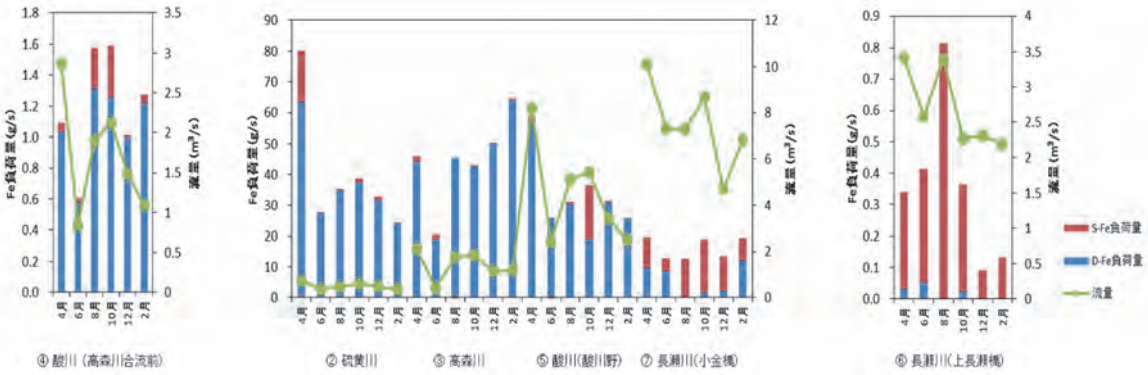


図 20 Fe 負荷量の季節変動

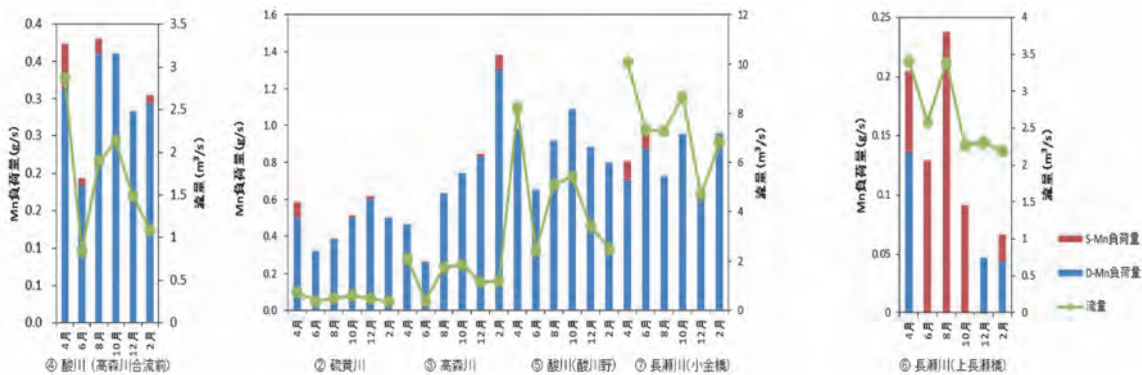


図 21 Mn 負荷量の季節変動

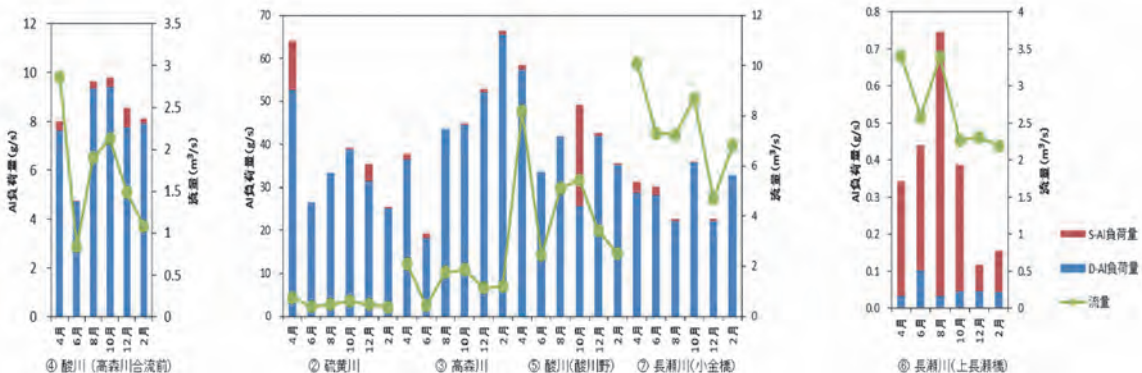


図 22 Al 負荷量の季節変動

b 酸度、アルカリ度

調査対象河川の総酸度、鉱酸酸度及びアルカリ度の結果を図 23 に示す。

鉱酸酸度負荷量の総酸度負荷量に占める割合は、② 硫黄川 (高森川合流前) 77 ~90%、③ 高森川 (酸川合流前) は約 72~85%と高かった。⑤ 酸川 (酸川野) は約 69~80%、⑦ 長瀬川 (小金橋) は約 21~45%であり下流になるにつれて低い割合となった。平成 29 年度は、硫黄川の 4 月に鉱酸酸度負荷量、総酸度負荷量が高い値を示した。③ 高森川 (酸川合流前) は各季節とも鉱酸酸度負荷量、総酸度負荷量が例年より多かった。⑥ 長瀬川 (上長瀬橋) のアルカリ度負荷量は約 33~60gCaCO₃/s であり、流量の変化に伴った増減がみられた。

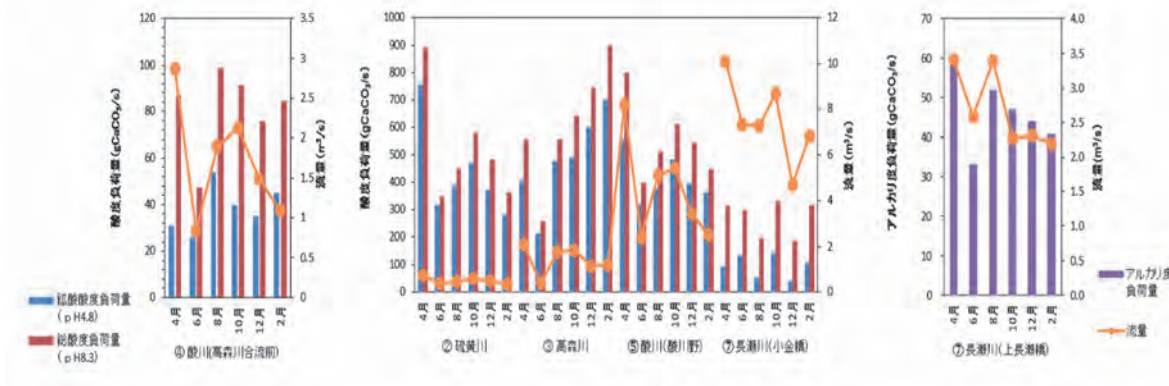


図 23 酸度負荷量及びアルカリ度負荷量の季節変動

c イオン成分負荷量

上流域河川3地点における Cl^- 及び SO_4^{2-} 負荷量の季節変動を図24に示す。

3河川とも1年を通じて SO_4^{2-} 負荷量が Cl^- 負荷量より大きく、 SO_4^{2-} 負荷量と Cl^- 負荷量の割合はほぼ一定であり、高森川を除いて流量に応じて増減がみられた。

下流域河川における陰イオン及び陽イオン成分負荷量の各季節変動を図25-1及び図25-2に示す。

陰イオン成分の合計負荷量は1年を通じて SO_4^{2-} 負荷量及び Cl^- 負荷量の合算値が陰イオン成分の合計負荷量の約98%以上を占めており、例年と同じ傾向であった。

また上流域河川と同様に流量に応じた増減が見られ、イオンの構成比に季節変動は見られなかった。

陽イオン成分負荷量については、 Na^+ 及び Ca^{2+} 負荷量の合算量が陽イオン成分の合計負荷量に対して、⑤酸川（酸川野）で約78%、⑥長瀬川（上長瀬橋）で約82%、⑦長瀬川（小金橋）で約80%を占めており、例年と同じ傾向が見られた。

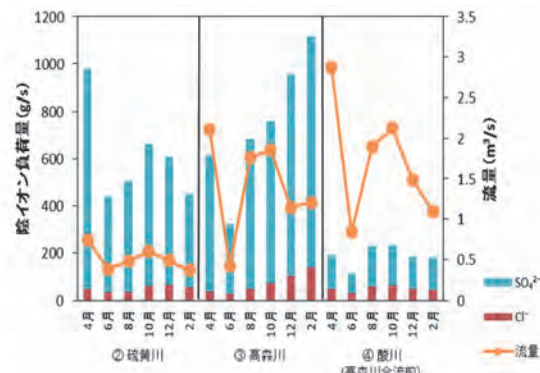


図 24 上流域河川の陰イオン負荷量の季節変動

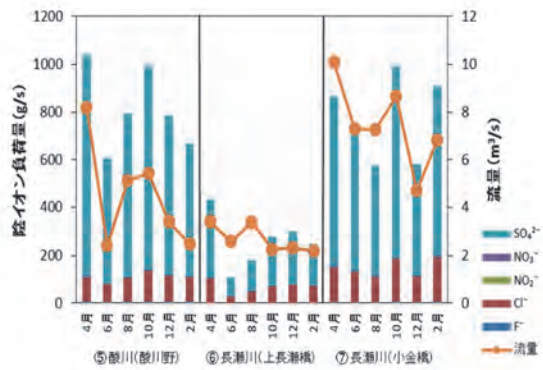


図 25-1 下流域河川の陰イオン負荷量の季節変動

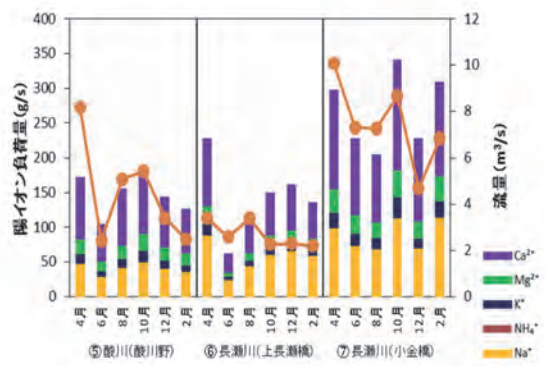


図 25-2 下流域河川の陽イオン負荷量の季節変動

また、陰イオン負荷量と同様に流量に応じた増減が見られた。

⑥ 長瀬川（上長瀬橋）では陽イオン成分の合計負荷量に対して Na^+ が約 39～44% 及び Ca^{2+} は約 38～43% とほぼ同じ割合であるが、⑤ 酸川（酸川野）は Ca^{2+} が約 50%、 Na^+ が約 28% と Ca^{2+} の割合が高かった。この 2 地点合流後の⑦ 長瀬川（小金橋）は Ca^{2+} が約 44～49%、 Na^+ が約 31～36% で、 Ca^{2+} の割合が高かった。

d T-P (D-P, S-P)

下流域河川における D-P のそれぞれの負荷量の季節変動について、また T-P から D-P を引いた値を S-P として算出した負荷量及び流量の季節変動について図 26 に示す。

なお、D-P が定量下限値 (0.01mg/L) 未満の場合は 0mg/L として S-P を算出した。

T-P については、他の項目と同様に流量に応じた増減がみられた。また、最下流部である⑦長瀬川（小金橋）では S-P のみであった。この結果は、例年と同様であり、酸性河川の酸川と中性河川の長瀬川が合流し pH が上昇することで一部不溶化した Fe に D-P が吸着し懸濁態（フロック）になったためと考えられる。

(i) 経年変化（平成 16～29 年度）

酸性河川である② 硫黄川（高森川合流前）、③ 高森川（酸川合流前）、④ 酸川（高森川合流前）、⑤ 酸川（酸川野）及び⑦ 長瀬川（小金橋）について、溶存態 (D-) の Fe 負荷量、溶存態 (D-) の Al 負荷量、 SO_4^{2-} 負荷量、鉄酸酸度負荷量及び流量の年平均値の経年変化を検討した。また、微アルカリ性河川である⑥ 長瀬川（上長瀬橋）については D-Fe 負荷量、D-Al 負荷量、 SO_4^{2-} 負荷量、アルカリ度負荷量及び流量の年平均値の経年変化についてまとめた。なお、それぞれの負荷量は年平均で示している。

② 硫黄川（高森川合流前）の経年変化を図 27 に示す。D-Fe 負荷量及び D-Al 負荷量はの負荷量は平成 25 年度から増加傾向が続いているが、平成 29 年度は D-Fe 負荷量が減少した。また、 SO_4^{2-} 負荷量も平成 23 年度から増加傾向であり、平成 28 年度はこれまで最大であったが平成 29 年度は減少した。

③ 高森川（酸川合流前）の経年変化を図 28 に示す。平成 29 年度は全項目でこれまでの最大の値を示した。

④ 酸川（高森川合流前）の経年変化を図 29 に示す。D-Al の負荷量が D-Fe 負荷量と比べて約 7 倍程度大きい傾向にある。平成 29 年度は全項目で平成 28 年度より増加しており、平成 26 年度以降増加傾向が続いている。

上流域の硫黄川、高森川及び酸川が合流した後の地点である⑤ 酸川（酸川野）の経年変化を図 30 に示す。平成 26 年度以降全項目で増加傾向にあったが、平成 29 年度は全項目で前年度と比べて減少に転じていた。

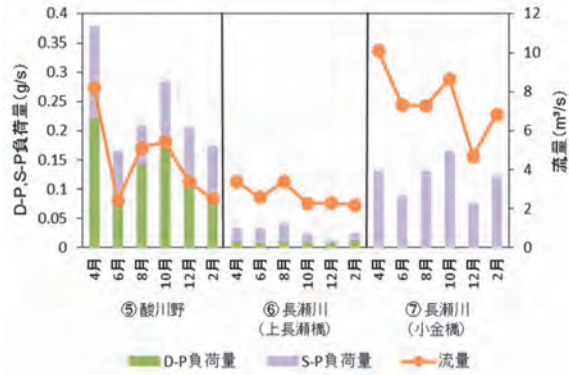


図 26 D-P 及び S-P 負荷量の季節変動

⑥ 長瀬川（上長瀬橋）の経年変化を図31に示す。平成28年度と比較してD-Al負荷量は減少していたがD-Fe負荷量は増加していた。硫黄川とは別の流域である
 ⑥ 長瀬川（上長瀬橋）は、他の地点と比較してSO₄²⁻負荷量が小さいと同時に増減も少なく、平成22年度からはほぼ横ばい傾向にある。また、アルカリ度負荷量は平成26年度から減少傾向にある。

最下流部である⑦長瀬川（小金橋）の経年変化を図32に示す。D-Al負荷量、SO₄²⁻負荷量及び鉄酸酸度負荷量は前年度に比べ減少し、D-Fe負荷量はわずかに増加した。

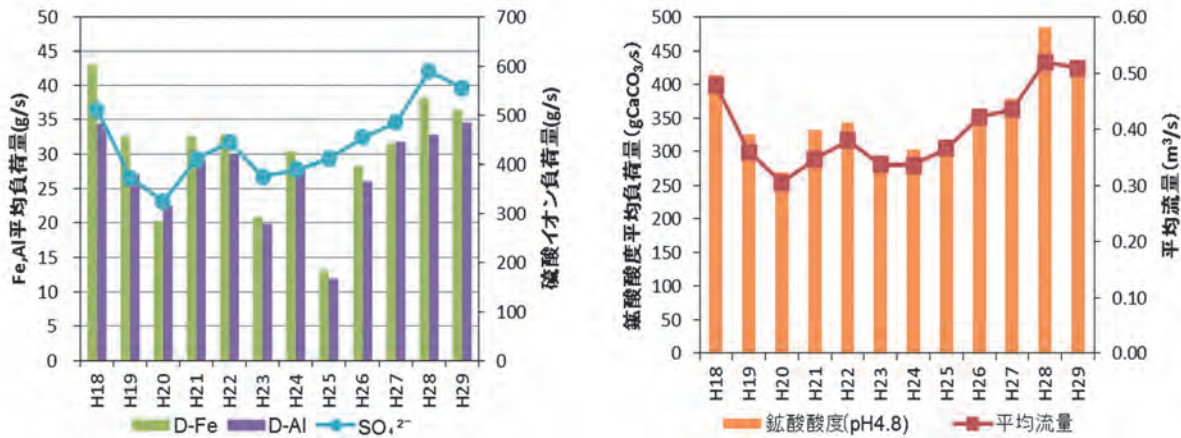


図27(2) 硫黄川(高森川合流前)の酸性成分負荷量及び流量の経年変化

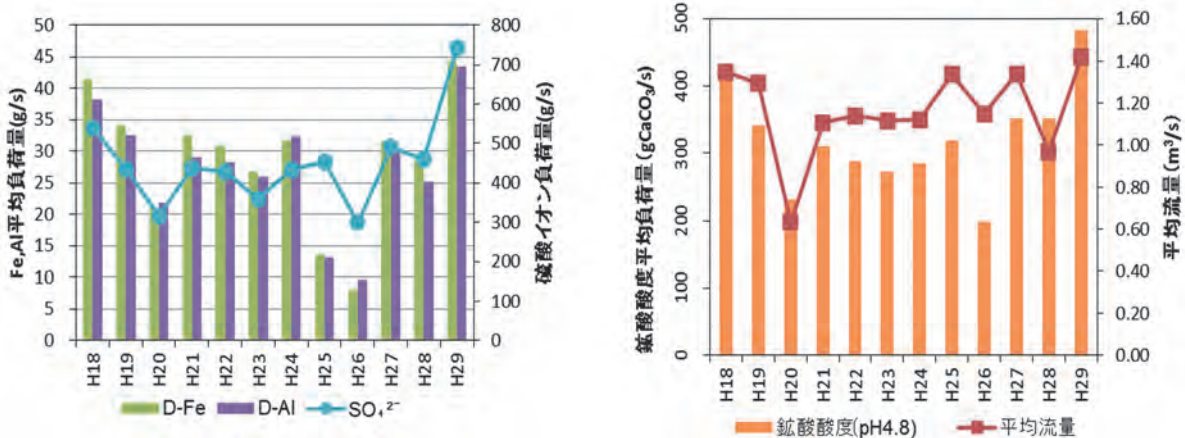


図28(3) 高森川(酸川合流前)の酸性成分負荷量及び流量の経年変化

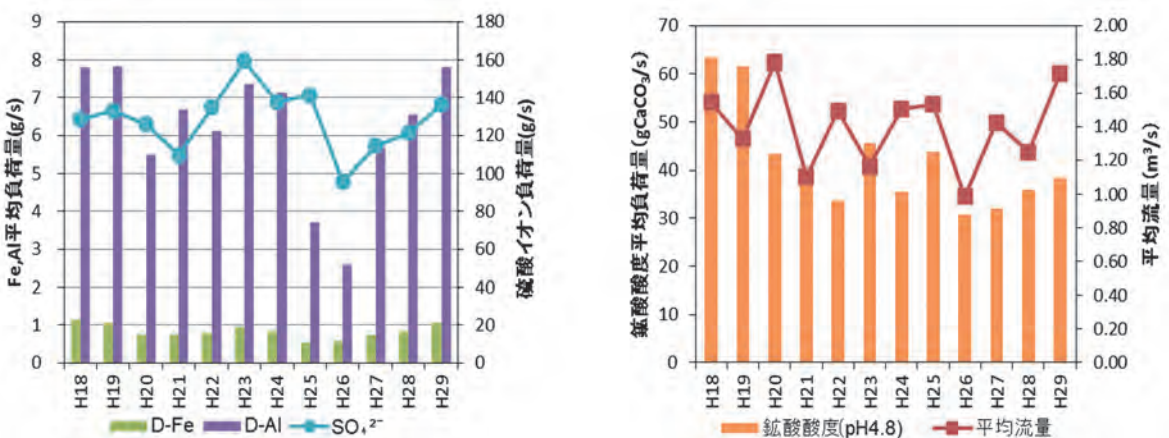


図29(4) 酸川(高森川合流前)の酸性成分負荷量及び流量の経年変化

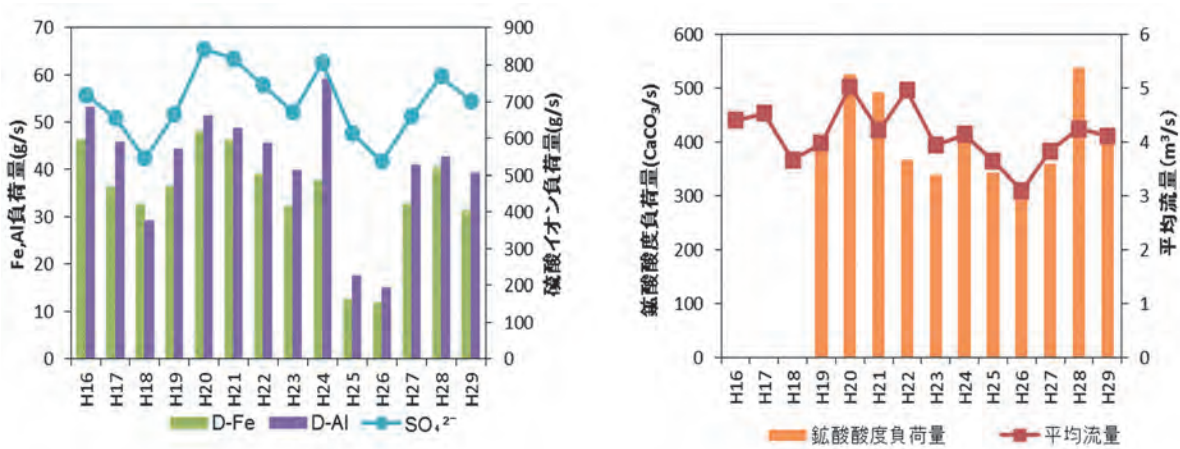


図 30 (5) 酸川(酸川野)の酸性成分負荷量及び流量の経年変化

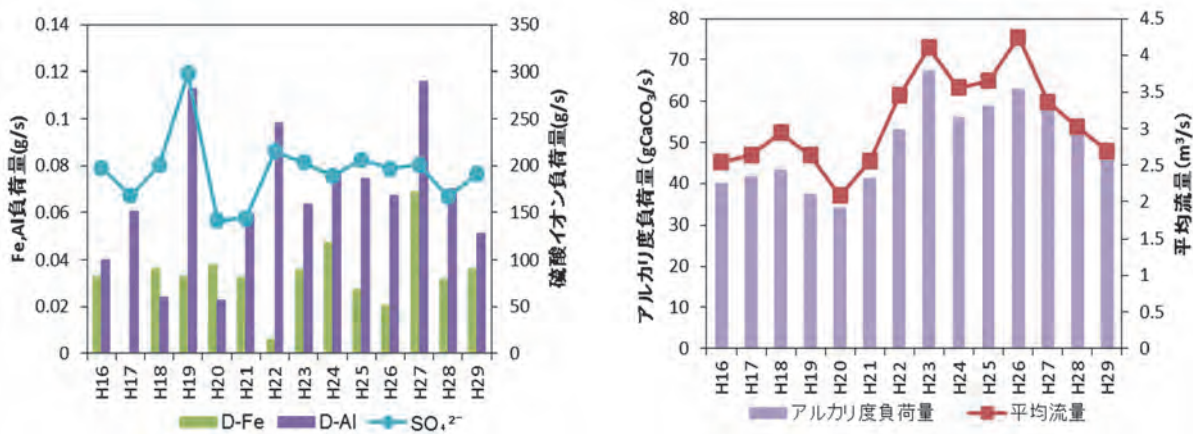


図 31 (6) 長瀬川(上長瀬橋)の酸性成分負荷量及びアルカリ度負荷量及び流量の経年変化

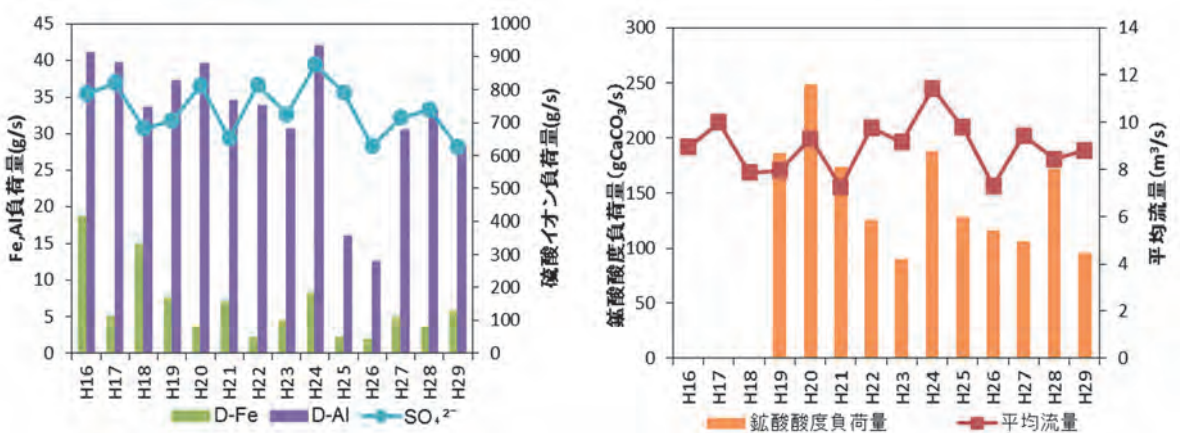


図 32 (7) 長瀬川(小金橋)の酸性成分負荷量及びアルカリ度負荷量及び流量の経年変化

(8) まとめ

ア 猪苗代湖湖心の調査結果

平成 29 年度の pH の 3 層平均は 6.88 であり、平成 21 年度以降横ばい傾向にある pH は例年と同じく水温躍層形成後は水温躍層の上下で値が異なり、上層が高くなっていた。pH の高い順は水深 10m > 表層 > 水深 50m > 水深 90m であり、例年と同じ傾向であった。

DO 飽和率、 $\text{NO}_3\text{-N}$ 、 $\text{NO}_2\text{-N}$ 及び $\text{NH}_4\text{-N}$ の合算値は、例年と同様に水温躍層形成後の 8 月と 10 月には水温躍層の上下で値が異なる結果になった。

陽イオン成分と陰イオン成分は、例年と同様に全層においてほぼ一定の値であり、季節変動はみられなかった。

金属成分 (Fe、Mn、Al) では、Fe は懸濁態のみが検出された。Mn と Al は溶存態も検出されたが溶存態と懸濁態の割合に明確な季節変動は見られなかった。

また Fe、Al においては 8 月まで 0.01mg/L 未満～0.03mg/L の範囲であったが、10 月になると高くなかった。

Zn は 4 月水深 10m 地点で検出された以外は検出されなかった。

経年変化をみると、TOC は平成 19 年度から増加傾向が続いている。イオン当量濃度は、平成 19 年度以降増加傾向が続いていたが平成 27 年度に若干減少し、平成 29 年度まではほぼ横ばいが続いている。アルカリ度は緩やかな増加傾向が続いている。

イ 猪苗代湖流入河川の調査結果

平成 29 年度の金属成分負荷量は、⑤ 酸川（酸川野）では 1 年を通じて溶存態の割が高かった。⑦ 長瀬川（小金橋）では、Mn 及び Al が溶存態の割合が高いのに対し、Fe は溶存態の割合が低下していた。これは酸性河川の酸川と中性河川である長瀬川が合流し pH が上昇することで Fe の一部が不溶化しているためと考えられた。

イオン成分負荷量は、猪苗代湖湖心と同様に、陰イオンについては SO_4^{2-} 及び Cl^- 負荷量が高く、陽イオンについては Ca^{2+} 及び Na^+ の負荷量が高かった。季節変動はあまりなく、流量に応じた変動が見られた。

T-P は、Fe と同様に⑤ 酸川（酸川野）では溶存態、⑥ 長瀬川（上長瀬橋）では懸濁態の割合が高く、この 2 河川の合流後の⑦ 長瀬川（小金橋）は全て懸濁態で存在する結果となった。これは、2 河川の合流後、pH の上昇により不溶化した Fe にリンが吸着し懸濁態（フロック）になったためと考えられている。

各河川の D-Fe 負荷量、D-Al 負荷量、 SO_4^{2-} 負荷量及び鉄酸酸度負荷量については流量に伴う増減がみられた。

別紙1-1 猪苗代湖及び流入河川 現地調査票

調査地点		①湖心(表層)					
調査年月日		H29.4.14	H29.6.7	H29.8.21	H29.10.25		
採取水深(m)		0.5	0.5	0.5	0.5		
採水時間		9:10	9:05	9:10	9:13		
天候(前日)		曇り	晴れ	曇り	晴れ		
天候(当日)		晴れ	曇り	曇り	曇り		
気温(°C)		7.0	16.1	22.6	10.6		
水温(°C)		4.6	13.1	23.5	14.0		
透明度(cm)		12.0	12.6	11.2	3.5		
水色(フォーレル)		8	8	7	5		
色相		無色	無色	無色	無色		
臭氣		無臭	無臭	無臭	無臭		
濁り		透明	透明	透明	透明		
調査地点		②硫黄川(高森川合流前)					
調査年月日		H29.4.21	H29.6.16	H29.8.29	H29.10.20	H29.12.20	H30.2.21
採取時間		9:20	10:09	10:10	10:07	10:03	10:40
天候(前日)		曇り	晴れ	曇り	曇り	雪	晴れ
天候(当日)		曇り	晴れ	晴れ	曇り	曇り	晴れ
気温(°C)		11.1	15.8	23.2	10.2	0.5	-2.0
水温(°C)		13.5	18.1	17.7	10.4	6.3	5.0
透視度(cm)		>100	>100	>100	>100	>100	>100
流況		通常	流量少	通常	通常	通常	通常
色相		無色	無色	無色	無色	無色	無色
臭氣		無臭	硫化水素(微)	無臭	無臭	無臭	硫化水素(微)
濁り		透明	透明	透明	透明	透明	透明
調査地点		③高森川(酸川合流前)					
調査年月日		H29.4.21	H29.6.16	H29.8.29	H29.10.20	H29.12.20	H30.2.21
採取時間		9:54	10:48	10:48	11:13	11:19	12:11
天候(前日)		曇り	晴れ	曇り	曇り	雪	晴れ
天候(当日)		曇り	晴れ	晴れ	曇り	曇り	曇り
気温(°C)		15.0	20.6	22.8	11.5	3.4	-2.1
水温(°C)		11.5	17.9	16.2	10.0	5.0	3.4
透視度(cm)		>100	>100	>100	>100	>100	>100
流況		通常	通常	通常	通常	通常	通常
色相		無色	無色	無色	無色	無色	無色
臭氣		無臭	無臭	無臭	無臭	無臭	無臭
濁り		透明	透明	透明	透明	透明	透明
調査地点		④酸川(高森川合流前)					
調査年月日		H29.4.21	H29.6.16	H29.8.29	H29.10.20	H29.12.20	H30.2.21
採取時間		10:30	11:37	11:25	11:47	12:35	12:54
天候(前日)		曇り	晴れ	曇り	曇り	雪	晴れ
天候(当日)		曇り	晴れ	晴れ	曇り	曇り	曇り
気温(°C)		13.0	18.3	21.1	12.0	1.5	3.0
水温(°C)		12.8	17.0	15.8	10.8	4.9	5.1
透視度(cm)		>100	>100	26	>100	>100	>100
流況		通常	通常	通常	通常	流量少	通常
色相		無色	無色	白色・乳白色(中)	無色	無色	無色
臭氣		無臭	無臭	硫化水素(微)	無臭	無臭	無臭
濁り		透明	透明	濁	透明	透明	透明

別紙1-2 猪苗代湖及び流入河川 現地調査票

調査地点		⑤酸川(酸川野)					
調査年月日		H29.4.21	H29.6.16	H29.8.29	H29.10.20	H29.12.20	H30.2.21
採水時間		11:17	12:24	12:25	12:33	13:35	13:43
天候(前日)		曇り	晴れ	曇り	曇り	雪	晴れ
天候(当日)		曇り	晴れ	曇り	曇り	晴れ	晴れ
気温(°C)		18.1	25.4	27.5	13.2	7.1	0.0
水温(°C)		12.7	21.7	17.5	10.9	4.3	3.0
透視度(cm)		>100	>100	>100	>100	>100	>100
流況		通常	流量少	通常	通常	流量少	通常
色相		無色	無色	無色	無色	無色	無色
臭氣		無臭	無臭	無臭	無臭	無臭	無臭
濁り		透明	透明	透明	透明	透明	透明

調査地点		⑥長瀬川(上長瀬橋)					
調査年月日		H29.4.21	H29.6.16	H29.8.29	H29.10.20	H29.12.20	H30.2.21
採水時間		12:05	13:11	13:00	13:08	14:15	14:15
天候(前日)		曇り	晴れ	曇り	曇り	雪	晴れ
天候(当日)		曇り	晴れ	晴れ	曇り	晴れ	曇り
気温(°C)		17.9	22.5	23.5	13.7	3.1	-1.8
水温(°C)		13.2	21.0	20.8	12.3	3.5	2.2
透視度(cm)		>100	>100	>100	>100	>100	>100
流況		通常	通常	通常	通常	流量少	通常
色相		無色	無色	無色	無色	無色	無色
臭氣		無臭	無臭	無臭	無臭	無臭	無臭
濁り		透明	透明	透明	透明	透明	透明

調査地点		⑦長瀬川(小金橋)					
調査年月日		H29.4.25	H29.6.16	H29.8.29	H29.10.20	H29.12.20	H30.2.21
採水時間		9:40	8:48	8:52	8:41	8:20	9:00
天候(前日)		曇り	晴れ	曇り	曇り	雪	晴れ
天候(当日)		晴れ	晴れ	晴れ	小雨	小雪	曇り
気温(°C)		18.1	20.5	27.0	11.0	0.5	-3.8
水温(°C)		9.4	15.1	18.2	10.5	2.5	0.5
透視度(cm)		>100	>100	75	89	>100	>100
流況		通常	流量少(浮遊物多)	通常	流量少	通常	通常
色相		無色	無色	無色	淡黄	無色	淡黄
臭氣		無臭	無臭	無臭	無臭	無臭	無臭
濁り		透明	透明	微濁	透明	透明	微濁

別紙2 湖心の分析結果

猪苗代湖 溶存態 調査日	湖心 0m			湖心 10m			湖心 50m			湖心90m		
	4/14	6/7	8/21	10/25	4/14	6/7	8/21	10/25	4/14	6/7	8/21	10/25
pH	6.69	6.83	6.97	7.12	6.74	6.85	7.17	7.06	6.81	6.78	6.73	6.83
EC $\mu\text{S}/\text{cm}$	109	104	92	118	111	111	88	118	114	105	93	115
T-P mg/L	<0.003	<0.003	<0.003	<0.003	<0.003	<0.003	<0.003	<0.003	<0.003	<0.003	<0.003	<0.003
PO ₄ -P mg/L	—	—	—	<0.003	—	—	—	—	—	—	—	—
Na ⁺ mg/L	7.66	7.41	7.22	7.25	7.64	7.42	7.37	7.28	7.62	7.53	7.57	7.47
NH ₄ ⁺ mg/L	0.01	<0.01	<0.01	<0.01	0.01	<0.01	0.02	<0.01	0.01	0.02	0.01	<0.01
K ⁺ mg/L	1.72	1.70	1.69	1.69	1.73	1.70	1.71	1.70	1.72	1.70	1.72	1.71
Mg ²⁺ mg/L	2.23	2.17	2.10	2.11	2.24	2.18	2.15	2.12	2.25	2.21	2.20	2.17
Ca ²⁺ mg/L	8.45	8.26	8.08	7.98	8.49	8.29	8.30	8.02	8.46	8.35	8.43	8.20
Fe mg/L	<0.01	<0.01	<0.01	<0.01	<0.01	<0.01	<0.01	<0.01	<0.01	<0.01	<0.01	<0.01
Mn mg/L	0.02	<0.01	<0.01	<0.01	0.02	<0.01	<0.01	<0.01	0.02	<0.01	<0.01	<0.01
Al mg/L	<0.01	<0.01	<0.01	<0.01	<0.01	<0.01	<0.01	<0.01	<0.01	<0.01	<0.01	<0.01
Zn mg/L	<0.01	<0.01	<0.01	<0.01	0.01	<0.01	<0.01	<0.01	<0.01	<0.01	<0.01	<0.01
F ⁻ mg/L	0.14	0.14	0.15	0.14	0.15	0.14	0.15	0.14	0.15	0.15	0.16	0.15
Cl ⁻ mg/L	10.05	10.07	9.58	9.79	10.05	10.06	10.02	9.79	10.07	10.19	10.18	10.15
NO ₂ ⁻ mg/L	<0.01	<0.01	<0.01	<0.01	<0.01	<0.01	<0.01	<0.01	<0.01	<0.01	<0.01	<0.01
NO ₃ ⁻ mg/L	0.82	0.85	0.55	0.59	0.80	0.82	0.64	0.59	0.80	0.83	0.89	0.88
SO ₄ ²⁻ mg/L	28.22	28.47	27.60	28.05	28.34	28.58	28.46	28.07	28.28	28.65	28.59	28.55
アルカリ度(H+) mgCaCO ₃ /L	4.71	4.53	4.52	4.79	4.91	4.64	4.49	4.73	4.86	4.72	4.50	4.91
クロロフィルa $\mu\text{g}/\text{L}$	0.2	0.6	0.6	0.7	—	—	—	—	—	—	—	—
DO mg/L	12.1	10.6	8.5	9.9	12.2	10.7	10.3	9.7	12.2	12.0	11.2	11.2
DO飽和率 %	96.8	104.2	102.2	99.3	96.8	99.6	111.5	97.7	96.8	99.3	92.0	93.9
猪苗代湖 全量 調査日	湖心 0m			湖心 10m			湖心 50m			湖心90m		
T-N mg/L	0.22	0.26	0.23	0.14	0.23	0.25	0.25	0.15	0.22	0.23	0.22	0.17
T-P mg/L	<0.003	<0.003	<0.003	0.003	<0.003	<0.003	<0.003	<0.003	<0.003	<0.003	<0.003	<0.003
PO ₄ -P mg/L	—	—	—	<0.003	—	—	—	—	—	—	—	—
Fe mg/L	0.03	0.01	0.01	0.05	0.03	0.01	0.01	0.05	0.03	0.01	<0.01	0.03
Mn mg/L	0.02	0.01	<0.01	0.01	0.02	0.01	<0.01	0.01	0.02	0.01	<0.01	0.02
Al mg/L	0.02	0.02	0.07	0.03	0.02	0.03	0.06	0.02	0.01	0.01	0.02	0.04
Zn mg/L	<0.01	<0.01	<0.01	<0.01	0.01	<0.01	<0.01	<0.01	0.01	<0.01	<0.01	<0.01
TOC mg/L	0.65	0.59	0.95	0.74	0.63	0.64	0.85	0.75	0.56	0.50	0.59	0.55

別紙3-1 流入河川の分析結果

河川	溶存態 調査日	酸川 酸川野						長瀬川 上長瀬橋						長瀬川 小金橋					
		8/29	10/20	12/20	2/21	4/21	6/16	8/29	10/20	12/20	2/21	4/21	6/16	8/29	10/20	12/20	2/21		
pH	3.23	2.98	3.24	3.15	3.02	2.96	7.26	7.30	7.37	7.58	7.51	7.49	3.96	3.79	4.32	3.91	4.08	3.85	
EC	386	719	379	535	814	959	342	125	136	358	433	384	288	254	180	280	369	378	
T-P	0.019	0.029	0.013	0.020	0.029	0.032	0.003	0.003	0.004	0.003	0.005	<0.003	<0.003	<0.003	<0.003	<0.003	<0.003		
Na ⁺	mg/L	5.81	11.88	8.26	9.29	11.94	14.27	26.21	9.31	13.06	26.80	26.96	9.83	9.96	9.39	13.13	14.77	16.66	
NH ₄ ⁺	mg/L	0.02	0.06	0.05	0.04	0.05	0.09	<0.01	0.01	0.01	<0.01	<0.01	0.01	0.02	0.04	0.02	0.03	0.06	
K ⁺	mg/L	1.70	3.52	2.39	3.02	3.31	3.97	4.62	1.92	2.47	5.29	4.71	2.19	2.53	2.27	3.50	3.17	3.44	
Mg ²⁺	mg/L	2.59	5.89	3.80	4.35	5.74	6.91	7.57	2.48	3.12	7.13	7.54	6.44	3.34	3.65	3.17	4.39	5.23	
Ca ²⁺	mg/L	10.86	21.80	15.87	17.69	21.17	25.09	28.36	10.43	12.95	26.70	28.31	23.82	14.11	14.98	13.30	18.23	25.44	
Fe	mg/L	6.96	10.74	5.93	3.47	9.06	10.25	0.01	0.02	<0.01	0.01	<0.01	0.96	1.19	0.03	0.20	0.47	1.77	
Mn	mg/L	0.12	0.27	0.18	0.20	0.26	0.32	0.04	<0.01	<0.01	0.01	0.02	0.07	0.12	0.10	0.11	0.13	0.14	
Al	mg/L	7.00	13.85	8.23	4.72	12.30	14.12	0.01	0.04	0.01	0.02	0.02	0.02	0.02	0.06	4.13	4.72	4.81	
Zn	mg/L	0.01	0.02	0.01	0.01	0.02	0.02	<0.01	<0.01	<0.01	<0.01	<0.01	0.01	0.01	0.01	0.01	0.01	0.01	
F ⁻	mg/L	0.49	1.21	0.86	0.97	1.29	1.69	0.10	0.05	0.05	0.09	0.09	0.08	0.27	0.41	0.36	0.47	0.51	
Cr	mg/L	12.46	31.63	19.55	24.10	32.68	41.52	30.41	10.46	14.12	30.91	33.89	32.61	14.15	17.10	14.29	20.47	23.07	
NO ₂ ⁻	mg/L	<0.01	<0.01	<0.01	<0.01	<0.01	<0.01	<0.01	<0.01	<0.01	<0.01	<0.01	<0.01	<0.01	<0.01	<0.01	<0.01		
NO ₃ ⁻	mg/L	1.01	0.95	0.97	0.76	0.99	1.13	0.32	0.36	0.23	0.10	0.09	0.24	1.01	0.94	0.95	0.91	1.10	
SO ₄ ²⁻	mg/L	112.69	216.66	133.79	157.40	195.42	222.70	96.03	30.34	38.87	91.54	97.24	79.52	70.39	82.43	63.65	92.59	99.41	
アルカリ度 ^(H4.8)	mgCaCO ₃ /L	—	—	—	—	—	—	17.77	12.89	15.29	20.73	19.10	18.56	—	—	—	—		
酸度 ^(H4.8)	mgCaCO ₃ /L	67.55	132.10	74.05	89.07	116.09	145.61	—	—	—	—	—	9.30	18.42	7.04	16.37	8.57	15.81	
酸度 ^(H8.3)	mgCaCO ₃ /L	97.57	165.13	100.58	112.59	159.62	180.14	—	—	—	—	—	31.03	40.81	27.10	38.18	40.11	46.55	
流量	m ³ /s	8.190	2.423	5.105	5.433	3.411	2.498	3.410	2.582	3.393	2.273	2.309	2.198	10.093	7.319	7.260	8.665	6.828	

河川	全量	酸川 酸川野						長瀬川 上長瀬橋						長瀬川 小金橋					
		4/21	6/16	8/29	10/20	12/20	2/21	4/21	6/16	8/29	10/20	12/20	2/21	4/21	6/16	8/29	10/20	12/20	2/21
T-N	mg/L	0.47	0.52	0.56	0.32	0.37	0.48	0.11	0.18	0.19	0.04	0.02	0.10	0.30	0.41	0.38	0.23	0.32	0.36
T-P	mg/L	0.027	0.039	0.028	0.032	0.031	0.037	0.010	0.013	0.012	0.010	0.005	0.011	0.013	0.012	0.018	0.019	0.016	0.018
Fe	mg/L	7.17	10.57	6.08	6.69	9.22	10.34	0.10	0.16	0.24	0.16	0.04	0.06	1.94	1.77	1.73	2.18	2.86	2.84
Mn	mg/L	0.12	0.27	0.18	0.20	0.26	0.32	0.06	0.07	0.04	0.02	0.03	0.08	0.13	0.10	0.11	0.13	0.14	
Al	mg/L	7.14	13.52	8.13	9.03	12.51	14.25	0.10	0.17	0.22	0.17	0.05	0.07	3.08	4.12	3.13	4.15	4.85	
Zn	mg/L	0.01	0.02	0.01	0.01	0.01	0.02	<0.01	<0.01	<0.01	<0.01	<0.01	<0.01	<0.01	<0.01	<0.01	<0.01	<0.01	

別紙3-2 流入河川の分析結果

河川	溶存態 調査日	高森川 酸川合流前						酸川 高森川合流前						硫黄川 高森川合流前					
		4/21	6/16	8/29	10/20	12/20	2/21	4/21	6/16	8/29	10/20	12/20	2/21	4/25	6/16	8/29	10/20	12/20	2/21
pH	3.04	2.46	2.74	2.70	2.42	2.35	3.90	3.47	3.54	3.75	3.56	3.33	2.16	2.29	2.31	2.30	2.33	2.23	
EC	$\mu\text{S}/\text{cm}$	771	2280	1166	1439	2950	3330	197	525	314	317	517	703	3640	3330	2510	3440	4060	4180
T-P	mg/L	-	-	-	-	-	-	-	-	-	-	-	-	-	-	-	-	-	
Na ⁺	mg/L	-	-	-	-	-	-	-	-	-	-	-	-	-	-	-	-	-	
NH ₄ ⁺	mg/L	-	-	-	-	-	-	-	-	-	-	-	-	-	-	-	-	-	
K ⁺	mg/L	-	-	-	-	-	-	-	-	-	-	-	-	-	-	-	-	-	
Mg ²⁺	mg/L	-	-	-	-	-	-	-	-	-	-	-	-	-	-	-	-	-	
Ca ²⁺	mg/L	-	-	-	-	-	-	-	-	-	-	-	-	-	-	-	-	-	
Fe	mg/L	21.07	45.78	25.67	23.03	43.64	53.31	0.36	0.69	0.59	0.67	1.12	85.40	71.47	72.91	62.18	64.47	65.56	
Mn	mg/L	0.22	0.63	0.36	0.40	0.73	1.08	0.11	0.22	0.19	0.17	0.19	0.27	0.68	0.84	0.80	0.83	1.24	1.37
Al	mg/L	17.36	43.59	24.70	23.96	45.45	54.53	2.66	5.62	4.93	4.43	5.22	7.28	70.92	69.09	69.84	64.41	63.97	68.80
Zn	mg/L	0.03	0.06	0.03	0.03	0.07	0.07	0.01	0.01	0.01	0.01	0.01	0.01	0.10	0.08	0.08	0.08	0.09	0.08
F ⁻	mg/L	-	-	-	-	-	-	-	-	-	-	-	-	-	-	-	-	-	
Cl ⁻	mg/L	17.63	64.86	27.81	39.05	87.39	114.16	17.56	36.04	32.09	30.10	33.65	42.79	67.81	94.86	74.22	104.17	138.50	154.36
NO ₂ ⁻	mg/L	-	-	-	-	-	-	-	-	-	-	-	-	-	-	-	-	-	
NO ₃ ⁻	mg/L	-	-	-	-	-	-	-	-	-	-	-	-	-	-	-	-	-	
SO ₄ ²⁻	mg/L	274.20	706.80	359.46	368.89	746.25	812.48	48.51	95.76	87.96	78.40	88.73	121.78	1253.11	1047.33	979.98	992.37	1100.79	1072.91
アルカリ度($\text{mEqH}_2\text{O}/\text{L}$) mgCaCO ₃ /L	-	-	-	-	-	-	-	-	-	-	-	-	-	-	-	-	-	-	
酸度(pH4.8) mgCaCO ₃ /L	191.65	518.41	270.21	265.71	524.41	582.96	10.65	30.88	28.42	18.70	23.49	41.36	1021.31	820.65	811.64	778.12	764.11	768.11	
酸度(pH8.3) mgCaCO ₃ /L	265.21	620.49	316.25	345.27	650.52	747.59	30.40	56.20	51.97	42.99	50.94	77.59	1202.46	911.22	949.25	957.76	988.29	991.29	
流量 m ³ /s	2.104	0.415	1.766	1.858	1.146	1.204	2.867	0.841	1.899	2.126	1.487	1.088	0.742	0.384	0.477	0.603	0.489	0.366	

2 猪苗代湖大腸菌群超過対策調査

(1) 目的

近年、猪苗代湖では pH、COD 値の上昇といった水質の変化が懸念されているが、大腸菌群数も年々増加傾向にあり、平成 18 年度以降は湖沼 A 類型環境基準(1,000MPN/100mL)を超過するようになった（図 1）。このことから、猪苗代湖及び大腸菌群の流入負荷が大きいと考えられる主要な河川の水質調査を実施することにより、大腸菌群が出現する時の傾向の把握、大腸菌群の種の同定を行い、湖心での季節による生息状況の違いの有無を考察した。また、大腸菌群数が多く検出される 9 月においては、全ての地点について大腸菌群の同定を行い、種の分布状況を確認する。

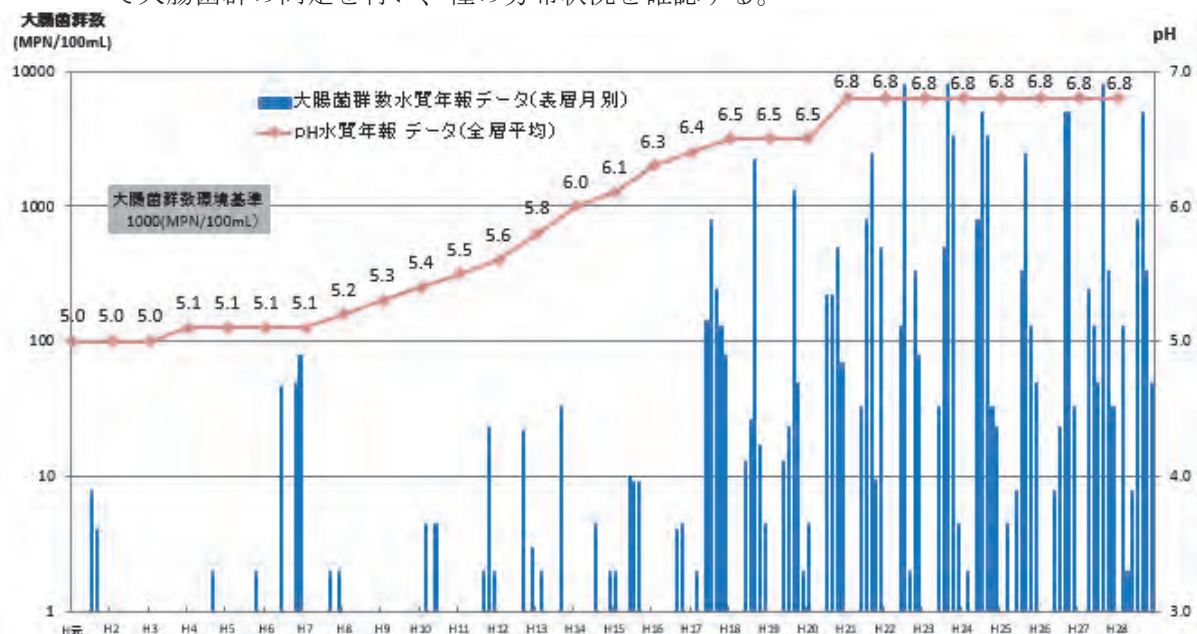


図1 猪苗代湖湖心の pH 及び大腸菌群数の経年変化

(2) 調査方法

猪苗代湖及び主要流入河川（小黒川、高橋川、長瀬川）の大腸菌群等の水質調査を行い、猪苗代湖の大腸菌群の由来や出現状況を考察する。

(3) 調査地点

調査地点は図 2 のとおり。

- ア 猪苗代湖湖心
(表層、水深 5m、水深 15m、水深 30m)
- イ 高橋川（新橋）
- ウ 小黒川（梅の橋）
- エ 長瀬川（小金橋）
- オ 猪苗代湖高橋川沖 500m
(以下「高橋川沖 500m」)
- カ 猪苗代湖小黒川沖 500m
(以下「小黒川沖 500m」)
- キ 猪苗代湖長瀬川沖 500m
(以下「長瀬川沖 500m」)



図2 調査地点

(4) 調査時期

年7回(5月、6月、7月、8月、9月、10月、11月)

(5) 調査項目

- ア 河川3地点については、気温、水温、透視度、色相、臭氣、濁り、流量
- イ 湖7地点については、気温、水温、透明度、色相、臭氣、濁り、沖合調査地点の水深
- ウ pH、EC、DO、SS、大腸菌群数、大腸菌数、TOC、大腸菌群の種の同定

(6) 測定方法

- ア pH：イオン電極法
- イ EC：交流二電極法
- ウ DO：よう素滴定法
- エ SS：重量法
- オ 大腸菌群数、大腸菌数：コリラート培地によるQTトレイ法（アデックスラボラトリーズ（株）
＊湖心の大腸菌群数についてはBGLB培地による最確数法も実施した。
湖心以外の地点については9月のみ実施した。
- カ TOC：燃焼酸化－赤外線分析方式
- キ 種の同定：大腸菌群陽性となったBGLB液体培地からBGLB寒天培地に塗末し、普通寒天培地で単離培養後、もう一度BGLB液体培地でガスを発生した菌株を対象にAPI20E（システムズ・ビオメリュー（株））で菌種を同定した。

(7) 結果及び考察

現地調査結果については、117ページ別紙1のとおり。分析結果については、118ページ別紙2のとおり。

ア 猪苗代湖湖心の水質について

- (ア) 水温の鉛直分布と水温躍層について
湖心における鉛直水温の調査結果を図3に示す。7月12日の水温は水温計のトラブルにより湖心に常時設置している連続観測のデータ（7月12日9:00のデータ）を使用している。

4月の水温は、全層でほぼ一定であり、気温の上昇と共に表層の水温も上昇し、8、9月には水深10m前後に表水層（密度の小さい温かい水の層）が出現し、水温成層が確認された。その後以降から水温の低下により水温躍層部（表水層と深水層の間に存在する水温が急激に変化する層）の下層への低下が始まっていった。

深水層（密度の大きい冷たい水の層）

はおよそ60m以深で、最深部の水温は5°C前後で年間を通して一定であった。

(イ) 大腸菌群数及び大腸菌数について

湖心の大腸菌群数及び水温の調査結果を図4に示す。

湖心表層の大腸菌群数は、5、6月は1MPN/100mL未満であったが、7月から検

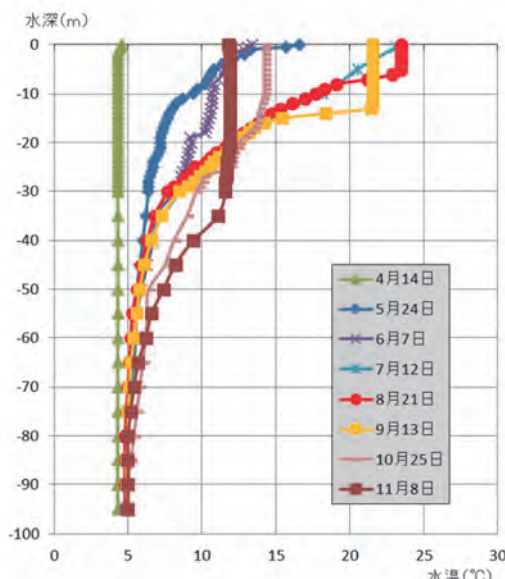


図3 湖心の鉛直分布

出され始め、8月から10月には環境基準の1,000MPN/100mLを超過した。なお、9月13日の12,000MPN/100mLは今年度調査の最大値であり、直近5年間の調査（平成24～28年）と比べても最大となつた。

水深別にみると、5、6月は、表層以外の水深で検出され、7月は全水深で検出し、8月になると全水深で大きく増加していた。平成28年度は、5～7月は水深15m及び30mで比較的多く、また、8～11月は水温躍層の上層である表層及び水深5mで多くなる傾向がみられていたが、平成29年度調査においてはその傾向は確認できなかつた。

湖心表層の水温は、8月21日に23.5°Cと最高値を示し、その後低下していた。水温の上昇とともに大腸菌群が高い値を示す傾向はみられるが、大腸菌群数が表層で最高値を示した9月13日の水温は21.6°Cと8月より低下傾向にあつた。水温の低い水深30mでも8月、9月及び10月に大腸菌群が高い値を示していた。

なお、大腸菌数は全ての時期及び水深で1MPN/100mL未満であった。

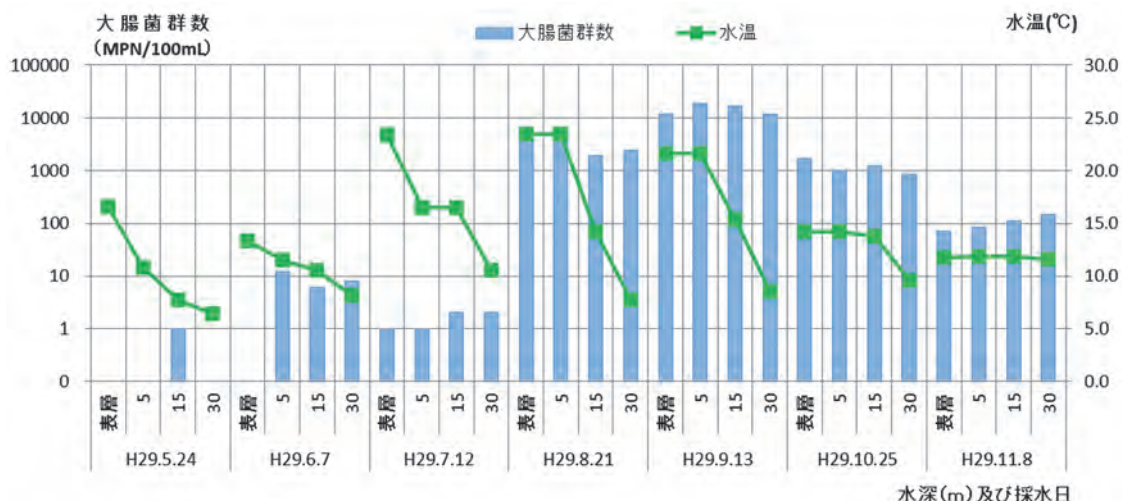


図4 湖心大腸菌群数と水温の推移

(ウ) 大腸菌群数と他の水質調査項目について

湖心のpH及びTOCの調査結果を図5、図6に示し、平成24年度からの表層の大腸菌群数、pH及びTOCの経年変化を図7に示す。また、大腸菌群数とその他の水質調査項目との相関を表1、図8に示す。

pHは6.73～7.26であり、水深30mが比較的低かった。今年度におけるpHの最大値7.26を示したのは9月の表層であり、大腸菌群数も同様に最大値12,000MPN/100mlであった。この値は表層における直近5年間の調査（平成24～28年：6.55～7.11）の中では最大であった。また、pHと大腸菌群数の間に正の相関関係が確認でき、pH6.91付近から大腸菌群数が1,000MPN/100mlを超える頻度が高くなっていた。

TOCは0.55～1.07mg/Lで、過去結果と比較すると、平成28年度に引き続き全体的に値が大きい傾向にあった。また、TOCは大腸菌群数との間に正の相関関係が確認でき、0.69mg/L付近から大腸菌群数が1,000MPN/100mlを超える頻度が高くなっていた。

8月から10月の湖心表層において、大腸菌群数が1,000MPN/100ml以上と高い値を示した要因は、大腸菌群数と相関関係があったpHが6.97～7.26及びTOCが0.74～0.95mg/Lであり、大腸菌群が生育しやすい条件が揃っていたものと推察される。

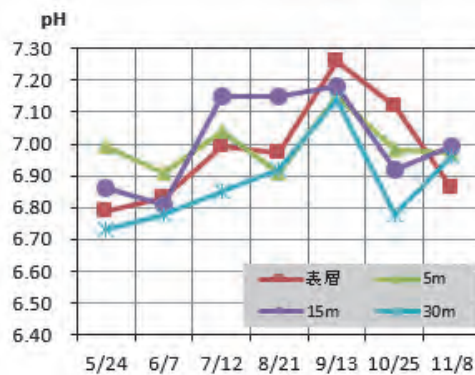


図5 湖心のpH

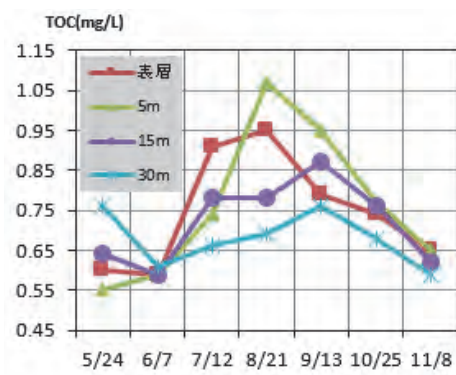


図6 湖心のTOC

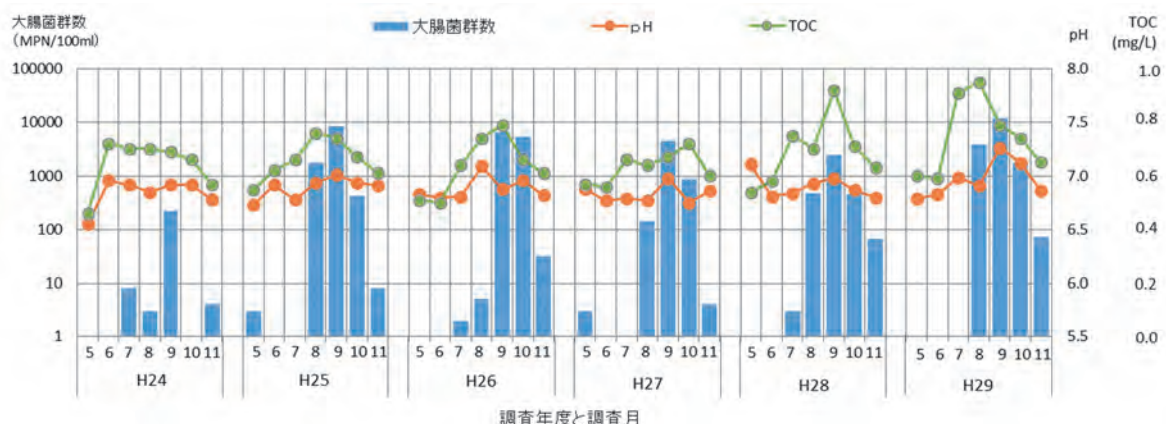


図7 湖心表層の大腸菌群数とpH及びTOCの経年変化（平成24～29年）

表1 猪苗代湖湖心における大腸菌群数とその他の項目の相関関係 (n=28)

	水温	pH	E C	D O飽和率	T O C
大腸菌群数	0.38	0.63	-0.02	-0.37	0.57

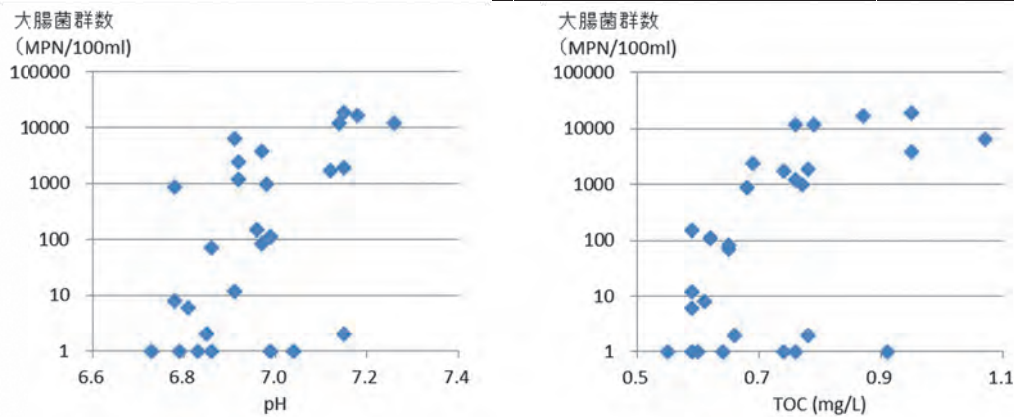


図8 湖心における大腸菌群数とpH及びTOCの相関関係

イ 各河川及び各河川沖 500m の水質について

(ア) 高橋川新橋及び高橋川沖 500m の大腸菌群数及び大腸菌数について

高橋川新橋、高橋川沖 500m 及び湖心表層の大腸菌群数と大腸菌数及び水温の調査結果を図 9 に示す。

高橋川新橋の大腸菌群数は 7,200~26,000MPN/100mL、大腸菌数は 22~150MPN/100mL、高橋川沖 500m 地点の大腸菌群数は 100~6,400MPN/100mL、大腸菌数は 1 未満~7MPN/100mL であった。高橋川沖 500m の大腸菌群数及び大腸菌数は、いずれの調査月も高橋川より数桁低い値を示していたが、これは湖水によって希釈されているためと考えられる。高橋川沖 500m は 8~10 月を除いて湖心表層より高い値を示しており、環境基準の 1,000MPN/100ml を超過したのは 6 月及び 9 月の 2 回であった。

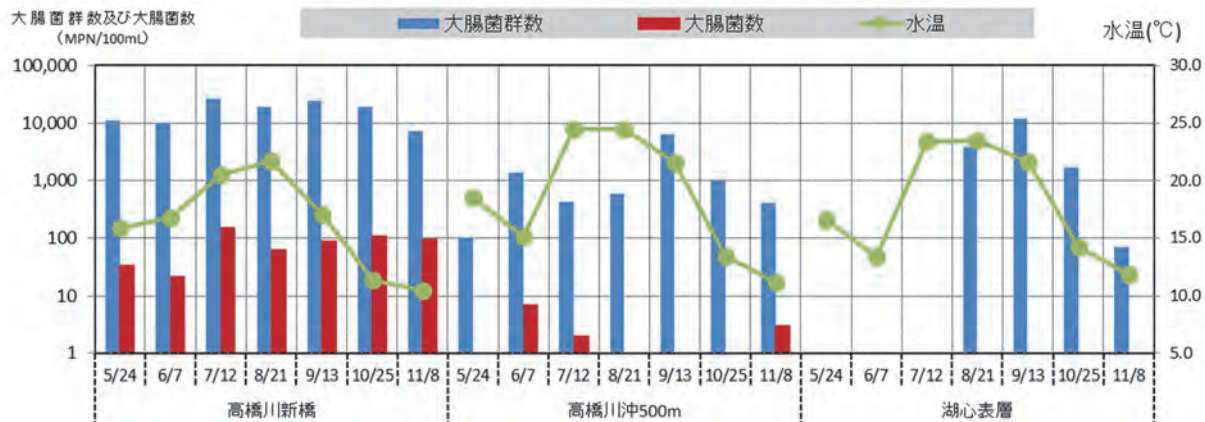


図 9 高橋川新橋、高橋川沖 500m 及び湖心表層の大腸菌群数と大腸菌数及び水温の推移

(イ) 小黒川梅の橋及び小黒川沖 500m の大腸菌群数及び大腸菌数について

小黒川梅の橋、小黒川沖 500m 及び湖心表層の大腸菌群数と大腸菌数及び水温の調査結果を図 10 に示す。

小黒川梅の橋の大腸菌群数は 12,000~81,000MPN/100mL、大腸菌数は 78~770MPN/100mL、小黒川沖 500m の大腸菌群数は 320~17,000MPN/100mL、大腸菌数は 1~17MPN/100mL であった。小黒川沖 500m 地点の大腸菌群数及び大腸菌数は、高橋川沖と同様に、小黒川より数桁低い値を示し、8~10 月を除いて湖心表層より高い値を示していた。環境基準の 1,000MPN/100mL を超えたのは、5~9 月の 5 回であった。

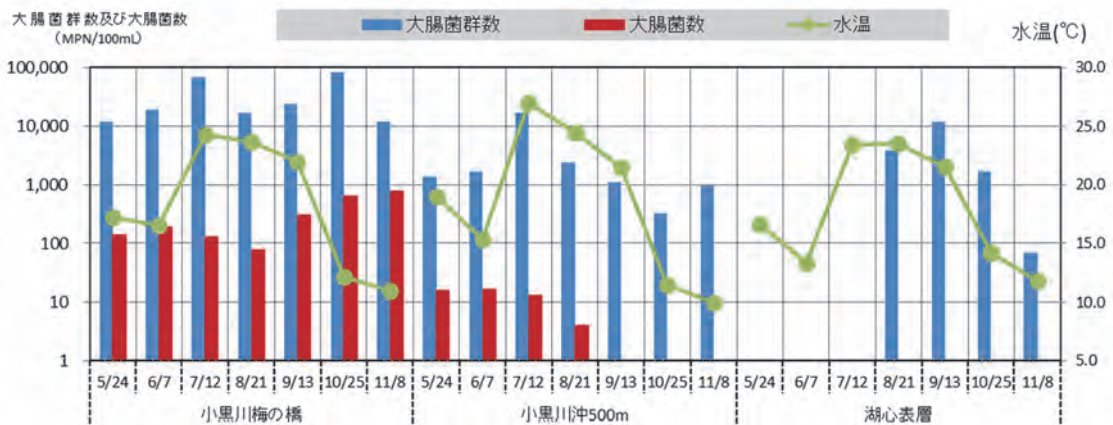


図 10 小黒川梅の橋、小黒川沖 500m 及び湖心表層の大腸菌群数と大腸菌数及び水温の推移

(ウ) 長瀬川小金橋及び長瀬川沖 500m の大腸菌群数及び大腸菌数について

長瀬川小金橋、長瀬川沖 500m 及び湖心表層の大腸菌群数と大腸菌数及び水温の調査結果を図 11 に示す。

長瀬川小金橋の大腸菌群数は 65~1,100MPN/100mL、大腸菌数は 1 未満~9MPN/100mL、長瀬川沖 500m の大腸菌群数は 11~24,000MPN/100mL、大腸菌数は 1 未満~4MPN/100mL であった。大腸菌群数について、8 月以降、長瀬川沖 500m と湖心表層は同様な値を示す傾向にあり、湖心表層で大腸菌群数が 12,000MPN/100mL になった 9 月では、長瀬川沖 500m で環境基準の 1,000MPN/100mL を超えたのは、湖心表層と同じ 8~10 月の 3 回であった。

酸性河川である長瀬川小金橋の大腸菌群数及び大腸菌数は、高橋川新橋及び小黒川梅の橋と比較して 1~2 衡低い値であった。しかし、長瀬川の流量は高橋川や小黒川の数~50 倍程度あるため、大腸菌群数の流入負荷総量では高橋川と同程度の負荷を示す日もあった。

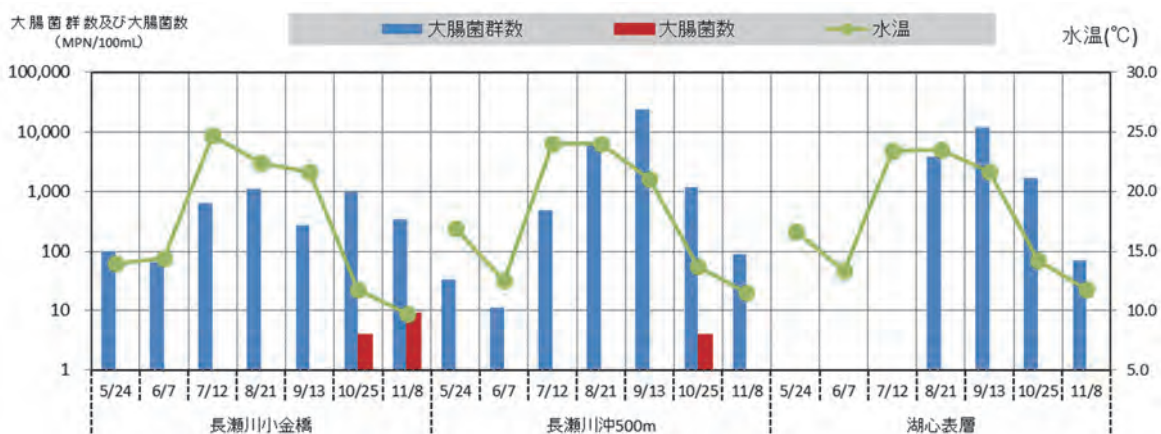


図 11 長瀬川小金橋、長瀬川沖 500m 及び湖心表層の大腸菌群数と大腸菌数及び水温の推移

(エ) 各河川及び各河川沖 500m の大腸菌群数に占める大腸菌数の比について

地点ごとの大腸菌群数に占める大腸菌数の比の結果を表 2 に示す。

小黒川梅の橋を除く地点の分布は 0~2.6% と低い値であったが、小黒川梅の橋は 11 月に 6.4% と高い値になった。また、全ての地点の平均値は、下水処理流入前の河川水の平均値が 5 % であったという和波らの報告¹⁾よりも低く、各河川及び各河川沖 500m の大腸菌による汚染の割合は低いと考えられる。しかし、例年、小黒川梅の橋の比がやや高めであることから、市街地を流れる小黒川の水質は人間の活動の影響を受けていると推測される。

表 2 各地点の大腸菌群数に占める大腸菌数の比

地点名	大腸菌数／大腸菌群数 (%)	
	平均値	分布
高橋川新橋	0.5	0.2~1.3
高橋川沖 500m	0.3	0~0.7
小黒川梅の橋	1.6	0.2~6.4
小黒川沖 500m	0.4	0.1~1.1
長瀬川小金橋	0.5	0~2.6
長瀬川沖	0.1	0~0.3

(オ) 各河川の大腸菌群数及び大腸菌数とその他の水質項目について

各河川の流量等のグラフを図12～14に示す。大腸菌群数及び大腸菌数とその他の水質調査項目との相関を表3、表4及び図15に示す。

高橋川新橋及び小黒川梅の橋のpHは7.10～7.61、ECは128～266 μ S/cm、SSは2～16mg/L、TOCは0.91～2.08mg/L、DO飽和率は85%以上の値であった。高橋川新橋及び小黒川梅の橋における大腸菌群数はTOCとの間に、大腸菌数はpH及びECとの間に正の相関がみられた。

長瀬川小金橋のpHは3.70～5.55、ECは72～322 μ S/cm、SSは3～10mg/L、TOCは0.52～0.83mg/L、DO飽和率は95%以上であった。大腸菌群数とその他の水質項目との間に相関関係は確認されなかった。なお、長瀬川小金橋の大腸菌数については、ほとんどの調査月で1未満～1MPN/100mlであり総監を評価するにはデータが少ないため行わなかった。

長瀬川小金橋における過去の調査結果では、秋元発電所の放流の影響を受けた流量が多い調査日の検体は、pHはECは低く、大腸菌群数及び大腸菌数が低い値を示す傾向を確認している。長瀬川小金橋の最大値を示した8月の検体は、流量が少なく秋元発電所の放流水による希釀がなされていないため、大腸菌群数が年度内最大値となったと推察される。

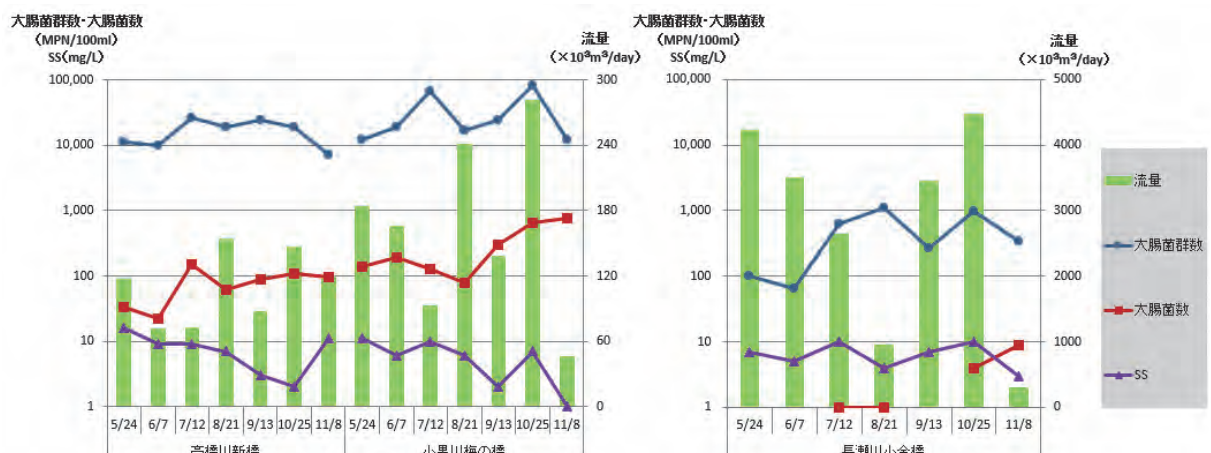


図12 各河川の流量とSS等の推移

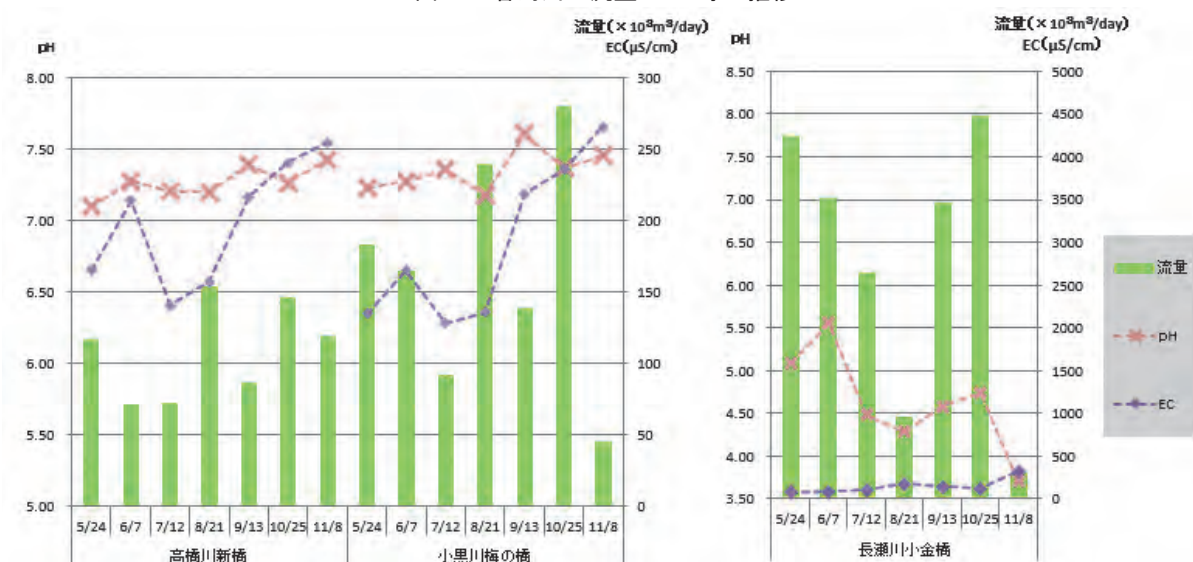


図13 各河川の流量とpH等の推移

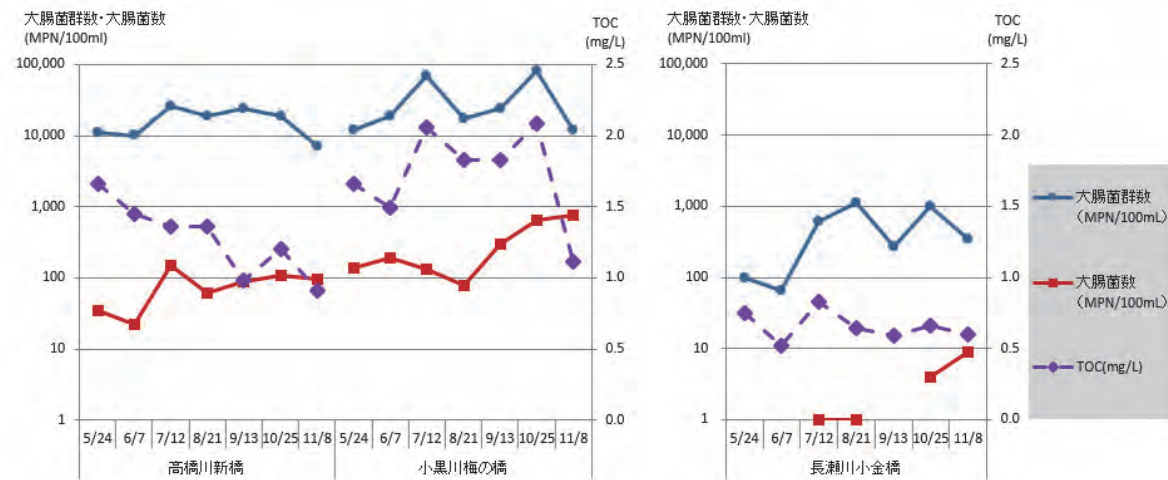


図 14 各河川の大腸菌群と TOC 等の推移

表 3 高橋川新橋及び小黒川梅の橋における大腸菌群数及び大腸菌数とその他の項目との相関関係

(n=14)

	水温	DO 饱和率	pH	EC	SS	TOC	大腸菌数
大腸菌群数	0.02	-0.10	0.20	-0.08	-0.01	<u>0.64</u>	0.38
大腸菌数	-0.44	0.43	<u>0.51</u>	<u>0.51</u>	-0.46	0.12	-

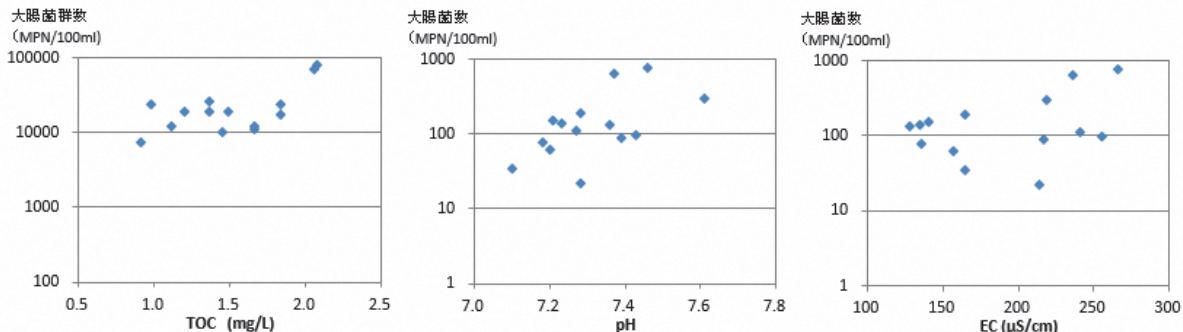


図 15 高橋川新橋及び小黒川梅の橋における各測定項目の相関関係

表 4 長瀬川小金橋における大腸菌群数及び大腸菌数とその他の項目との相関関係 (n=7)

	水温	DO 饱和率	pH	EC	SS	TOC
大腸菌群数	0.28	-0.26	-0.41	0.12	0.22	0.23

(か) 各河川沖 500m の大腸菌群数及び大腸菌数とその他の水質項目について

各河川沖 500m の調査結果のグラフを図 16~18 に示す。大腸菌群数及び大腸菌数とその他の水質調査項目との相関を表 5、表 6 及び図 20 に示す。

高橋川沖 500m 及び小黒川沖 500m の pH は 6.88~7.96、EC は 75~155 μ S/cm、SS は 1 未満~3mg/L、TOC は 0.60~2.07mg/L、DO 饱和率は 95% 以上の値であった。高橋川沖 500m 及び小黒川沖 500m は、流入河川の高橋川と小黒川の影響により、pH、EC、TOC が湖心表層より高い値を示す月が多くみられた。また、この 2 地点の水深は、5 月から 11 月まで約 0.6~4.8m と浅く、例年、夏季から秋季にかけてはコカラダモ、セキショウモ及びヒルムシロが繁茂している。7 月から夏場は pH、TOC が上昇する傾向があるが、これは繁茂した植物の影響によるものと思われる。また、大腸菌群数と水温との間に正の相関が認められた。

長瀬川沖 500m の pH は 6.59~7.03、EC は 86~128 μS/cm、SS は 1mg/L 未満、TOC は 0.58~0.89mg/L、DO 飽和率は 96% 以上であった。長瀬川沖 500m の水深は約 6.1m 以上であり、高橋川沖 500m 及び小黒川沖 500m よりも水深が深いため、長瀬川からの流入の影響は少なく、ほぼ湖心表層と同様な水質であった。大腸菌群数と TOC の間に正の相関関係が認められた。なお、大腸菌数は 1 未満~1MPN/100ml、SS は全て 1mg/L 未満であったため、相関関係については考察できなかった。

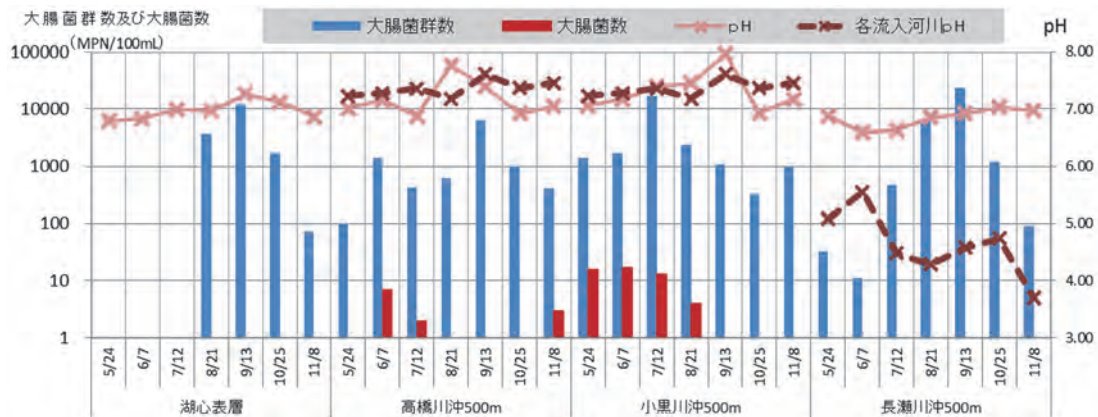


図 16 各河川沖 500m 地点等の pH の推移

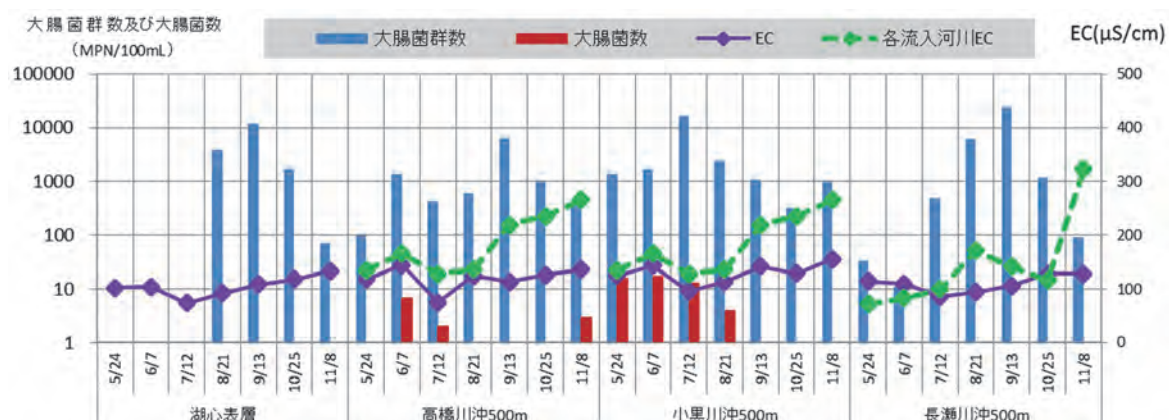


図 17 各河川沖 500m 地点等の EC の推移



図 18 各河川沖 500m 地点等の TOC の推移

表5 高橋川沖 500m 及び小黒川沖 500m 地点における大腸菌群数及び大腸菌数とその他の項目の相関関係

(n=14)

	水温	DO 饱和率	pH	EC	SS	TOC	大腸菌数
大腸菌群数	0.50	-0.44	0.22	-0.40	-0.11	0.38	0.38
大腸菌数	0.12	-0.11	-0.10	0.02	0.37	0.19	-

表6 長瀬川沖 500m 地点における大腸菌群数及び大腸菌数とその他の項目の相関関係(n=7)

	水温	DO 饱和率	pH	EC	TOC
大腸菌群数	0.41	-0.43	0.24	-0.19	0.50

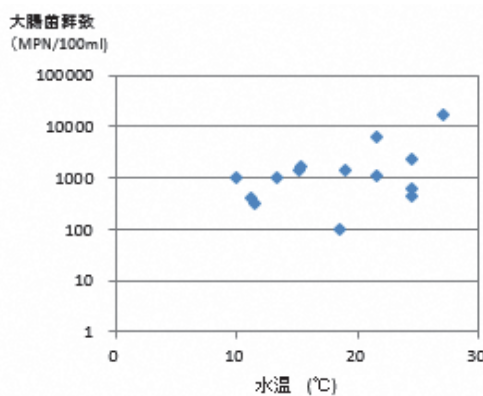


図19 高橋川沖 500m 及び小黒川沖 500m 地点における大腸菌群数と水温の相関関係

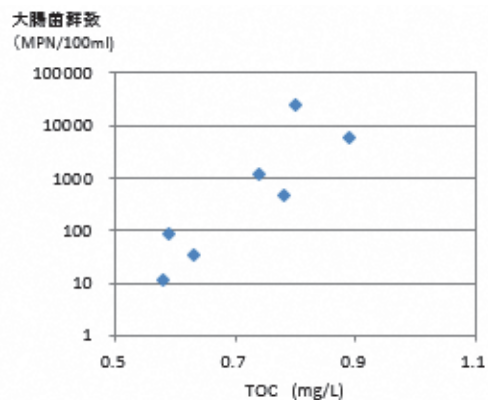


図20 長瀬川沖 500m 地点における大腸菌群数と TOC の相関関係

ウ 大腸菌群の同定

大腸菌群の同定結果を表7に示す。

湖内の大腸菌群について、高い頻度で検出されたのは *Aeromonas* 属、次いで *Enterobacter cloacae* であり、昨年度と同様の結果であったが、小野³⁾の報告では *Enterobacter cloacae* が最も高い頻度で出現し、*Aeromonas* 属は一度も確認されていなかったことから、猪苗代湖の pH の上昇といった水質等の変化により、小野の調査時（平成 20～22 年頃）と比べて大腸菌群の種組成の変化が起きていると思われる。

9月13日の各流入河川の大腸菌群については、高橋川新橋及び小黒川梅の橋からは *Aeromonas* 属が同定され、酸性河川であり大腸菌群数が少ない長瀬川小金橋からは *Enterobacter cloacae* が同定された。また、各河川沖 500m とも *Aeromonas* 属が、小黒川沖 500m では *Enterobacter cloacae* が同定された。28年度は河川と湖内の大腸菌群の種組成はやや異なっていたが、29年度は概ね同じ種が同定された。

湖心と河川から多く検出された同定された *Aeromonas* 属と *Enterobacter cloacae* は、川や湖沼及び土壤に普遍的に存在している種であり、糞便汚染の生物指標となる *Escherichia coli* は検出されなかった。

表 7 大腸菌群の同定結果

採水地点	採水日	<i>Aeromonas hydrophila/caviae/sobria1</i>	<i>Aeromonas hydrophila/caviae/sobria2</i>	<i>Citrobacter freundii</i>	<i>Escherichia coli2</i>	<i>Enterobacter cloacae</i>	<i>Enterobacter sakazaki</i>	<i>Enterobacter asburiae</i>	<i>Enterobacter amnigenus2</i>	<i>Klebsiella oxytoca</i>	<i>Serratia marcescens</i>	<i>Serratia liquefaciens</i>	<i>Hafnia alvei1</i>	<i>Chromobacterium violaceum</i>	<i>Pantoea spp2</i>	<i>Raoultella terrigena</i>	<i>Rahnella aquatilis</i>	The others	BGLB培地の大腸菌群数の結果(MPN/100ml)	BGLB培地の最高希釀試験管接種量(ml)	BGLB培地の最高希釀陽性試験管本数(本)	コリート培地の大腸菌群数の結果(MPN/100ml)
猪苗代湖 湖心 表層																		<1			<1	
猪苗代湖 湖心 5m	H29.5.4																	<1			<1	
猪苗代湖 湖心 15m																		2	10	1	1	
猪苗代湖 湖心 30m																		2	10	1	<1	
猪苗代湖 湖心 表層																		<1			<1	
猪苗代湖 湖心 5m	H29.6.7																	2	10	1	12	
猪苗代湖 湖心 15m																		2	10	1	6	
猪苗代湖 湖心 30m																		2	10	1	8	
猪苗代湖 湖心 表層																		1700	0.01	1	1	
猪苗代湖 湖心 5m	H29.7.12	3.2																3300	0.01	1	1	
猪苗代湖 湖心 15m		3.2																3300	0.01	1	2	
猪苗代湖 湖心 30m		3.5																4900	0.01	2	2	
猪苗代湖 湖心 表層																		7000	0.001	1	3800	
猪苗代湖 湖心 5m	H29.8.21	3.8																12000	0.001	3	6400	
猪苗代湖 湖心 15m		3.9	3.6															3300	0.01	1	1900	
猪苗代湖 湖心 30m		3.5																4600	0.001	1	2400	
猪苗代湖 湖心 表層																		22000	0.001	2	12000	
猪苗代湖 湖心 5m		4.3																28000	0.001	3	19000	
猪苗代湖 湖心 15m			4.3															11000	0.001	1	17000	
猪苗代湖 湖心 30m			4.0															28000	0.001	3	12000	
猪苗代湖 高橋川沖500m																		7000	0.001	1	6400	
猪苗代湖 小黒川沖500m	H29.9.13	3.8																7900	0.01	3	1100	
猪苗代湖 長瀬川沖500m		3.4	3.7															11000	0.001	1	24000	
高橋川 新橋																		4.4	49000	0.001	2	24000
小黒川 梅の橋																		5.4	540000	0.0001	2	24000
長瀬川 小金橋																		110	0.1	1	270	
猪苗代湖 湖心 表層																		3300	0.01	1	1700	
猪苗代湖 湖心 5m	H29.10.25	3.5																3300	0.01	1	980	
猪苗代湖 湖心 15m		3.7																4900	0.01	2	1200	
猪苗代湖 湖心 30m			3.2															1700	0.01	1	860	
猪苗代湖 湖心 表層																		1.7	94	0.1	2	71
猪苗代湖 湖心 5m			1.7															49	1	2	83	
猪苗代湖 湖心 15m	H29.11.8	1.4	1.4															49	1	2	110	
猪苗代湖 湖心 30m		1.5		1.8	1.5													130	1	4	150	

*表中の数値は最高希釀の試験管から出現した割合に数値を乗じた値の常用対数表

(8)まとめ

ア 湖心表層の大腸菌群数は、5～7月はほとんど検出されないが、水温の上昇に伴い増加し、8～10月には湖沼A類型の環境基準(1,000MPN/100ml)を超えていた。そして、水温の低下によって11月は大腸菌群数が減少していた。9月13日に湖心の大腸菌群数が12,000MPN/100mlと過去結果と比較して大きい値となったが、pHやTOCの数値が高かったことにより、大腸菌群が生育しやすい条件が揃っていたものと思われる。なお、大腸菌群数と、pH及びTOCとの間に正の相関が認められた。

イ 高橋川新橋及び小黒川梅の橋の大腸菌群数は湖内と比較すると高い値であったが、湖内に流入すると希釀され、各河川沖500mでは数桁低い値になっていた。

また、高橋川、小黒川沖500mは水深が浅く、水温が上昇する夏場に水生植物が生育しており、それらによってpH、TOCが増加していた。

ウ 酸性河川である長瀬川小金橋の大腸菌群数は、高橋川及び小黒川と比較して低い値

であった。長瀬川沖 500m の大腸菌群数及び大腸菌数は湖心と同傾向にあり、湖心で最大値を示した 9 月においては大腸菌群数 24,000MPN/100mL と高い値を示した。河川沖 500m の大腸菌群数は TOC との間に正の相関関係がみられた。

エ 大腸菌群数に占める大腸菌数の比は、小黒川梅の橋を除く各河川で 0~2.6%、猪苗代湖各河川沖 500m 地点では 0~1.1% と大腸菌数の割合は少なかった。小黒川梅の橋では他と比べて割合が 0.2~6.4% とやや高めであった。

オ 湖心の大腸菌は、*Aeromonas* 属、次いで *Enterobacter cloacae* が多く同定された。過去の調査（平成 20~22 年頃）では *Enterobacter cloacae* が一番多く出現し、*Aeromonas* 属は確認されていなかったが、pH の上昇などの水質の変化により、大腸菌群の種組成が変化してきていると思われる。

湖心と河川からは、糞便汚染の生物指標となる *Escherichia coli* が同定されなかつた。

参考文献

- 1) 和波和夫：大腸菌群数測定の課題と今後の動向
第 46 回日本水環境学会併設全国環境協議会研究集会
- 2) 平成 28 年度猪苗代湖調査研究事業等報告書 福島県環境創造センター
- 3) 小野公嗣：猪苗代湖に出現する大腸菌群とその由来
福島大学大学院共生システム理工学研究科 修士論文 2011 年 3 月

別紙1

平成29年度大腸菌群調査現地調査票

調査地点		猪苗代湖(湖心)			猪苗代湖(湖心)			猪苗代湖(湖心)			猪苗代湖(湖心)			猪苗代湖(湖心)		
採取水深(m)	表層	5	15	30	表層	5	15	30	表層	5	15	30	表層	5	15	30
採査年月日	H29.5.24	H29.6.7	H29.7.12	H29.8.21	9:15	9:10	9:10	9:10	9:13	9:10	9:10	9:13	9:13	9:10	9:13	H29.11.8
採水時間	9:28	9:05	9:05	9:05	晴れ	<もり	<もり	<もり	晴れ	<もり	<もり	<もり	晴れ	<もり	<もり	9:00
天候(前日)	晴れ	晴れ	晴れ	晴れ	小雨	小雨	小雨	小雨	晴れ	晴れ	晴れ	晴れ	晴れ	晴れ	晴れ	晴れ
気温(°C)	19.0	16.1	16.1	16.1	13.4	11.5	10.5	9.7	23.4	16.5	16.5	10.5	23.5	22.3	21.2	10.6
透明度(m)	12.2	12.6	12.6	12.6	8.0	7.7	7.7	7.7	7.7	7.7	7.7	7.7	7.7	7.7	7.7	10.2
水色(オーラル)	無色	無色	無色	無色	無色	無色	無色	無色	無色	無色	無色	無色	無色	無色	無色	無色
色相	無臭	無臭	無臭	無臭	透明	透明	透明									
臭気	渾り	透明	透明	透明	透明	透明	透明	透明	透明	透明	透明	透明	透明	透明	透明	透明

調査地点		猪苗代湖																	
採取水深(m)	高橋川沖500m	小黒川沖500m	長瀬川沖500m																
採査年月日	H29.5.24	0.5	0.5	0.5	0.5	0.5	0.5	0.5	0.5	0.5	0.5	0.5	0.5	0.5	0.5	0.5	0.5	0.5	
採水時間	11:06	10:38	10:16	11:00	10:40	10:25	10:35	10:16	10:01	10:50	10:30	10:15	10:40	10:20	10:05	11:37	11:20	11:05	
天候(前日)	晴れ																		
天候(当日)	晴れ																		
気温(°C)	22.5	21.5	18.9	16.9	17.6	16.8	26.2	27.3	25.4	25.3	25.2	25.3	22.9	22.0	22.0	9.4	8.9	10.1	
水温(°C)	18.5	19.0	16.9	15.1	15.3	15.3	24.5	27.0	24.0	24.5	24.5	24.0	21.5	21.0	21.0	13.4	13.7	10.0	
透明度(m)	>1.5	0.8	1.2	1.6	1.3	1.16	1.6	1.6	1.2	0.6	1.1	0.6	13.4	1.2	0.8	7.7	4.8	1.3	
水色(オーラル)	>1.5	>0.8	10.7	>1.6	>1.6	>1.6	>1.6	>1.6	>1.6	>1.1	>1.1	>0.6	9.4	>1.2	>0.8	>7.7	>4.8	>1.3	
色相	無色																		
臭気	無臭																		
渾り	透明																		
調査地点	高橋川	小黒川	長瀬川																
採取水深(m)	新橋	梅の橋	小金橋																
採査年月日	11:42	12:25	13:44	11:35	12:05	13:33	11:06	11:39	12:28	11:18	11:53	12:35	11:12	11:46	12:30	12:20	12:50	13:55	
採水時間	流心																		
天候(前日)	晴れ																		
天候(当日)	晴れ																		
気温(°C)	21.5	21.1	19.0	20.3	21.0	20.5	21.0	20.5	24.3	24.7	23.7	22.4	24.0	24.0	24.0	27.2	8.8	9.8	
水温(°C)	15.9	17.2	14.0	16.8	16.5	14.4	16.5	16.5	8.0	>100	78	62	>100	>100	>100	28.9	21.6	11.4	
透明度(cm)	61	77.5	80	>100	89.6	89.0	0.823	0.913	40.609	0.943	30.593	1.787	11.053	1.007	1.604	32.50	31.789	51.789	
流量(m ³ /sec)	1.355	2.121	4.8140	無色															
色相	茶色	茶色	茶色	無臭															
臭気	渾り	渾り	渾り	透明															

別紙2

平成29年度猪苗代湖大腸菌群調査

調査地点		猪苗代湖						猪苗代湖						猪苗代湖		
調査年月日		単位		湖心	湖心	湖心	湖心	高橋川	小黒川	長瀬川	高橋川	新橋	梅の橋	高橋川	小黒川	長瀬川
pH		6.79	6.99	6.86	6.73	7.01	7.06	6.88	7.10	7.23	5.08	6.83	6.91	6.81	6.78	7.16
EC	μS/cm	102	111	112	107	118	125	114	165	135	72	104	113	101	104	144
DO	mg/L	10.4	11.1	12.0	12.2	9.8	9.5	10.0	8.7	9.5	9.9	10.6	10.4	10.8	11.4	10.3
SS	mg/L	<1	<1	<1	<1	1	3	<1	16	11	7	<1	<1	<1	<1	<1
大腸菌群数(OTL法)	MPN/100ml	<1	<1	1	<1	100	1400	33	11,000	12,000	100	<1	12	6	8	1400
大腸菌群数(GB法)	MPN/100ml	0	0	2	2	<1	<1	16	34	140	<1	<1	2	2	2	1700
大腸菌数	MPN/100ml	<1	<1	<1	<1	1,34	0.63	1,66	0.75	0.59	0.59	0.61	0.83	0.97	0.58	<1
TOC	mg/L	0.60	0.55	0.64	0.76	1.06	1.34	0.63	1.66	1.66	0.75	0.59	0.59	0.61	0.83	1.49

調査地点		猪苗代湖						猪苗代湖						猪苗代湖		
調査年月日		単位		湖心	湖心	湖心	湖心	高橋川	小黒川	長瀬川	高橋川	新橋	梅の橋	高橋川	小黒川	長瀬川
pH		6.99	6.99	6.86	6.73	7.01	7.06	6.88	7.10	7.23	5.08	6.83	6.91	6.81	6.78	7.17
EC	μS/cm	102	111	112	107	118	125	114	165	135	72	104	113	101	104	144
DO	mg/L	10.4	11.1	12.0	12.2	9.8	9.5	10.0	8.7	9.5	9.9	10.6	10.4	10.8	11.4	10.3
SS	mg/L	<1	<1	<1	<1	1	3	<1	16	11	7	<1	<1	<1	<1	<1
大腸菌群数(OTL法)	MPN/100ml	<1	<1	1	<1	100	1400	33	11,000	12,000	100	<1	12	6	8	1,400
大腸菌群数(GB法)	MPN/100ml	0	0	2	2	430	17,000	480	26,000	68,000	620	3,800	6,400	1,900	2,400	6,100
大腸菌数	MPN/100ml	1,700	3,300	3,300	4,900	<1	1	2	2	1,3	1	150	130	1	1,200	3,300
TOC	mg/L	0.91	0.74	0.78	0.66	0.88	1.74	0.78	1.36	2.06	0.83	0.95	1.07	0.78	0.69	2.07

調査地点		猪苗代湖						猪苗代湖						猪苗代湖		
調査年月日		単位		湖心	湖心	湖心	湖心	高橋川	小黒川	長瀬川	高橋川	新橋	梅の橋	高橋川	小黒川	長瀬川
pH		7.26	7.15	7.18	7.14	7.39	7.96	6.92	7.39	7.61	4.58	7.12	6.98	6.92	6.78	7.22
EC	μS/cm	109	107	105	114	113	142	106	217	219	142	118	125	129	128	129
DO	mg/L	8.6	8.4	8.6	11.3	8.7	9.0	8.4	8.8	9.9	9.9	9.7	9.9	10.7	9.8	10.3
SS	mg/L	<1	<1	<1	<1	1	1	<1	1	2	1	1	1	<1	<1	<1
大腸菌群数(OTL法)	MPN/100ml	12,000	19,000	12,000	12,000	6,400	1,100	24,000	24,000	270	1,700	980	1,200	860	1,000	220
大腸菌群数(GB法)	MPN/100ml	22,000	28,000	11,000	28,000	7,900	11,000	49,000	54,000	110	3,300	4,900	1,700	1,700	1,700	1,700
大腸菌数	MPN/100ml	<1	<1	<1	<1	1	1	<1	88	300	<1	<1	<1	1	1	<1
TOC	mg/L	0.79	0.95	0.87	0.76	0.89	1.53	0.80	0.98	1.83	0.59	0.74	0.76	0.68	0.75	0.72

調査地点		猪苗代湖						猪苗代湖						猪苗代湖		
調査年月日		単位		湖心	湖心	湖心	湖心	高橋川	小黒川	長瀬川	高橋川	新橋	梅の橋	高橋川	小黒川	長瀬川
pH		6.86	6.97	6.99	6.96	7.05	7.17	6.97	7.17	7.17	6.59	7.17	7.17	6.59	7.28	7.28
EC	μS/cm	133	131	132	136	155	155	128	128	128	255	255	255	266	322	322
DO	mg/L	10.0	10.3	10.0	10.6	9.8	11.0	10.2	10.3	10.4	10.5	10.5	10.5	10.5	10.8	10.8
SS	mg/L	<1	<1	<1	1	2	1	<1	<1	<1	1	1	1	1	3	3
大腸菌群数(OTL法)	MPN/100ml	71	83	110	150	410	930	90	90	90	7,200	12,000	12,000	12,000	340	340
大腸菌群数(GB法)	MPN/100ml	<1	<1	<1	<1	3	1	<1	<1	<1	1	1	1	1	1	1
大腸菌数	MPN/100ml	0.65	0.65	0.62	0.59	0.66	0.81	0.59	0.61	0.61	0.91	0.91	0.91	0.91	0.60	0.60
TOC	mg/L	0.65	0.65	0.62	0.59	0.66	0.81	0.59	0.61	0.61	0.91	0.91	0.91	0.91	0.60	0.60

3 猪苗代湖全湖水面調査

(1) 目的

猪苗代湖の大腸菌群数が湖沼 A 類型環境基準 (1,000MPN/100ml) を超過する事例¹⁾が見受けられることから、大腸菌群が多く検出される時期（8～10月）に全湖水面調査を行い、湖表層における大腸菌群の分布状況を把握する。

(2) 調査方法

猪苗代湖表層の大腸菌群等の水質調査を行い、猪苗代湖の大腸菌群の検出場所を把握した。

(3) 調査地点

調査地点は湖心を含む湖内全 52 地点、高橋川新橋及び小黒川梅の橋の流入河川 2 地点である。

湖内の地点は平成 20 年 9 月 11 日に実施した「みんなで守る美しい猪苗代湖の水質一斉調査」²⁾の調査地点を参考に選定した。流入河川 2 地点については、例年、大腸菌群数の数値が低い傾向を示す湖北部に関して、その地点近くの流入河川である高橋川及び小黒川の大腸菌群数等の数値を把握するため、当該年度では調査地点に追加した。

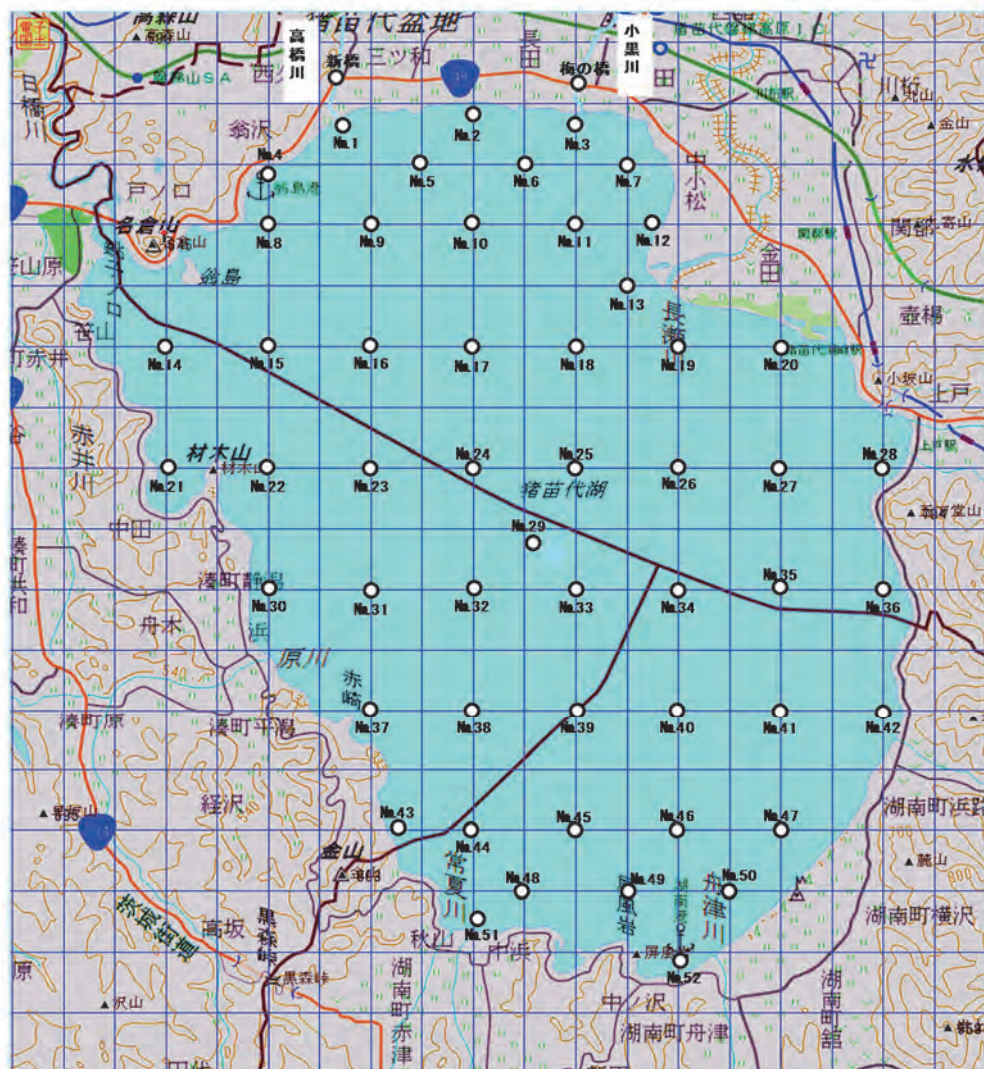


図 1 全湖水面調査調査地点 (出典：国土地理院)

(4) 調査時期

平成 29 年 8 月 28 日、9 月 4 日

(5) 調査項目

気温、水温、色相、臭氣、濁り、泡立ち、pH、EC、大腸菌群数、大腸菌数、TOC

(6) 測定方法

ア pH：イオン電極法

イ EC：交流二極電流法

ウ 大腸菌群数、大腸菌数：コリラート培地による QT トレイ法（アイデックスラボラトリーズ（株））

エ TOC：燃焼酸化一赤外線分析方式

(7) 結果及び考察

現地調査結果については、128 ページ別紙 1、129 ページ別紙 2 のとおり。

分析結果については、130 ページ別紙 3 のとおり。

ア 猪苗代湖の水質について

(ア) 水温について

湖水及び流入河川 2 地点の水温の分布図を図 2 に示す。

湖内における 8 月 28 日の調査の水温は 22.8°C (No.2) ~ 23.6°C (No.42、45) で、平均水温は 23.4°C であった。9 月 4 日の調査の水温は 20.8°C (No.7) ~ 22.5°C (No.36) で、平均水温は 22.1°C であった。また、採水時の平均気温は 8 月 28 日が 24.1°C、9 月 4 日が 21.4°C であった。

流入河川の水温は、18.5~21.0°C と、湖内の水温よりも低かった。また、9 月 4 日の小黒川及び高橋川河口周辺の湖北側で水温が低くなる傾向が確認された。これは平成 20 年の調査と平成 26 年からの当該調査の過去結果と同じ傾向であった。

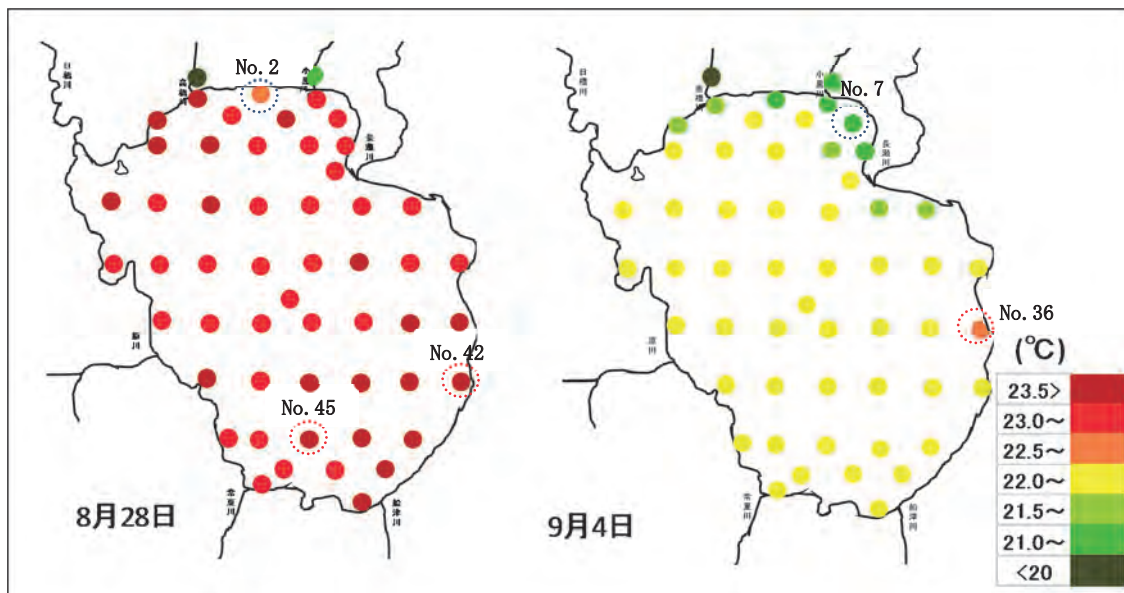


図 2 水温

(イ) 湖水の pH について

湖水及び流入河川 2 地点の pH の分布図を図 3 に示す。

湖水における pH について、8月 28 日は 7.04 (No.9)～8.78 (No.38)、9月 4 日は 7.03 (No.48)～7.54 (No.37) であった。8月 28 日は北西部の pH が低い傾向がみられたが、9月 4 日は同様な傾向は確認されなかった。平成 28 年と比較すると、全体的に pH が高く、両日とも全地点で pH 7 を超えていた。

8月 28 日では No.37 で pH 8.69、No.38 で pH 8.78 と高い値を示した。平成 20 年の調査²⁾及び平成 26 年からの当該調査では、湖北部にある高橋川河口から小黒川河口の水深の浅い水域 (No.1～3、7、6) で pH 8 以上を示すことが度々確認されており、これは水生生物や植物プランクトン等の光合成による影響と推察されていた。8月 28 日の No.37、38 の地点では pH が高く EC も他地点に比べ少し高かったが、現地調査の際、No.37、38 とその近傍の地点では採水した湖水の水質（色相、臭気等）の違いはみられなかつたため、この 2 地点で pH が高くなった原因については分からなかつた。

流入河川の pH は 7.06～7.34 と中性であった。

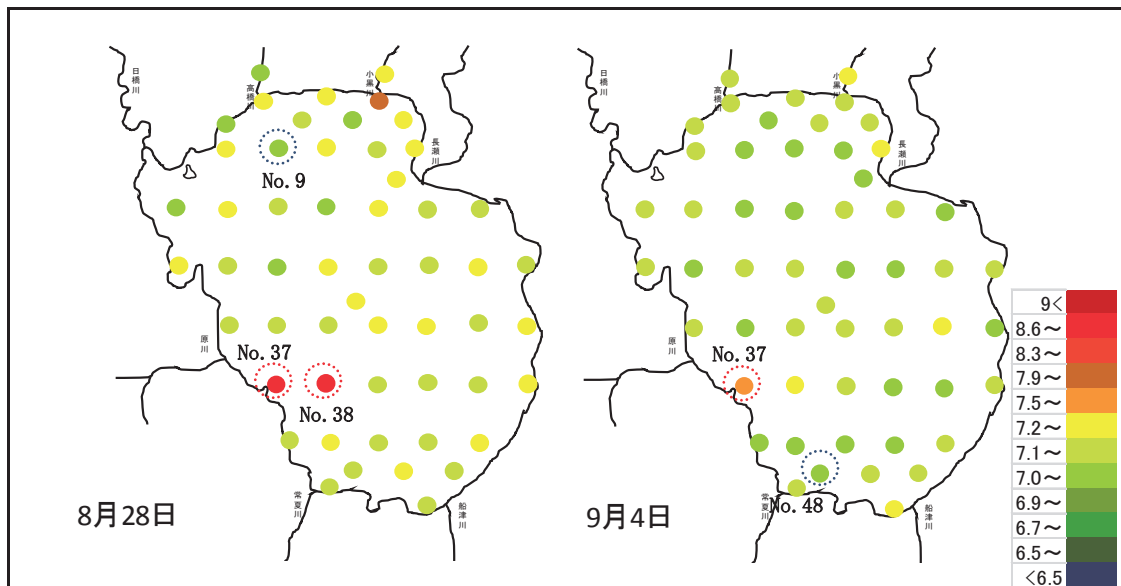


図 3 pH

(ウ) EC について

湖水及び流入河川 2 地点の EC の分布図を図 4 に示す

湖水において 8 月 28 日は $101 \mu\text{S}/\text{cm}$ (No.19, 27)～ $118 \mu\text{S}/\text{cm}$ (No.37) で平均値が $104 \mu\text{S}/\text{cm}$ 、9 月 4 日は $83 \mu\text{S}/\text{cm}$ (No.48)～ $107 \mu\text{S}/\text{cm}$ (No.52) で平均値が $97 \mu\text{S}/\text{cm}$ と、9 月 4 日の値が低い傾向にあった。また、湖北部は両日ともに $102 \mu\text{S}/\text{cm}$ 前後の同程度の値であったが、湖南部は調査日によって差があり 8 月 28 日は $110 \mu\text{S}/\text{cm}$ 、9 月 4 日は $90 \mu\text{S}/\text{cm}$ 前後の数値であった。

流入河川の EC は $165 \sim 1863 \mu\text{S}/\text{cm}$ と湖水よりも大きかった。

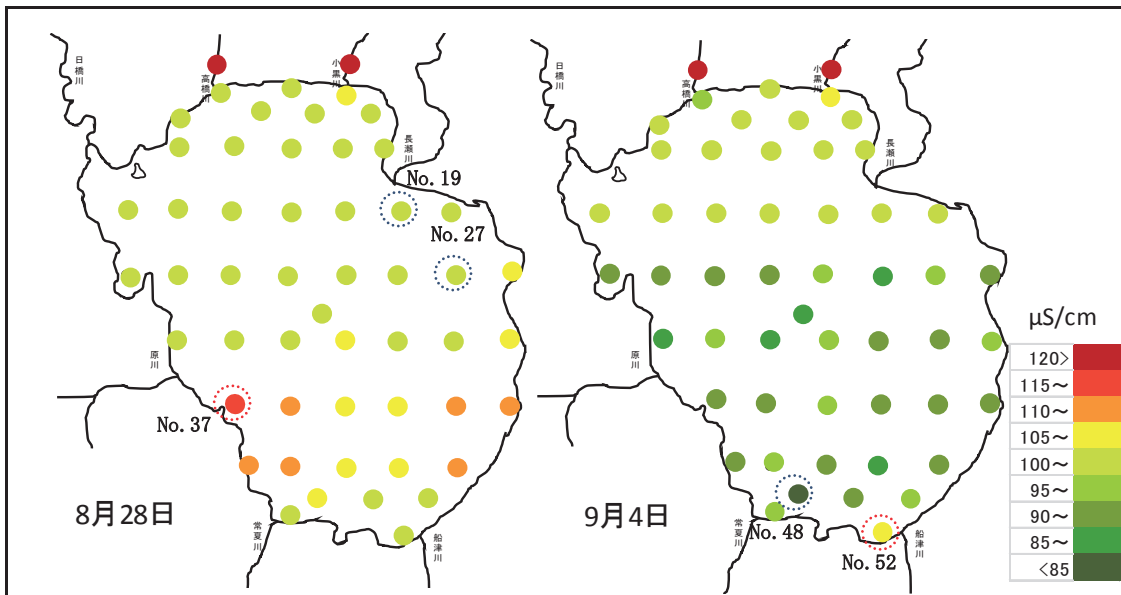


図4 EC

(エ) TOCについて

湖水及び流入河川2地点のTOC(全有機体炭素)の分布図を図5に示す。

湖水について、8月28日が0.88mg/L(No.6)～1.63mg/L(No.51)で平均値1.15mg/L、9月4日が0.73mg/L(No.1, 16)～1.04mg/L(No.36)で平均値0.78mg/Lであった。ECと同様に9月4日の方が全体的に低い傾向にあり、また、TOCについては各調査日とも湖北部の地点が低い傾向にあった。

流入河川のTOCは1.15～2.12mg/Lと湖水より大きかった。

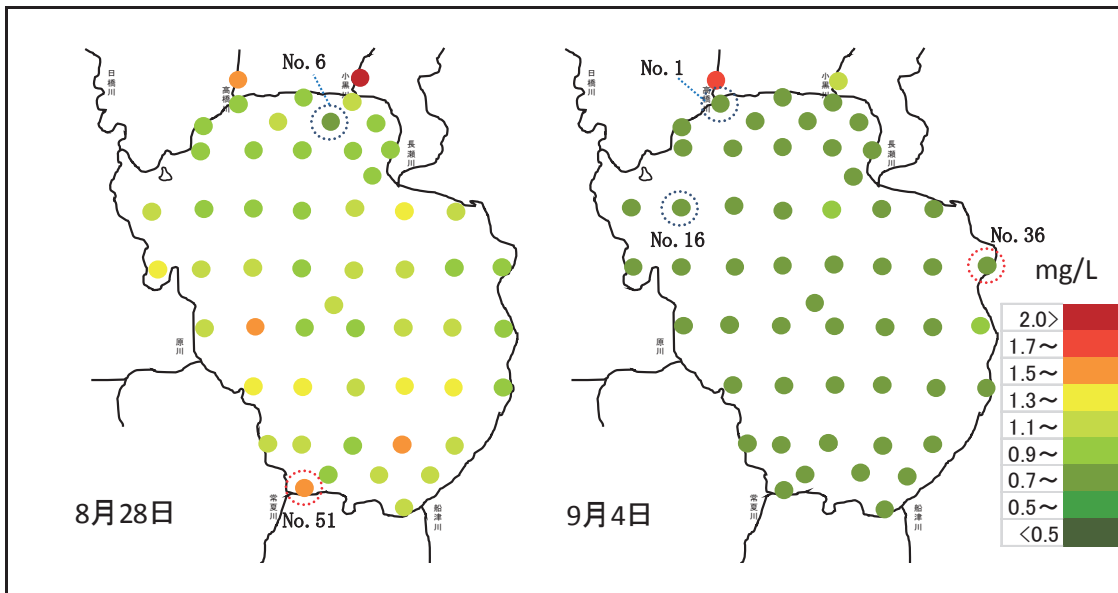


図5 TOC

(オ) 大腸菌群数及び大腸菌数について

湖水及び流入河川2地点の大腸菌群数の分布図を図6に示す。

大腸菌群数は、8月28日が260MPN/100ml(No.2)～12,000MPN/100ml(No.24)で平均が3,900MPN/100ml、9月4日が270MPN/100ml(No.7)～10,000MPN/100ml(No.13)で平

均が 5,500MPN/100ml であった。

湖沼 A 類型環境基準 1,000MPN/100ml を超えた地点は、両日とも 49 地点で、環境基準内は、No.2、3、7 の 3 地点であった。例年、この小黒川河口周辺の湖北部が低い傾向にあり、今回も同様な傾向を示していた。（別図 1）

小黒川梅の橋及び高橋川新橋と湖北部（No.1～29）の各河口からの距離と大腸菌群数の調査結果を図 7 に示す。市街地を流れてくる流入河川の大腸菌群数は、15,000～48,000MPN/100ml と、湖内よりも高い値になったが、湖内の各河口付近の地点は湖心部と比較して低い結果となった。各河川を通じて入ってきた大腸菌群数は、河口付近では希釈されるため数値が一旦低くなっていると推察される。

なお、後述するとおり大腸菌数はほとんどの地点で不検出であることから、検出された大腸菌群数は土壤由来が主な原因と考えられる。

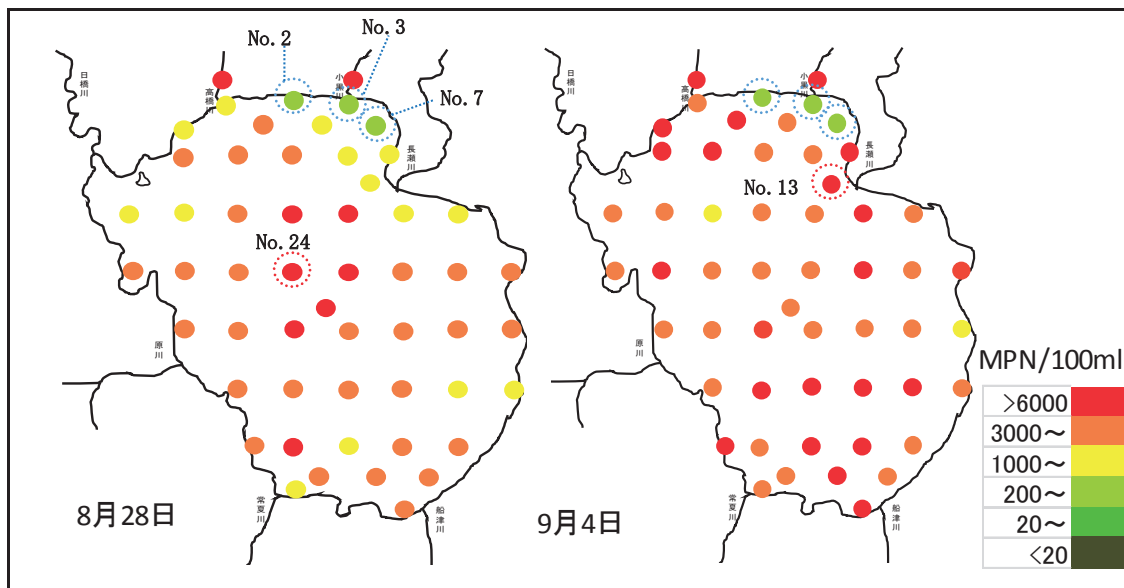


図 6 大腸菌群数

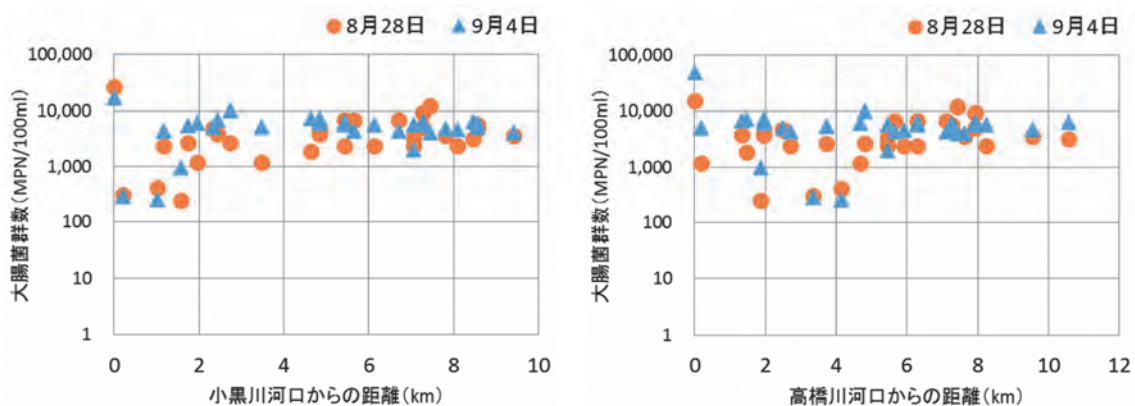


図 7 小黒川梅の橋及び高橋川新橋と湖北部（No.1～29）の各河口からの距離と大腸菌群数の調査結果
(小黒川梅の橋及び高橋川新橋の結果は、河口からの距離を「0」とした)

次に大腸菌数の分布図を図 8 に示す。

湖水について、大腸菌は両日ともほとんどが不検出で、湖岸付近で 1MPN/100ml の検出があった。大腸菌数は糞便汚染の指標とされており、大腸菌が検出されたの

は湖岸付近であるため、カイツブリやカルガモなど猪苗代湖周辺に生息している生物の活動が影響していると思われる。

流入河川の大腸菌数は 59~540MPN/100ml と、湖内と比較すると数桁高い値であった。しかし、湖内の河口付近の地点は不検出であったため、河川から流入する大腸菌の生残性は低いと思われる。

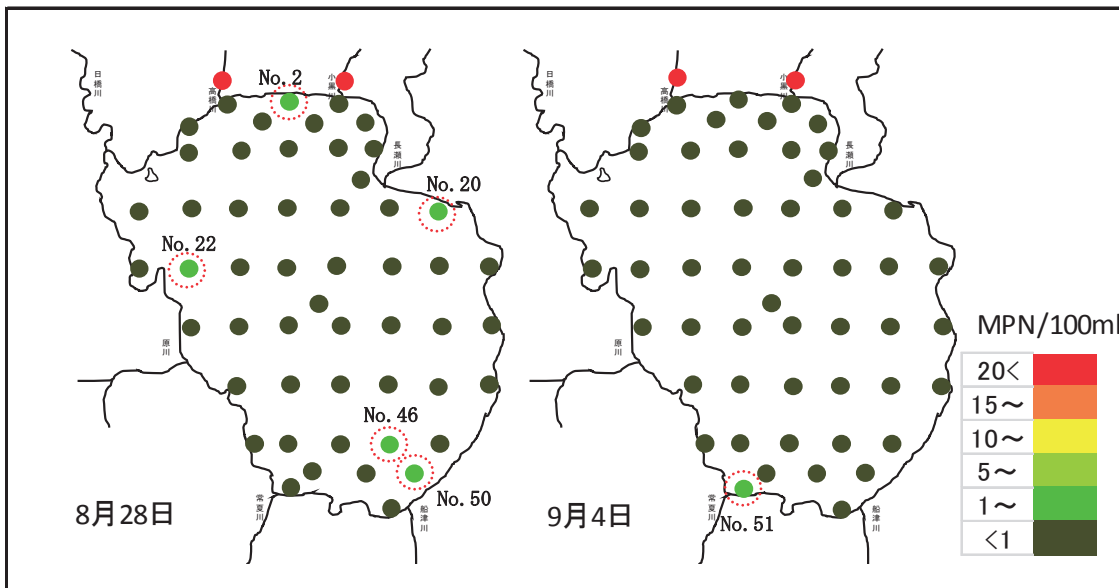


図 8 大腸菌数

イ 大腸菌群数及び水質調査項目の相関について

大腸菌群数とその他の測定項目の相関を表 1、2 及び図 9 に示す。

当該年度において、EC、TOC 及び水温の 3 つの項目の間に正の相関関係が確認された。

また、一般的に水温が高い方が大腸菌群が活発に活動することから、大腸菌群数も増加すると言われており、猪苗代湖でも水温 19.5°C 前後から大腸菌群数が環境基準 1,000MPN/100ml を超える傾向があることを確認しているが、今回も同様な傾向が確認された。

pH と TOC の間にも相関関係が確認されている。TOC は水中の有機性汚濁の指標として用いられており、また、猪苗代湖は pH の低い酸性河川が流入することで、水中の有機物を懸濁態（フロック）として沈殿させる浄化作用を有しているとされている。従ってこの 2 つの項目の間に正の相関関係があったものと推察される。平成 26~29 年の TOC の平均値は 0.78mg/L であるが、pH7.0 付近から TOC が 0.78mg/L を超える頻度が高くなっていた。

表 1 平成 29 年 8 月 28 日及び 9 月 4 日調査における調査項目の相関関係 (n=104)

	大腸菌群数	pH	EC	TOC	水温(°C)
大腸菌群数	1.00				
pH	-0.11	1.00			
EC	-0.27	0.40	1.00		
TOC	-0.25	0.36	<u>0.60</u>	1.00	
水温(°C)	-0.22	0.23	<u>0.51</u>	<u>0.75</u>	1.00

表2 平成26～29年調査における調査項目の相関関係 (n=416)

	大腸菌群数	pH	EC	TOC	水温(°C)
大腸菌群数	1.00				
pH	-0.01	1.00			
EC	-0.30	0.11	1.00		
TOC	0.11	0.62	-0.05	1.00	
水温(°C)	0.52	0.17	-0.28	0.32	1.00

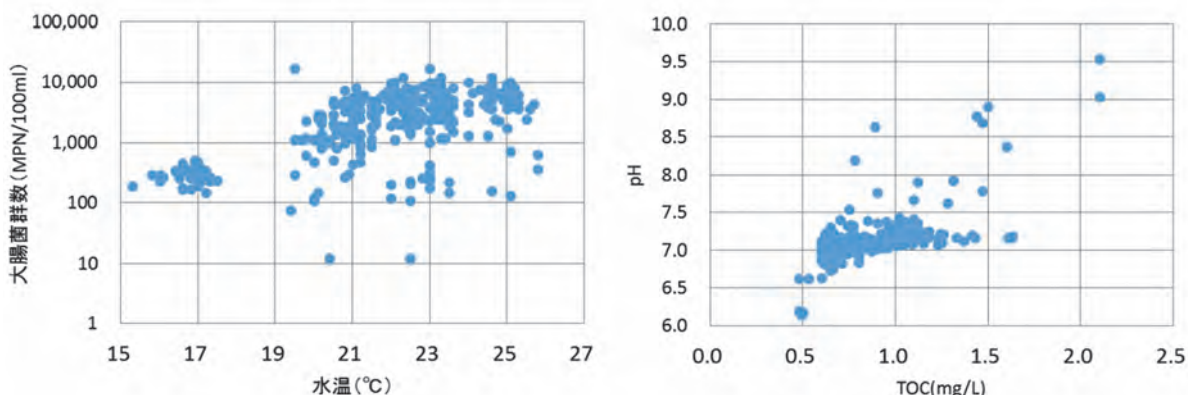


図9 平成26～29年度調査における大腸菌群数と水温、pHとTOCの相関関係 (n=416)

(8) まとめ

ア 水質調査の結果について、pHは、両日とも全地点でpH7を超えており、南西部の一部でpHが高かったが、原因は不明である。ECとTOCについては8月28日よりも9月4日の方が低い値を示した。

また、EC、TOC及び水温の3つの項目の間に正の相関関係が確認できた。

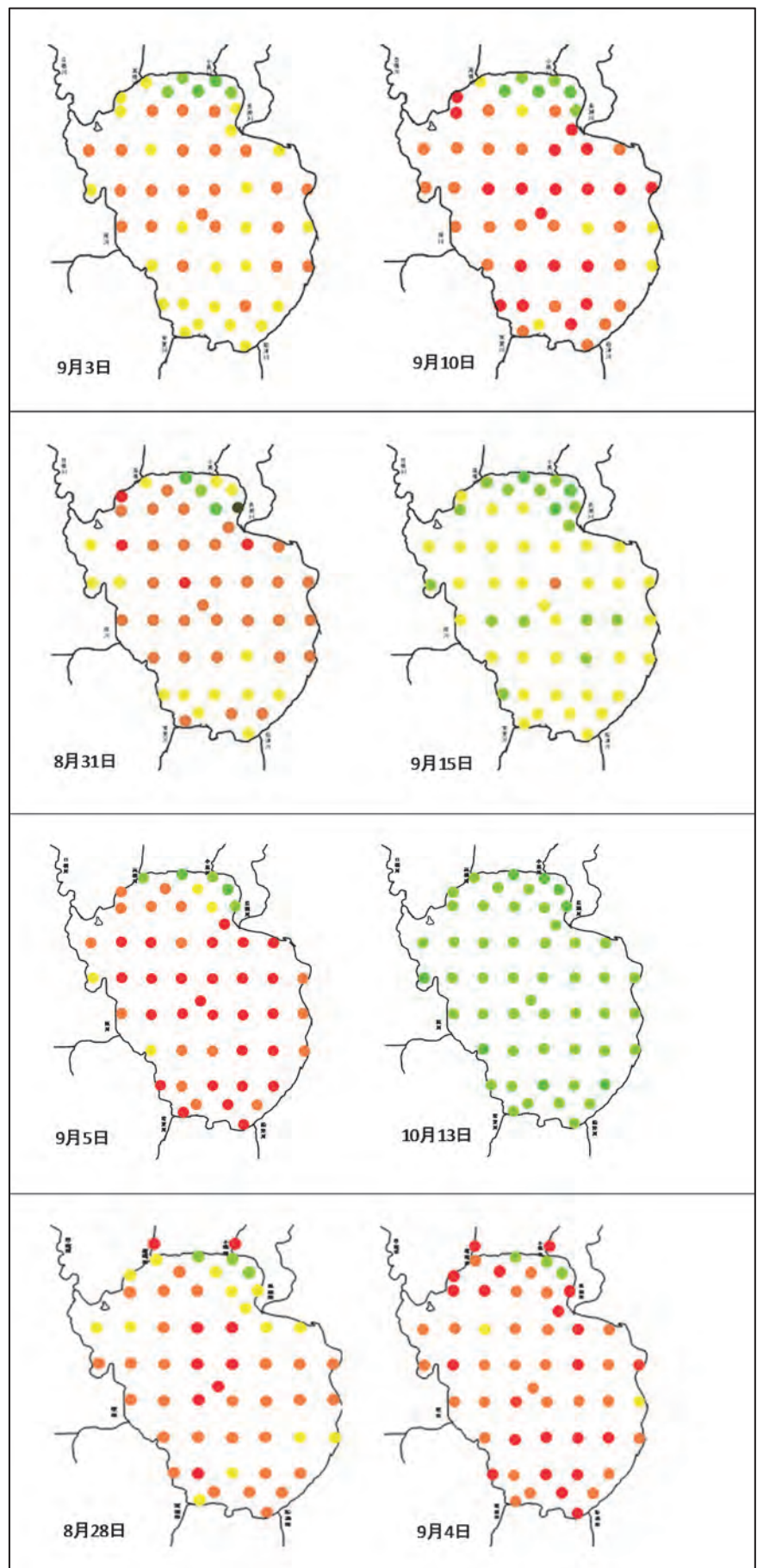
イ 大腸菌群数は例年8月、9月に多く検出されており、当該年度においても猪苗代湖表層52地点のうち湖沼A類型環境基準(1,000MPN/100ml)を超えた地点が49か所あった。全地点でpHが7以上であったため大腸菌群が生育しやすい環境であったと考えられる。また、大腸菌は湖岸付近の数地点で検出されたが、ほとんどの地点が不検出であったため検出された大腸菌群は土壤由来の菌が主だと考えられる。

ウ 大腸菌群数の分布について、平成26年度からの調査結果と同様、小黒川河口周辺の湖北部で少ない傾向にあった。しかし、その大腸菌群数が少ない地点付近の流入河川である小黒川は湖内よりも高い値を示していた。このことから河川から湖内に流入してきた大腸菌群数は、河口付近では希釈されるため数値が低くなると推察される。

エ 平成26年からの本調査では大腸菌群数と水温の間に正の相関係数が確認され、19.5°C前後から環境基準を超過する傾向が確認されているが、当該年度もその傾向がみられた。

参考文献

- 1) 平成 28 年度猪苗代湖調査研究事業等報告書 福島県環境創造センター
- 2) みんなで守る美しい猪苗代湖の水環境フォーラム資料集 平成 21 年 1 月 7 日
日本大学工学部（学術フロンティア推進事業）



別図1 平成26～29年調査における猪苗代湖の大腸菌群数

現地調査結果(8月28日)

	北緯			東経			調査時刻	天気	気温(℃)	水温(℃)	色相(フォーレルレ比色計 水色番号)	臭気	濁り	浮遊物の 有無	沈殿物の 有無	泡立ちの 有無	備考
	度	分	秒	度	分	秒											
1	37	31	47	140	3	43	9:20	曇り	24.0	23.3	14	なし	なし	少有	なし	少有	高横川河口付近
2	37	31	55	140	5	0	11:08	曇り	25.8	22.8	5	なし	なし	なし	なし	なし	三城形地先付近、
3	37	31	50	140	6	0	10:44	曇り	25.3	23.0	5	なし	なし	なし	なし	なし	小黒川河口付近、
4	37	31	21	140	3	0	9:30	曇り	24.0	23.5	5	なし	なし	なし	なし	なし	長浜付近
5	37	31	30	140	4	30	11:22	曇り	25.8	23.0	6	なし	なし	なし	なし	なし	
6	37	31	30	140	5	30	10:55	曇り	25.5	23.5	5	なし	なし	なし	なし	なし	
7	37	31	30	140	6	30	10:24	曇り	25.2	23.0	5	なし	なし	なし	なし	なし	
8	37	31	0	140	3	0	9:36	曇り	24.5	23.5	5	なし	なし	なし	なし	なし	
9	37	31	0	140	4	0	9:47	曇り	23.0	23.5	5	なし	なし	なし	なし	少有	
10	37	31	0	140	5	0	9:58	曇り	23.1	23.4	5	なし	なし	なし	なし	なし	
11	37	31	0	140	6	0	10:10	曇り	24.6	23.4	5	なし	なし	なし	なし	なし	
12	37	31	0	140	6	42	10:16	曇り	25.5	23.4	6	なし	なし	なし	なし	なし	天神浜付近
13	37	30	30	140	6	30	9:22	曇り	22.3	23.4	4	なし	なし	なし	なし	なし	
14	37	30	0	140	2	0	11:55	曇り	26.6	23.5	4	なし	なし	なし	なし	なし	
15	37	30	0	140	3	0	11:47	曇り	25.7	23.3	4	なし	なし	なし	なし	なし	
16	37	30	0	140	4	0	11:39	曇り	25.5	23.5	4	なし	なし	なし	なし	なし	
17	37	30	0	140	5	0	11:30	曇り	26.0	23.4	4	なし	なし	なし	なし	なし	
18	37	30	0	140	6	0	9:32	曇り	22.1	23.4	4	なし	なし	なし	なし	なし	
19	37	30	0	140	7	0	9:39	曇り	22.5	23.3	4	なし	なし	なし	なし	なし	長瀬川河口付近
20	37	30	0	140	8	0	9:47	曇り	21.5	23.3	4	なし	なし	なし	なし	少有	
21	37	29	0	140	2	0	10:39	曇り	22.7	23.4	4	なし	なし	なし	なし	なし	中田浜付近
22	37	29	0	140	3	0	10:31	曇り	23.5	23.1	4	なし	なし	なし	なし	少有	材木山地先付近
23	37	29	0	140	4	0	10:25	曇り	23.8	23.4	4	なし	なし	なし	なし	なし	
24	37	29	0	140	5	0	10:18	曇り	22.2	23.3	4	なし	なし	なし	なし	少有	
25	37	29	0	140	6	0	10:12	曇り	22.1	23.3	4	なし	なし	なし	なし	少有	
26	37	29	0	140	7	0	10:06	曇り	21.8	23.5	4	なし	なし	なし	なし	少有	
27	37	29	0	140	8	0	10:00	曇り	21.6	23.2	4	なし	なし	なし	なし	なし	
28	37	29	0	140	9	0	9:55	曇り	20.7	23.2	4	なし	なし	なし	なし	なし	五万堂山地先付近
29	37	28	20	140	5	36	11:04	曇り	22.8	23.4	4	なし	なし	少有	なし	少有	湖心
30	37	28	0	140	3	0	10:47	曇り	22.7	23.2	4	なし	なし	なし	なし	少有	崎川浜付近
31	37	28	0	140	4	0	10:53	曇り	23.4	23.4	4	なし	なし	なし	なし	少有	
32	37	28	0	140	5	0	10:59	曇り	22.9	23.4	4	なし	なし	少有	なし	少有	
33	37	28	0	140	6	0	11:07	曇り	23.8	23.4	4	なし	なし	なし	なし	少有	
34	37	28	0	140	7	0	11:14	曇り	23.7	23.4	4	なし	なし	なし	なし	なし	
35	37	28	0	140	8	0	11:19	曇り	23.3	23.5	4	なし	なし	少有	なし	なし	
36	37	28	0	140	9	0	11:25	曇り	23.0	23.5	4	なし	なし	なし	なし	なし	
37	37	27	0	140	4	0	9:45	曇り	24.5	23.5	4	なし	なし	なし	なし	少有	赤崎地先付近
38	37	27	0	140	5	0	9:52	曇り	24.5	23.4	4	なし	なし	なし	なし	少有	
39	37	27	0	140	6	0	10:02	曇り	24.6	23.5	4	なし	なし	なし	なし	少有	
40	37	27	0	140	7	0	10:08	曇り	24.6	23.5	5	なし	なし	なし	なし	少有	
41	37	27	0	140	8	0	10:16	曇り	24.6	23.5	4	なし	なし	なし	なし	なし	
42	37	26	45	140	9	0	10:23	曇り	25.5	23.6	4	なし	なし	なし	なし	なし	大沢川河口付近
43	37	26	0	140	4	12	9:38	曇り	24.1	23.4	4	なし	なし	なし	なし	なし	小倉沢地先付近
44	37	26	0	140	5	0	9:33	曇り	24.4	23.4	3	なし	なし	なし	なし	なし	
45	37	26	0	140	6	0	10:44	曇り	25.3	23.6	3	なし	なし	なし	なし	少有	
46	37	26	0	140	7	0	10:36	曇り	25.1	23.5	4	なし	なし	なし	なし	なし	
47	37	26	0	140	8	0	10:30	曇り	25.0	23.5	4	なし	なし	なし	なし	なし	
48	37	25	30	140	5	30	9:18	曇り	25.8	23.3	4	なし	なし	なし	なし	なし	
49	37	25	30	140	6	30	9:12	曇り	26.0	23.4	4	なし	なし	なし	なし	なし	
50	37	25	30	140	7	30	9:01	曇り	25.6	23.5	4	なし	なし	なし	なし	なし	
51	37	25	15	140	5	0	9:28	曇り	25.2	23.2	4	なし	なし	なし	なし	なし	青松浜付近
52	37	24	53	140	7	0	11:07	曇り	26.5	23.5	5	なし	なし	なし	なし	なし	舟津港付近
梅の橋	37	32	13	140	5	57	13:28	晴れ	25.0	19.8	-	なし	微濁	なし	なし	なし	
新橋	37	32	13	140	3	51	12:35	雨	25.4	18.5	-	なし	なし	なし	なし	なし	

現地調査結果(9月4日)

	北緯			東経			調査時刻	天気	気温(℃)	水温(℃)	色相(フォーレルーレ比色計 水色番号)	臭気	濁り	浮遊物の 有無	沈殿物の 有無	泡立ちの 有無	備考
	度	分	秒	度	分	秒											
1	37	31	47	140	3	43	9:15	晴れ	19.8	21.9	4	なし	なし	なし	なし	なし	高橋川河口付近
2	37	31	55	140	5	0	11:00	晴れ	21.5	21.2	13	なし	なし	なし	なし	少有	三城形地先付近
3	37	31	50	140	6	0	10:40	晴れ	21.9	20.9	13	なし	なし	なし	なし	少有	小黒川河口付近
4	37	31	21	140	3	0	9:26	晴れ	19.7	21.9	5	なし	なし	なし	なし	少有	長浜付近
5	37	31	30	140	4	30	11:10	晴れ	22.6	22.2	13	なし	なし	なし	なし	少有	
6	37	31	30	140	5	30	10:52	晴れ	21.7	22.1	13	なし	なし	なし	なし	少有	
7	37	31	30	140	6	30	10:28	晴れ	21.8	20.8	5	なし	なし	なし	なし	少有	
8	37	31	0	140	3	0	9:34	晴れ	19.6	22.0	4	なし	なし	なし	なし		
9	37	31	0	140	4	0	9:42	晴れ	21.7	22.1	4	なし	なし	なし	なし	少有	
10	37	31	0	140	5	0	9:50	晴れ	21.7	22.1	4	なし	なし	なし	なし	少有	
11	37	31	0	140	6	0	10:00	晴れ	22.2	21.7	4	なし	なし	なし	なし	少有	
12	37	31	0	140	6	42	10:06	晴れ	22.6	21.3	5	なし	なし	なし	なし		天神浜付近
13	37	30	30	140	6	30	9:18	晴れ	20.4	22.1	4	なし	なし	なし	なし		長瀬川河口
14	37	30	0	140	2	0	11:45	晴れ	21.6	22.2	3	なし	なし	なし	なし		
15	37	30	0	140	3	0	11:37	晴れ	21.5	22.2	4	なし	なし	なし	なし	少有	
16	37	30	0	140	4	0	11:30	晴れ	21.1	22.2	4	なし	なし	なし	なし	少有	
17	37	30	0	140	5	0	11:22	晴れ	22.3	22.2	3	なし	なし	なし	なし		
18	37	30	0	140	6	0	9:24	晴れ	18.8	22.1	4	なし	なし	なし	なし		
19	37	30	0	140	7	0	9:34	晴れ	18.8	21.8	4	なし	なし	なし	なし		長瀬川河口付近
20	37	30	0	140	8	0	9:39	晴れ	21.2	21.8	4	なし	なし	なし	なし		
21	37	29	0	140	2	0	10:36	晴れ	21.4	22.3	5	なし	なし	なし	なし		中田浜付近
22	37	29	0	140	3	0	10:30	晴れ	21.6	22.2	4	なし	なし	なし	なし		材木山地先付近
23	37	29	0	140	4	0	10:24	晴れ	21.5	22.2	4	なし	なし	なし	なし		
24	37	29	0	140	5	0	10:28	晴れ	21.8	22.2	4	なし	なし	なし	なし		
25	37	29	0	140	6	0	10:05	晴れ	22.2	22.3	3	なし	なし	なし	なし		
26	37	29	0	140	7	0	10:00	晴れ	20.6	22.2	3	なし	なし	なし	なし		
27	37	29	0	140	8	0	9:53	晴れ	22.1	22.0	3	なし	なし	なし	なし		
28	37	29	0	140	9	0	9:48	晴れ	22.5	22.1	4	なし	なし	なし	なし	少有	五万堂山地先付近
29	37	28	20	140	5	36	10:14	晴れ	22.2	22.2	3	なし	なし	なし	なし		湖心
30	37	28	0	140	3	0	10:46	晴れ	21.0	22.1	4	なし	なし	なし	なし		崎川浜付近
31	37	28	0	140	4	0	10:50	晴れ	21.2	22.2	3	なし	なし	なし	なし		
32	37	28	0	140	5	0	10:58	晴れ	21.0	22.2	3	なし	なし	なし	なし		
33	37	28	0	140	6	0	11:03	晴れ	22.2	22.2	4	なし	なし	なし	なし		
34	37	28	0	140	7	0	11:08	晴れ	22.5	22.2	3	なし	なし	なし	なし		
35	37	28	0	140	8	0	11:15	晴れ	24.5	22.4	3	なし	なし	なし	なし		
36	37	28	0	140	9	0	11:28	晴れ	24.7	22.5	3	なし	なし	なし	なし		
37	37	27	0	140	4	0	9:16	晴れ	22.1	22.1	4	なし	なし	なし	なし		赤崎地先付近、微風
38	37	27	0	140	5	0	9:24	晴れ	22.2	22.0	4	なし	なし	なし	なし		
39	37	27	0	140	6	0	9:29	晴れ	20.0	22.0	4	なし	なし	なし	なし		
40	37	27	0	140	7	0	9:35	晴れ	18.9	22.0	3	なし	なし	なし	なし		
41	37	27	0	140	8	0	9:39	晴れ	18.5	22.2	4	なし	なし	なし	なし		
42	37	26	45	140	9	0	9:46	晴れ	19.6	22.3	3	なし	なし	なし	なし		大沢川河口付近
43	37	26	0	140	4	12	10:14	晴れ	22.8	22.3	4	なし	なし	なし	なし		小倉沢地先付近
44	37	26	0	140	5	0	10:09	晴れ	22.4	22.1	3	なし	なし	なし	なし		
45	37	26	0	140	6	0	10:02	晴れ	21.2	22.1	3	なし	なし	なし	なし		
46	37	26	0	140	7	0	9:59	晴れ	21.2	22.2	4	なし	なし	なし	なし		
47	37	26	0	140	8	0	9:54	晴れ	21.7	22.3	4	なし	なし	なし	なし		
48	37	25	30	140	5	30	10:24	晴れ	21.6	22.4	3	なし	なし	なし	なし		
49	37	25	30	140	6	30	10:31	晴れ	21.6	22.3	4	なし	なし	なし	なし		
50	37	25	30	140	7	30	10:34	晴れ	21.9	22.3	3	なし	なし	なし	なし		
51	37	25	15	140	5	0	10:19	晴れ	21.0	22.2	4	なし	なし	なし	なし		青松浜付近
52	37	24	53	140	7	0	10:52	晴れ	20.2	22.4	3	なし	なし	なし	なし		舟津港付近
梅の橋	37	32	13	140	5	57	13:25	晴れ	26.0	21.0	-	なし	微濁	有	なし	なし	
新橋	37	32	13	140	3	51	11:24	晴れ	26.5	19.8	-	なし	なし	有	なし	なし	

全湖水面調査分析結果

8月28日(月)

地点No	大腸菌群数	大腸菌数	pH	EC	TOC	気温(℃)	水温(℃)
	MMO-MUG培地	MMO-MUG培地	JIS K 0102 12.1(ガラス電極法)	JIS K 0102 13	JIS K 0102 22		
単位	MPN/100ml	MPN/100ml		μS/cm	mg/l		
下限値	0	0		1	0.5		
湖-01	1,200	0	7.24	102	0.98	24.0	23.3
湖-02	260	1	7.38	102	0.95	25.8	22.8
湖-03	320	0	7.91	105	1.12	25.3	23.0
湖-04	1,900	0	7.05	103	0.91	24.0	23.5
湖-05	3,800	0	7.16	102	1.15	25.8	23.0
湖-06	2,400	0	7.07	102	0.88	25.5	23.5
湖-07	430	0	7.26	102	1.04	25.2	23.0
湖-08	4,800	0	7.20	102	0.94	24.5	23.5
湖-09	3,800	0	7.04	102	0.96	23.0	23.5
湖-10	4,800	0	7.22	102	0.92	23.1	23.4
湖-11	2,700	0	7.12	102	0.98	24.6	23.4
湖-12	1,200	0	7.29	102	0.96	25.5	23.4
湖-13	2,700	0	7.38	103	1.05	22.3	23.4
湖-14	2,400	0	7.07	102	1.23	26.6	23.5
湖-15	2,400	0	7.22	102	0.99	25.7	23.3
湖-16	3,400	0	7.10	102	0.91	25.5	23.5
湖-17	6,800	0	7.08	102	1.09	26.0	23.4
湖-18	6,800	0	7.21	102	1.26	22.1	23.4
湖-19	2,400	0	7.12	101	1.37	22.5	23.3
湖-20	2,400	1	7.18	102	1.10	21.5	23.3
湖-21	3,600	0	7.20	102	1.41	22.7	23.4
湖-22	5,700	1	7.10	102	1.25	23.5	23.1
湖-23	4,800	0	7.09	102	1.15	23.8	23.4
湖-24	12,000	0	7.25	104	1.06	22.2	23.3
湖-25	9,200	0	7.14	102	1.15	22.1	23.3
湖-26	5,100	0	7.13	104	1.13	21.8	23.5
湖-27	3,600	0	7.24	101	1.08	21.6	23.2
湖-28	3,200	0	7.18	105	0.99	20.7	23.2
湖-29	6,800	0	7.22	104	1.24	22.8	23.4
湖-30	3,600	0	7.17	102	1.24	22.7	23.2
湖-31	4,600	0	7.19	102	1.63	23.4	23.4
湖-32	6,400	0	7.16	102	1.05	22.9	23.4
湖-33	4,300	0	7.27	107	0.98	23.8	23.4
湖-34	4,100	0	7.24	103	1.14	23.7	23.4
湖-35	3,000	0	7.14	103	1.15	23.3	23.5
湖-36	3,800	0	7.43	106	1.02	23.0	23.5
湖-37	5,100	0	8.89	118	1.47	24.5	23.5
湖-38	4,600	0	8.78	113	1.44	24.5	23.4
湖-39	4,100	0	7.17	105	1.16	24.6	23.5
湖-40	3,000	0	7.16	108	1.43	24.6	23.5
湖-41	2,400	0	7.16	110	1.33	24.6	23.5
湖-42	2,300	0	7.21	110	1.07	25.5	23.6
湖-43	3,800	0	7.16	112	1.12	24.1	23.4
湖-44	6,800	0	7.31	110	1.10	24.4	23.4
湖-45	2,200	0	7.19	108	1.04	25.3	23.6
湖-46	5,400	1	7.17	106	1.61	25.1	23.5
湖-47	3,000	0	7.25	110	1.18	25.0	23.5
湖-48	5,100	0	7.17	105	1.08	25.8	23.3
湖-49	5,100	0	7.36	104	1.12	26.0	23.4
湖-50	4,600	1	7.15	104	1.23	25.6	23.5
湖-51	2,400	0	7.16	104	1.63	25.2	23.2
湖-52	4,300	0	7.18	104	1.18	26.5	23.5
梅の様	26,000	200	7.26	165	2.12	25.0	20.6
新様	15,000	88	7.06	173	1.59	25.4	19.0

9月4日(月)

地点No	大腸菌群数	大腸菌数	pH	EC	TOC	気温(℃)	水温(℃)
	MMO-MUG培地	MMO-MUG培地	JIS K 0102 12.1(ガラス電極法)	JIS K 0102 13	JIS K 0102 22		
単位	MPN/100ml	MPN/100ml		μS/cm	mg/l		
下限値	0	0		1	0.5		
湖-01	5,100	0	7.10	99	0.73	19.8	21.9
湖-02	980	0	7.13	103	0.77	21.5	21.2
湖-03	300	0	7.19	106	0.83	21.9	20.9
湖-04	7,200	0	7.12	102	0.74	19.7	21.9
湖-05	6,800	0	7.08	102	0.74	22.6	22.2
湖-06	4,300	0	7.16	102	0.76	21.7	22.1
湖-07	270	0	7.17	103	0.85	21.8	20.8
湖-08	6,100	0	7.17	102	0.75	19.6	22.0
湖-09	7,200	0	7.07	102	0.74	21.7	22.1
湖-10	5,100	0	7.06	102	0.75	21.7	22.1
湖-11	5,400	0	7.07	102	0.74	22.2	21.7
湖-12	6,100	0	7.24	102	0.77	22.6	21.3
湖-13	10,000	0	7.05	102	0.81	20.4	22.1
湖-14	4,600	0	7.10	102	0.75	21.6	22.2
湖-15	5,700	0	7.13	103	0.78	21.5	22.2
湖-16	2,000	0	7.03	101	0.73	21.1	22.2
湖-17	4,300	0	7.06	102	0.74	22.3	22.2
湖-18	5,700	0	7.17	102	1.01	18.8	22.1
湖-19	6,400	0	7.11	102	0.76	18.8	21.8
湖-20	5,700	0	7.09	104	0.79	21.2	21.8
湖-21	4,100	0	7.12	92	0.77	21.4	22.3
湖-22	6,100	0	7.08	93	0.77	21.6	22.2
湖-23	5,100	0	7.14	90	0.77	21.5	22.2
湖-24	4,100	0	7.18	93	0.77	21.8	22.2
湖-25	5,700	0	7.09	95	0.77	22.2	22.3
湖-26	6,400	0	7.09	89	0.78	20.6	22.2
湖-27	4,800	0	7.14	95	0.87	22.1	22.0
湖-28	6,400	0	7.12	92	0.78	22.5	22.1
湖-29	4,300	0	7.16	89	0.76	22.2	22.2
湖-30	5,400	0	7.18	97	0.78	21.0	22.1
湖-31	5,100	0	7.05	96	0.77	21.2	22.2
湖-32	6,100	0	7.19	87	0.75	21.0	22.2
湖-33	4,600	0	7.10	99	0.79	22.2	22.2
湖-34	6,000	0	7.11	90	0.80	22.5	22.2
湖-35	4,300	0	7.33	93	0.77	24.5	22.4
湖-36	2,400	0	7.07	96	1.04	24.7	22.5
湖-37	4,100	0	7.54	92	0.75	22.1	22.1
湖-38	9,200	0	7.33	93	0.74	22.2	22.0
湖-39	9,800	0	7.15	95	0.74	20.0	22.0
湖-40	6,800	0	7.08	90	0.74	18.9	22.0
湖-41	6,400	0	7.09	93	0.76	18.5	22.2
湖-42	5,100	0	7.11	94	0.77	19.6	22.3
湖-43	6,800	0	7.08	94	0.75	22.8	22.3
湖-44	5,700	0	7.09	97	0.76	22.4	22.1
湖-45	7,700	0	7.07	92	0.76	21.2	22.1
湖-46	6,800	0	7.09	89	0.75	21.2	22.2
湖-47	5,400	0	7.13	91	0.76	21.7	22.3
湖-48	4,300	0	7.03	83	0.78	21.6	22.4
湖-49	6,400	0	7.17	90	0.76	21.6	22.3
湖-50	5,400	0	7.13	95	0.74	21.9	22.3
湖-51	5,100	1	7.14	99	0.77	21.0	22.2
湖-52	8,100	0	7.23	107	0.77	20.2	22.4
梅の様	17,000	540	7.34	170	1.15	26.0	21.0
新様	48,000	59	7.19	186	1.70	25.8	19.8

○大腸菌(群)の試験に用いた試薬は、MMO-MUG培地はアスカ純薬㈱のコリラート「アスカ」QTトレイを使用。

4 湖沼における難分解性有機物調査

(1) 目的

湖沼における COD が減少しない要因の一つと考えられる難分解性有機物について、猪苗代湖への流入河川の実態を把握することにより、水環境保全対策に資することを目的とする。

(2) 調査方法

猪苗代湖及び猪苗代湖への流入河川における溶存態及び懸濁態の有機物量等を調査した。また、生分解試験を行い難分解性有機物の存在状況を把握し、有機物による汚濁の現状を検討した。

(3) 調査地点

調査地点は図 1 のとおり。

- ア 猪苗代湖湖心（表層）
- イ 高橋川（新橋）
- ウ 小黒川（梅の橋）
- エ 長瀬川（小金橋）
- オ 猪苗代湖高橋川沖 500m
(以下「高橋川沖 500m」)
- カ 猪苗代湖小黒川沖 500m
(以下「小黒川沖 500m」)
- キ 猪苗代湖長瀬川沖 500m
(以下「長瀬川沖 500m」)



図1 調査地点

(4) 調査時期

平成 29 年 9 月 13 日

(5) 調査項目

- ア 気温、水温、透明度（透視度）、色相、臭気、濁り
- イ pH、EC、BOD、COD、溶存態 COD (D-COD)、TOC、溶存態 TOC (DOC)、SS、T-N、溶存態 T-N (DTN)、NO₃-N、NO₂-N、NH₄-N、T-P、溶存態 T-P (DTP)、PO₄-P、一般細菌数、紫外外部吸光度(UV260)、クロロフィル a
- ウ 難分解性有機物に関する報告書（案）（平成 23 年 3 月環境省水・大気環境局水環境課）に基づき、表 1 の条件で生分解試験を行った。

なお、100 日生分解後に残存した成分を難分解性成分とした。

表1 生分解試験の条件等

試料量	1000ml
分解期間	30 日及び 100 日
容器等	ガラス製容器 蓋シリコ栓
温度、光条件	20°C、暗
植種、希釀の有無	無
酸素供給	攪拌
分析項目	pH、EC、TOC、DOC、UV260

(6) 測定方法

- ア pH : イオン電極法
 - イ EC : 交流二電極法
 - ウ BOD : よう素滴定法
 - エ COD : 100°Cにおける過マンガン酸カリウム分解測定法
 - オ D-COD : ろ過後、100°Cにおける過マンガニ酸カリウム分解測定法
 - カ 懸濁態 COD (P-COD) : 「COD 測定値」 - 「D-COD 測定値」
 - キ TOC : 燃焼酸化一赤外吸収式 TOC 自動計測法
 - ク 溶存態 TOC (DOC) : ろ過後、燃焼酸化一赤外吸収式 TOC 自動計測法
 - ケ 懸濁態 TOC (POC) : 「TOC 測定値」 - 「DOC 測定値」
 - コ T-N、T-P、PO₄-P : 分光光度法
 - サ 溶存態 T-N (T-N) 、溶存態 (T-P) DTP : ろ過後、分光光度法
 - シ 懸濁態 T-N (PTN) : 「T-N 測定値」 - 「DTN 測定値」
 - ス 懸濁態 T-P (PTP) : 「T-P 測定値」 - 「DTP 測定値」
 - セ NO₃-N、NO₂-N、NH₄-N : イオンクロマトグラフ法
 - ソ SS : 重量法
 - タ 一般細菌数 : 標準寒天培地による平板法
 - チ UV260 : 波長 260nm の紫外外部吸光度
 - ツ クロロフィル a : 分光光度法
- * 溶存態成分のろ過は 450°Cで約 3 時間加熱後の WhatmanGF/B ろ紙 (Poresize 約 1.0 μm) を使用してろ過した。

(7) 結果及び考察

現地調査結果は、139 ページ別紙 1 に、分析結果の一覧は、140 ページ別紙 2 に示す。

本調査は平成 26 年度から継続しており、平成 26、28、29 年度は 9 月、平成 27 年度は 11 月に調査を行っている。また、長瀬川（小金橋）の上流には水力発電所があり放流水が流入するが、平成 26 年度は放流前に採水、平成 27~29 年度は放流後に採水している。

ア 猪苗代湖及び各河川における BOD、COD 及び TOC の結果について

各湖沼等における BOD、COD 及び TOC 濃度等を図 2 に示す。なお、BOD の定量下限値は 0.5mg/L であるが、定量下限値未満の検体については 0mg/L とした。

一般に BOD として測定される有機物は微生物により分解されやすい有機物（易分解性有機物）であり、COD として測定される有機物は酸化剤により分解させることから微生物に分解されにくい有機物（難分解性有機物）を含んだ有機物となる。また、TOC は実質的な全有機炭素量を測定しているため、有機物の種類により差がない指標である。

BOD は小黒川（梅の橋）が 2.3mg/L、小黒川沖 500m が 0.7mg/L と小黒川関連が定量下限値以上で検出された。この 2 地点については、9 月調査時は毎回定量下限値以上で検出されている。その他の地点は全て 0.5mg/L 未満であった。

COD は猪苗代湖湖心が 1.3mg/L であり、長瀬川沖 500m 及び高橋川沖 500m はそれぞれ 1.4mg/L、1.5mg/L と猪苗代湖湖心に近い値であった。小黒川沖 500m は 2.5mg/L と猪苗代湖湖心よりも高い値であった。河川 3 地点は 2.2~3.7mg/L と小黒川沖 500m と同程度又は高い値であった。

また、溶存態の割合 (D-COD/COD) は、長瀬川（小金橋）で 27%と低い値である他は、68~92%と高い値であった。

TOC は、猪苗代湖湖心が 0.79mg/L であった。長瀬川関連及び高橋川関連の 4 地点は 0.59~0.98mg/L と猪苗代湖湖心と同程度で、小黒川関連の 2 地点は 1.53mg/L~1.83mg/L と猪苗代湖湖心のよりも 2 倍程度高い値であった。このことについて、小黒川は猪苗代町の中心部を流れしており、有機物の負荷量が多いことから小黒川（梅の橋）の値が高く、また、小黒川沖 500m は小黒川からの負荷量の影響があること及び 9 月調査時は周辺に繁茂している水草による炭酸同化作用が活発であったこと等の理由により TOC が高い値になったと推察される。

また、溶存態の割合 (DOC/TOC) は全ての地点で 90%を超えており、高い割合で溶存態として存在している結果となった。

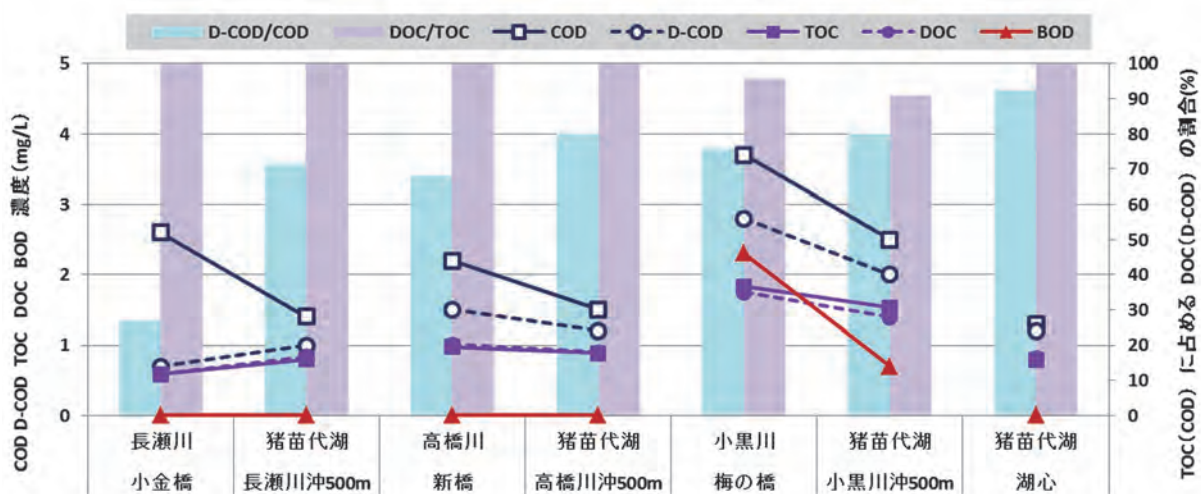


図 2 各地点における COD、TOC 等濃度及び溶存態の割合

イ 猪苗代湖及び各河川における窒素及びリンの結果について

各湖沼等における T-N 及び T-P 等の濃度等を図 3、4 に示す。NO₃-N の定量下限値は 0.05mg/L、T-P、PO₄-P の定量下限値は 0.003mg/L であるが、図 3、4 では定量下限値未満の検体については 0mg/L とした。

T-N について、猪苗代湖内 4 地点は 0.17~0.21mg/L であった。河川 3 地点については長瀬川（小金橋）は 0.33mg/L と猪苗代湖内よりも若干高い値であり、高橋川（新橋）及び小黒川（梅の橋）はそれぞれ 0.71、0.81mg/L とさらに高い値であった。なお、小黒川沖 500m は、これまでの 9 月調査時では 0.33~0.55mg/L と他の猪苗代湖内よりも若干高い値であったが、今回は猪苗代湖湖心と同程度の低い値であった。その他の地点は例年とほぼ同様であった。

また、溶存態の割合 (DTN/TN) は 72~90%であり多くは溶存態で存在している結果となった。これまで長瀬川（小金橋）は 48~61%で他の地点より低い傾向であったが、今回はほぼ同じ値であった。その他の地点は例年と同様であった。

NO₃-N、NO₂-N 及び NH₄-N は、小黒川沖 500m を除いて、NO₃-N のみが定量下限値以上で検出され、その他の 2 成分は全ての地点で定量下限値未満であった。NO₃-N について、猪苗代湖内は <0.05~0.11mg/L であるが、長瀬川（小金橋）は 0.14mg/L と猪苗代湖内よりも若干高く、高橋川（新橋）及び小黒川（梅の橋）はそれぞれ 0.70、0.73mg/L

とさらに高い値であり、T-N と同様の傾向であるとともに過去の調査と同様の結果であった。

溶存態の割合 (DTP/TP) については、T-P が検出された 5 地点のうち溶存態が定量下限値未満である高橋川沖 500m 及び長瀬川（小金橋）を除く 3 地点は 40~55% の範囲であり、溶存態の割合が高かった COD や T-N とは異なる傾向となった。なお、長瀬川（小金橋）については、当センターによるこれまでの調査で、不溶化した Fe 等の金属イオンにリンが吸着し懸濁態（フロック）になる現象が発生することが確認されており、その現象のため溶存態が検出されなかつたと推察される。

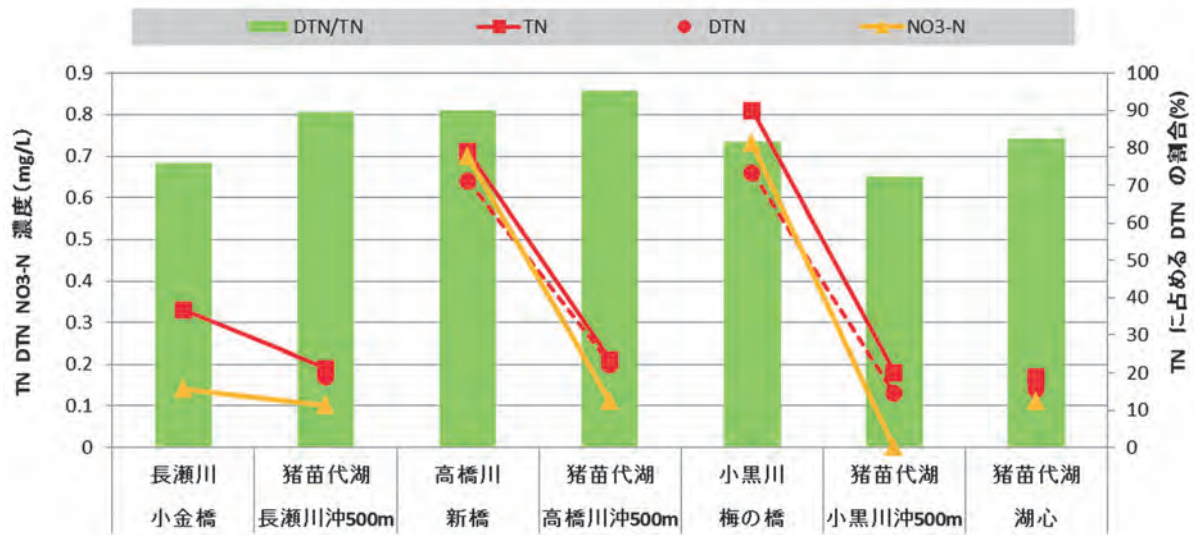


図 3 T-N 等の濃度及び溶存態の割合

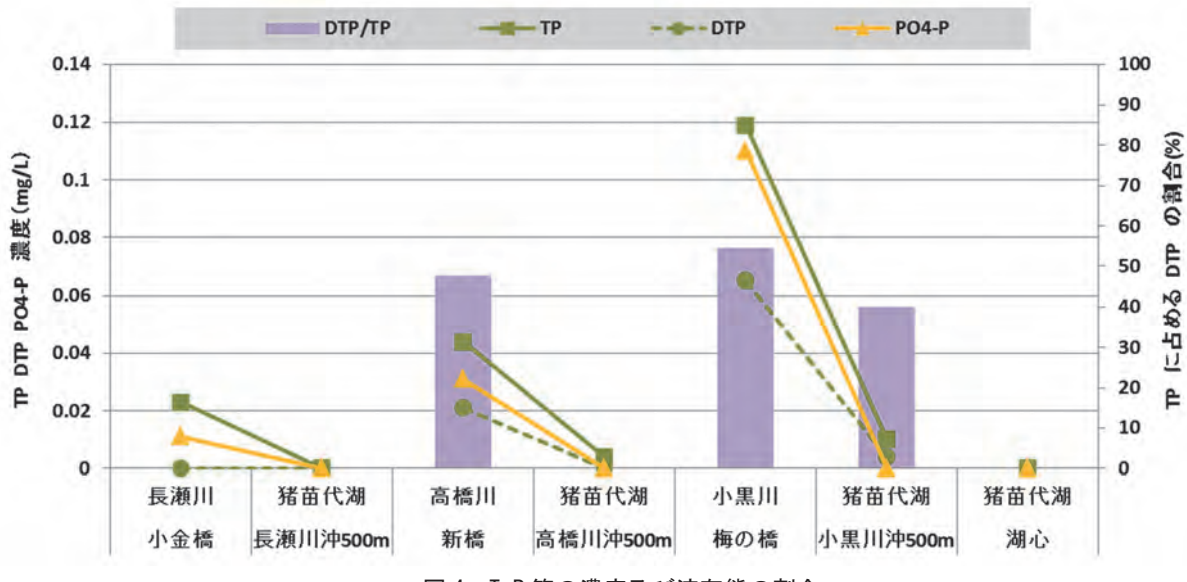


図 4 T-P 等の濃度及び溶存態の割合

ウ 猪苗代湖及び各河川における UV260/DOC 比について

平成 29 年度の UV260/DOC 比及び DOC 濃度を図 5、平成 26 年度から平成 29 年度の UV260/DOC 比及び流量を図 6 に示す。

猪苗代湖湖心及び長瀬川沖 500m 地点の UV260/DOC 比は、13 及び 11 [(mABS/cm)/(mg/L)] であった。これは過去 3 年間と同様の結果で、内部生産有機物由来の値 (12 [(mABS/cm)/(mg/L)])²⁾ に近い結果であった。

河川 3 地点については、50~87 [(mABS/cm)/(mg/L)] であり、過去 3 年間と同様に土壤等外来性有機物由来の値 (23~58 [(mABS/cm)/(mg/L)])²⁾ に近い結果となつた。

長瀬川（小金橋）については、87 [(mABS/cm)/(mg/L)] と最も高い値であった。このような高い値になったのは、上流にある水力発電所の放流後の採水したことにより、放流による多量の底質流出影響を受けたためと推察され、このような傾向は過去の調査でも確認されている。

また、猪苗代湖小黒川沖 500m 及び高橋川沖 500m については 35 及び 20 [(mABS/cm)/(mg/L)] であった。小黒川沖 500m については、9 月調査時は 29 及び

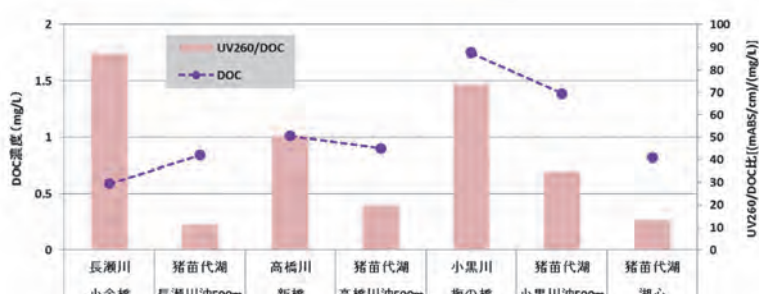


図 5 UV260/DOC 比及び DOC 濃度

と土壤等外来性有機物由来の値に近い値であり、今年度も同様な結果であった。土壤等由来に近い値となった理由としては、採水時の水深が 0.8m と浅く、底質由来の影響が大きいためと推察される。高橋川沖 500m は、過去の 9 月調査時の結果は 16 及び 43 [(mABS/cm)/(mg/L)] であり、一定の傾向を示していない。今回は 20 [(mABS/cm)/(mg/L)] であり、内部生産由来と土壤等由来の中間の値となった。このことは高橋川沖 500m の水深が 1.2m であり比較的浅く底質由来の影響があったことや、藻類由来が大きな割合を占める湖水においては UV260/DOC は 16~17 [(mABS/cm)/(mg/L)] と内部生産由来より若干高いとの報告²⁾があるとおり、湖底に植物が繁茂している環境であったことの影響もあったことから、内部生産由来の値より少し高い値になったと推察される。

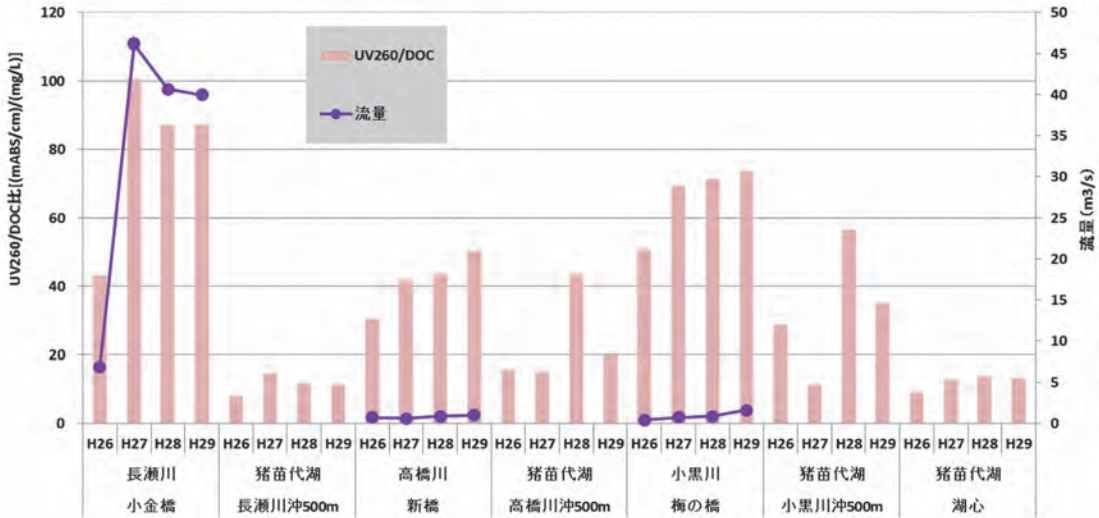


図 6 平成 26 年度から平成 29 年度の UV260/DOC 比及び流量

二 生分解試験結果について

(ア) 難分解性有機物について

各湖沼等の生分解試験における DOC 及び POC 濃度を図 7、生分解試験 30 日後及び 100 日後の全溶存有機物中における残存溶存有機物の割合を図 8 に示す。

猪苗代湖は、平均滞留時間が約 3.7 年と長いが 100 日後の生分解試験と、30 日間の生分解試験も行い、易分解性有機物の分解にかかる時間経過についても検討した。

100 日後の残存 DOC について、井縄広湖内は 0.56～1.10mg/L、河川 3 地点は 0.41～1.40mg/L であった。残存率は 66～81% の範囲であり過去の調査結果と同様に難分解性有機物の割合が高い結果であった。また、湖内と河川での残存率の違いはなかった。

30 日後の残存 DOC の残存率は 78～100% の範囲であり過去の調査結果と同様に難分解性有機物の割合が高い結果であった。過去の結果では 30 日後と 100 日後ではほとんど差がなく、30 日後には易分解性有機物は分解されている結果であったが、今回は違う結果となった。この理由は不明であり、さらなる検討が必要である。

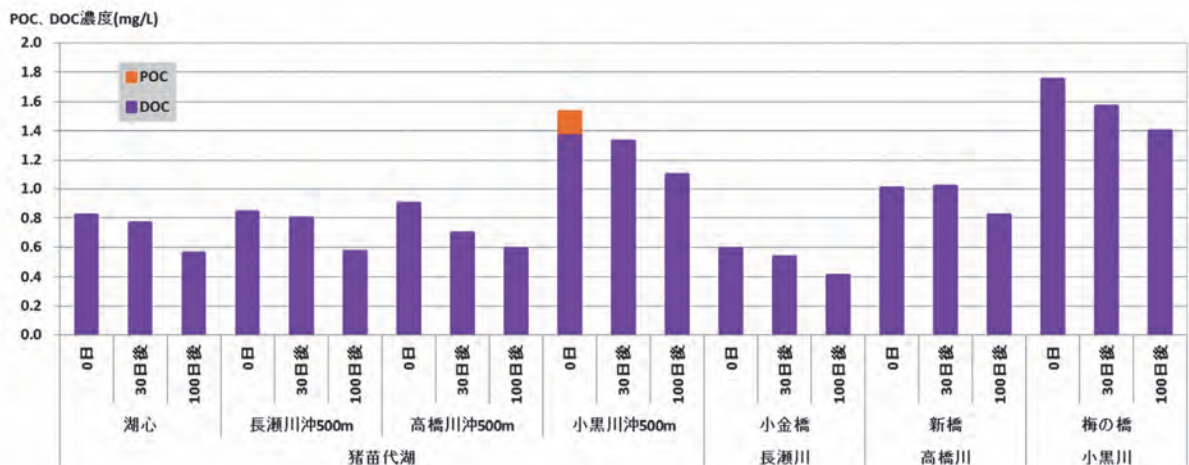


図 7 生分解試験による DOC 等の変化

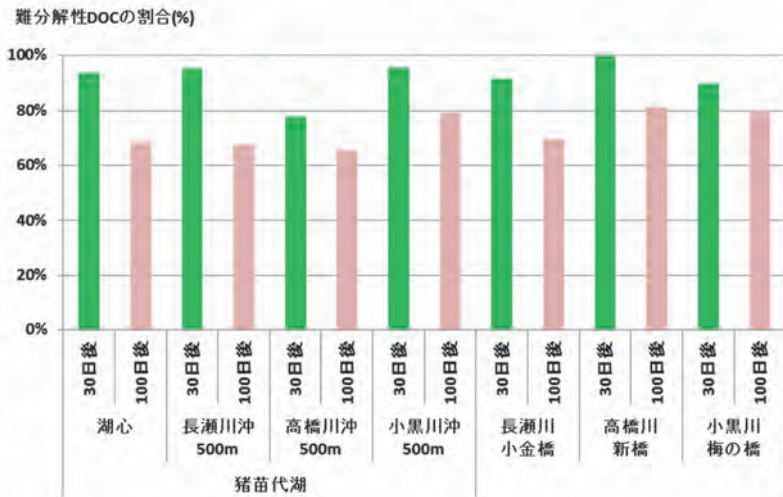


図 8 生分解試験 30 日後の難分解性
DOC の割合

(イ) 生分解後の UV260/DOC 比について

生分解試験における UV260/DOC 比及び DOC 濃度を図 9 に示す。

100 日生分解後の UV260/DOC 比において、過去の結果と同様に内部生産由来と考えられる猪苗代湖心及び猪苗代湖長瀬川沖 500m は生分解前の値と比較してほとんど変化がみられなかつたが、土壤等由来と考えられる河川 3 地点及び猪苗代湖小黒川沖 500m の場合は減少した。

一般的には、生分解後は易分解性で UV260/DOC の比率が低い有機物が減少し、UV260/DOC の比率が高いフミン質等の難分解性有機物の比率が増加することにより、UV260/DOC 比が増加、又はほぼ変化しない結果となっているが²⁾³⁾、この調査では、毎年、ほぼ変化しない又は減少するという結果となり、一般とは違う傾向を示している。その理由としては、分母である DOC において、UV260/DOC 比の少ない易分解性の有機物の減少による影響よりも新たに生産される UV260 の九州が少ない DOC 成分の影響が大きいため、相対的に分母が増加しているためと推測されるが、さらなる調査が必要である。

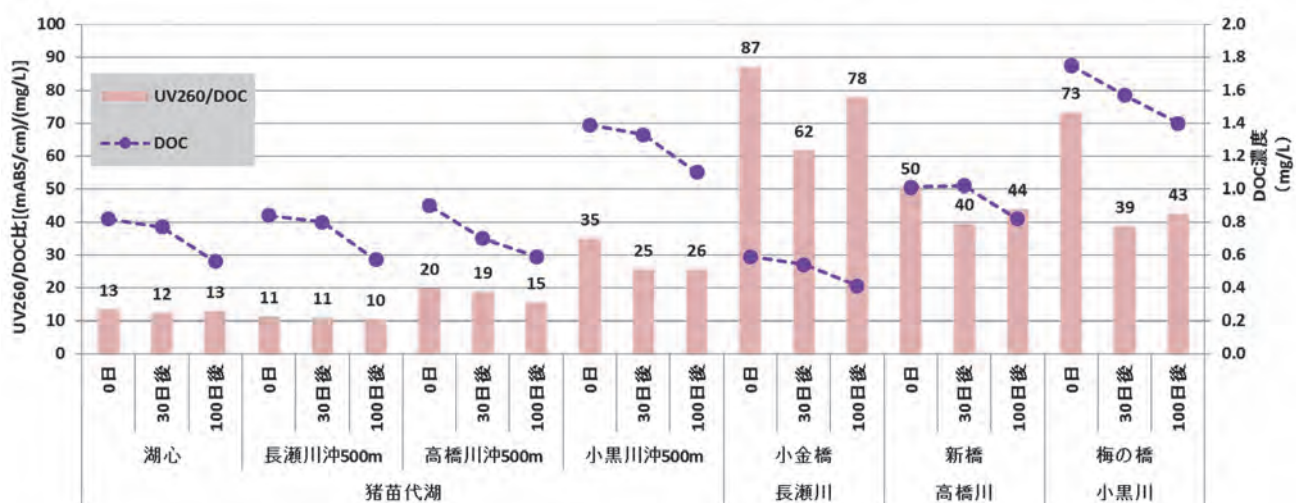


図 9 猪苗代湖及び各河川における生分解試験における UV260/DOC 等の変化

(8) まとめ

ア BOD、COD、TOC は小黒川関連の 2 地点が高い値を示した。

COD の溶存態の割合について、長瀬川（小金橋）は低い値であったが、他の地点では溶存態の方が多い割合で存在している結果であった。

イ T-N について、猪苗代湖内 4 地点は同程度の値であり、河川 3 地点は猪苗代湖内より高い値であった。また、全地点とも溶存態の方が多い割合で存在している結果となつた。

ウ T-P は小黒川（梅の橋）が他の地点と比較して高い値であった。

エ UV260/DOC の結果において、猪苗代湖に関しては、猪苗代湖湖心及び長瀬川沖 500m は内部生産有機物の寄与が大きい結果となつた。

猪苗代湖高橋川沖 500m 及び小黒川沖 500m は、採水時の水深が浅く、植物が繁茂している状況のため、水生生物の炭酸同化作用及び底質の影響を受け値が高くなつた。

オ 全溶存有機物中における難分解性溶存有機物の割合は 66~81% の範囲内であり、過去の結果と同様に難分解性有機物の割合が高かつた。

カ 生分解試験 30 日後及び 100 日後の DOC の値に差が見られ、易分解性有機物は 30 日後には完全に分解されていない結果となつた。

過去 3 年は 30 日後には完全に分解されている結果となっており、違つた結果であったが、その理由は不明である。

キ 100 日生分解後の UV260/DOC 比は、内部生産有機物の寄与が大きい猪苗代湖湖心、長瀬川沖 500m はほとんど変化がみられなかつたが、土壤の寄与がある結果となつた。その他の地点は例年と同様の結果で減小した。

参考文献

- 1) 陸水学 アレキサンダー・J・ホーン チャールス・R・ゴールドマン 著
京都大学学術出版会
- 2) 湖沼において増大する難分解性有機物の発生原因と影響評価に関する研究
国立環境研究所特別研究報告、SR-36-2001 (2001)
- 3) 湖水溶存有機物の紫外外部吸光度 水環境学会誌 20. 397(1997)
福島武彦 今井章夫 松重一夫 井上隆信 小澤秀明

別紙 1 現地調査結果一覧

調査地点	猪苗代湖				長瀬川 小金橋	高橋川 新橋	小黒川 梅の橋
	湖心	長瀬川沖 500m	高橋川沖 500m	小黒川沖 500m			
採取水深(m)	表層	表層	表層	表層	表層	表層	表層
調査年月日	H29.9.13						
採水時間	9:10	10:05	10:40	10:20	12:30	11:12	11:46
天候(前日)	くもり						
天候(当日)	晴れ	晴れ	晴れ	晴れ	晴れ	晴れ	晴れ
気温(℃)	21.2	22.0	22.9	22.0	27.2	26.4	28.9
水温(℃)	21.6	21.0	21.5	21.5	21.6	17.1	22.0
透明(透視)度(m)	12.8	>7.7	>1.2	>0.8	0.64	>1.0	>1.0
水色(フォーレル)	7	8	12	13	—		
色相	無色	無色	無色	無色	微黄色	無色	無色
臭気	無臭	無臭	無臭	無臭	無臭	無臭	沼沢臭
濁り	透明	透明	透明	透明	微濁	透明	微濁
流量(m ³ /s)	—				39.98	1.00	1.60

沼の倉発電所放流時間 10:00～21:00

別紙2 難分解性有機物調査に係る水質測定結果

*黄色いセルは計算値

調査地点	猪苗代湖				長瀬川	高橋川	小黒川
	湖心	長瀬川沖 500m	高橋川沖 500m	小黒川沖 500m	小金橋	新橋	梅の橋
採取水深(m)	表層						
調査年月日	H29.9.13						
pH	7.3	6.9	7.4	8.0	4.6	7.4	7.6
EC $\mu\text{S}/\text{cm}$	109	106	113	142	142	217	219
BOD mg/L	<0.5	<0.5	<0.5	0.7	<0.5	<0.5	2.3
COD mg/L	1.3	1.4	1.5	2.5	2.6	2.2	3.7
D-COD mg/L	1.2	1.0	1.2	2.0	0.7	1.5	2.8
P-COD mg/L	0.1	0.4	0.3	0.5	1.9	0.7	0.9
D-COD/COD %	92.3	71.4	80.0	80.0	26.9	68.2	75.7
TOC mg/L	0.79	0.80	0.89	1.53	0.59	0.98	1.83
DOC mg/L	0.82	0.84	0.90	1.39	0.59	1.01	1.75
POC mg/L	<0.1	<0.1	<0.1	0.14	<0.1	<0.1	<0.1
DOC/TOC %	103.8	105.0	101.1	90.8	100.0	103.1	95.6
T-N mg/L	0.17	0.19	0.21	0.18	0.33	0.71	0.81
DTN mg/L	0.14	0.17	0.20	0.13	0.25	0.64	0.66
PTN mg/L	<0.05	<0.05	<0.05	0.05	0.08	0.07	0.15
DTN/T-N %	82.4	89.5	95.2	72.2	75.8	90.1	81.5
NO3-N mg/L	0.11	0.10	0.11	<0.05	0.14	0.70	0.73
NO2-N mg/L	<0.05	<0.05	<0.05	<0.05	<0.05	<0.05	<0.05
NH4-N mg/L	<0.05	<0.05	<0.05	<0.05	<0.05	<0.05	<0.05
TP mg/L	<0.003	<0.003	0.004	0.010	0.023	0.044	0.119
DTP mg/L	<0.003	<0.003	<0.003	0.004	<0.003	0.021	0.065
PTP mg/L	<0.003	<0.003	0.004	0.006	0.023	0.023	0.054
DTP/T-P %	-	-	-	40.0	-	47.7	54.6
PO4-P mg/L	<0.003	<0.003	<0.003	<0.003	0.011	0.031	0.110
SS mg/L	<1	<1	<1	1	7	3	2
一般細菌数 個/mL	430	200	120	100	14	1000	1100
UV260 ABS/cm	0.0109	0.0094	0.0178	0.0485	0.0514	0.0509	0.1284
UV260/DOC [(mABS/cm)/(mg/L)]	13	11	20	35	87	50	73
クロロフィルa $\mu\text{g}/\text{L}$	0.8	-	-	-	-	-	-

猪苗代湖生分解試驗結果

生合解説会開催(審査機関有り)

5 猪苗代湖の水温及び電気伝導率の連続測定調査

(1) 目的

猪苗代湖の年間を通じた物質循環を検討する基礎資料を得ることを目的とする。

(2) 調査方法

小型メモリー計測器を調査地点に設置し、水温及び電気伝導率を連続的に測定する。

(3) 調査地点

ア 猪苗代湖湖心

表層、水深 5m、水深 15m、水深 30m

イ 猪苗代湖長瀬川河口沖 300m

水深 5m、水深 10m、水深 15m

(4) 調査時期

ア 猪苗代湖湖心

平成 20 年 4 月 22 日から継続調査中

平成 29 年度調査期間：平成 29 年 5 月 30

日～平成 30 年 3 月 12 日

イ 猪苗代湖長瀬川河口沖 300m

平成 23 年 11 月 22 日から継続調査中

平成 29 年度調査期間：平成 29 年 6 月 27

日～平成 30 年 5 月 16 日

なお、平成 20 年 7 月 31 日～平成 22 年 11 月 3 日の期間は猪苗代湖長瀬川河口沖 1km において測定を行った。

(5) 調査項目

水温及び電気伝導率 (EC)

ただし、EC は猪苗代湖長瀬川河口沖 300m (水深 5m) でのみ測定

(6) 測定方法等

ア 猪苗代湖湖心

平成 28 年度までは、(3) アに記載した水深 4 地点にて小型メモリー計測器 (JFE アドバンテック社製 DEFI-T) を用いてデータ採取間隔 10 分間で水温を連続測定した。

また、平成 29 年度からは Onset 社製 Tidbit v2 を用いてデータ採取間隔 60 分間で水温の連続測定をした。

イ 猪苗代湖長瀬川河口沖 300m

(3) イに記載した水深 3 地点にて、各計測器で採取間隔 10 分間で連続測定を行った。

水深 5m: JFE アドバンテック社製 COMPACT-CT (水温及び電気伝導率)

水深 10m 及び水深 15m : JFE アドバンテック社製 DEFI-T (水温)

(7) 結果及び考察

ア 猪苗代湖湖心における水温連続測定結果

平成 20 年 4 月 22 日から平成 30 年 3 月 12 日 (データ回収の最終日) までの猪苗代湖湖心における層別の日平均水温及び気象庁猪苗代観測所における日平均気温(以下日平均気温)の推移を図 2 に示す。また、平成 29 年度のみのデータを図 3 に示す。

猪苗代湖では、表層 (上層) 水と下層水の間で急激に水温が変化する水温躍層は、例年 7 月前後に水深 10~20m で形成され、10 月には水深 20~30m へ下がる傾向が確認

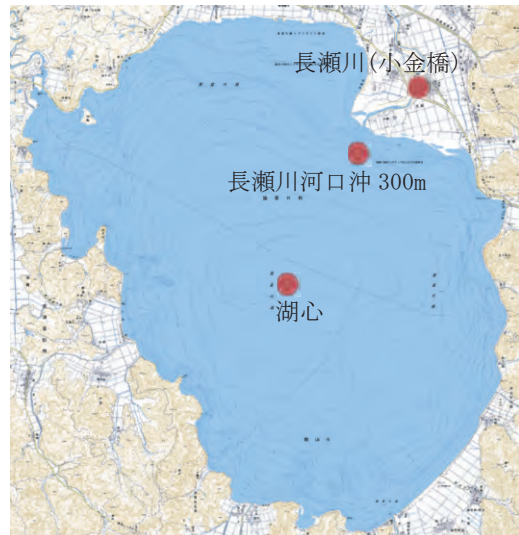


図 1 調査地点

されている。平成 29 年度は、測定開始日の 5 月 30 日の時点ですでに表層及び水深 5m と水深 15m で水温に差があり水温躍層が形成されつつあることを確認した。また、水深 15m は 9 月上旬から水温が上昇し 9 月 15 日には表層の水温と同程度になったことから水温躍層が下がったことを確認した。水深 30m の水温については、測定を開始した 5 月から 10 月中旬まではほぼ一定の値で推移し、その後 10 月 20 日頃から上昇し、11 月 6 日頃には表層等他の水深とほぼ同じ値となり水温躍層の崩壊が確認できた。

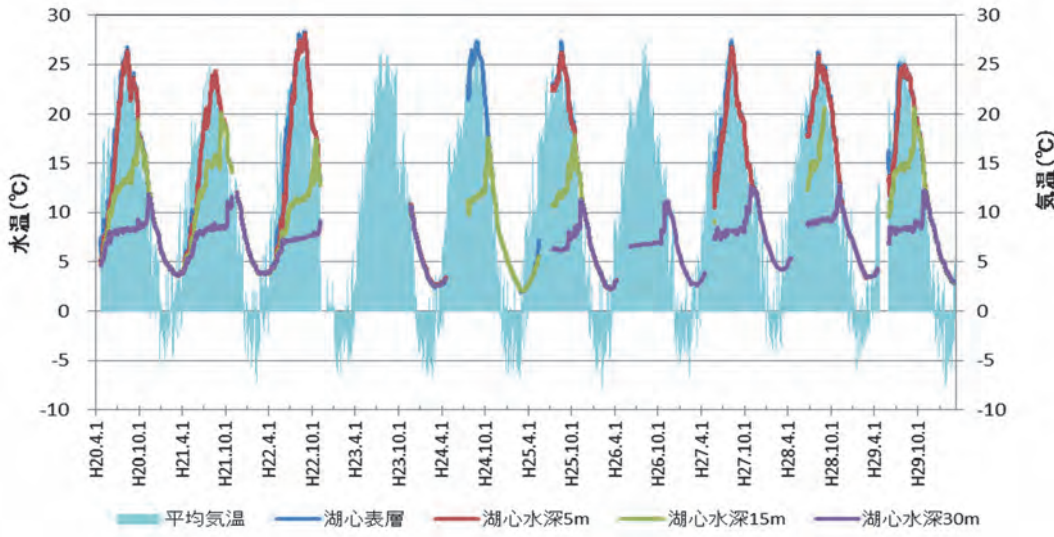


図 2 平成 20 年度から 29 年度における猪苗代湖湖心の層別日平均水温及び日平均気温の関係

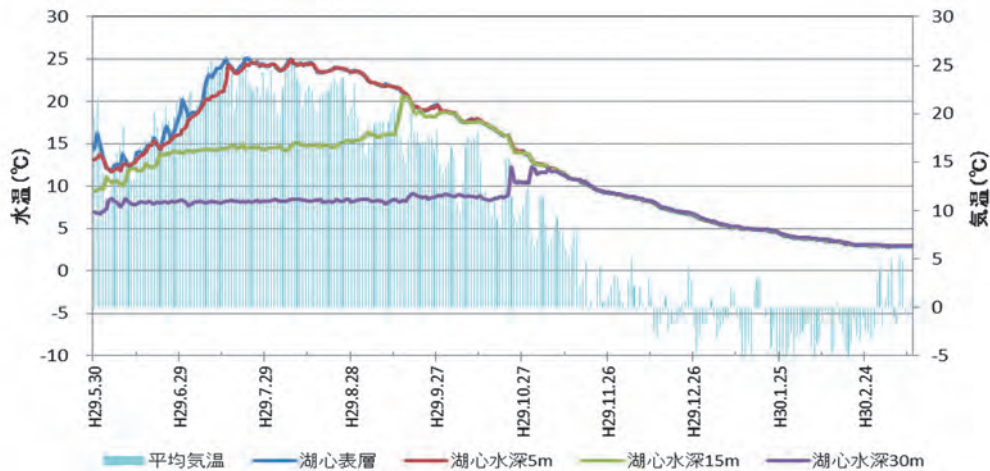


図 3 平成 29 年度における猪苗代湖湖心の層別日平均水温及び日平均気温の関係

各層における年度別の水温の変化を図 4~7 に示す。

各層における経年変化については、表層及び水深 5m は例年と同様で冬の期間（12 月～3 月）を除き気温と連動して変化し、8 月前後を頂点とするグラフとなり、平成 29 年度は 8 月上旬が最も高く、値も例年とほぼ同程度であった。

水深 15m において、8 月中旬から水温が上昇し始め 9 月上旬に急激に上昇していた。例年は、9 月中旬以降に急激な温度上昇がみられていたが、平成 29 年度は若干早めだった。水温上昇前の 7 月～8 月の水温は 13°C～15°C 位であり、過去に水温が高かつた平成 21 年度、28 年度と同程度の値だった。

水深 30mにおいて、測定開始から 10 月中旬まで水温が 8℃台で推移しており、水深 15m と同様に例年より水温が高い傾向にあった。また、水温上昇は 10 月下旬に始まり、過去の結果の平均よりやや遅い時期であった。水温躍層崩壊後における水温は表層等とほぼ同じ温度となり例年と同程度であった。

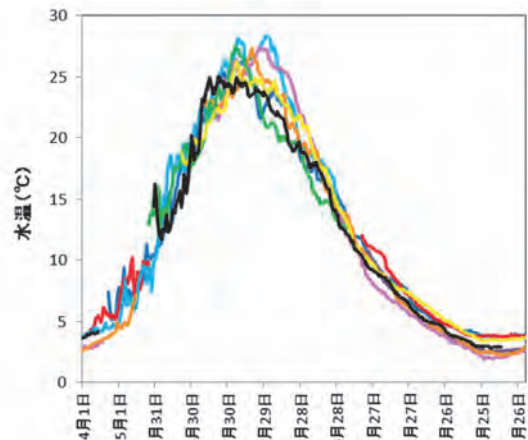


図 4 表層の水温変化 (H20~H29)

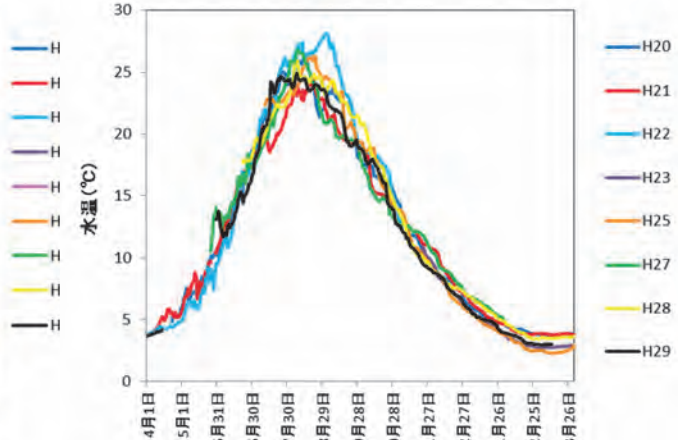


図 5 水深 5m の水温変化 (H20~H29)

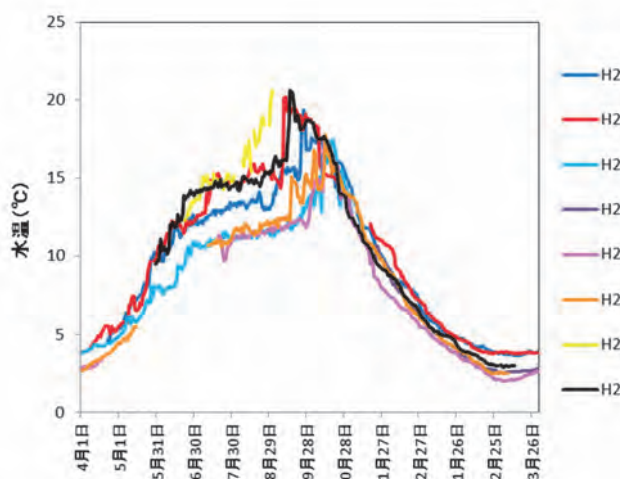


図 6 水深 15m の水温変化 (H20~H29)

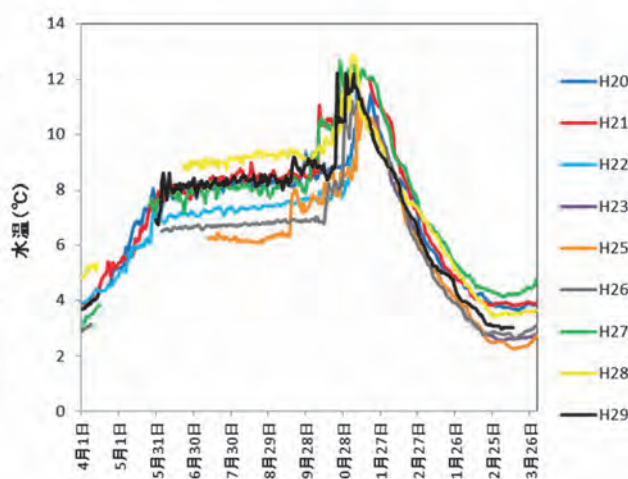


図 7 水深 30m の水温変化 (H20~H29)

イ 猪苗代湖長瀬川河口沖 300m における連続測定結果

平成 23 年 11 月 22 日から平成 30 年 5 月 16 日（データ回収の最終日）までの猪苗代湖長瀬川河口沖 300 m 地点における層別日平均水温及び日平均気温の推移を図 8 に示す。また、平成 29 年度のみのデータを図 9 に示す。

長瀬川河口沖では、例年 5 月中旬から水温躍層が形成され、9 月下旬から 10 月上旬にかけて水温躍層が下降し、11 月上旬には崩壊することが確認されている。しかし、平成 29 年度は、各水深における水温データに大きな差がなく水温躍層の形成を確認することができなかった。また、湖心表層及び水深 5m と同様に 5 月～11 月の間は気温と同様に変化しており、8 月中旬に最高温度となった。

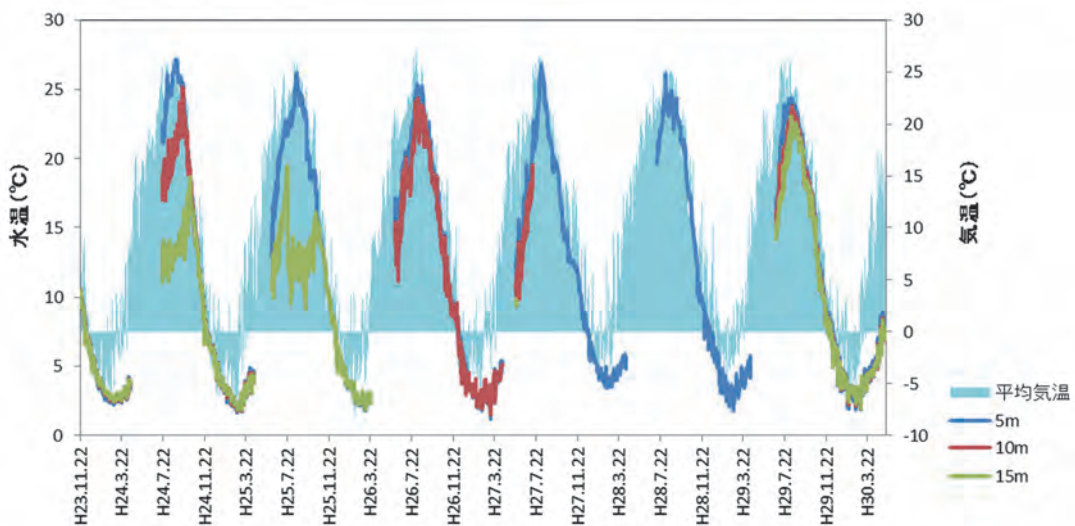


図 8 平成 23 年度から 29 年度における猪苗代湖長瀬川河口沖 300m の層別日平均水温及び日平均気温の関係

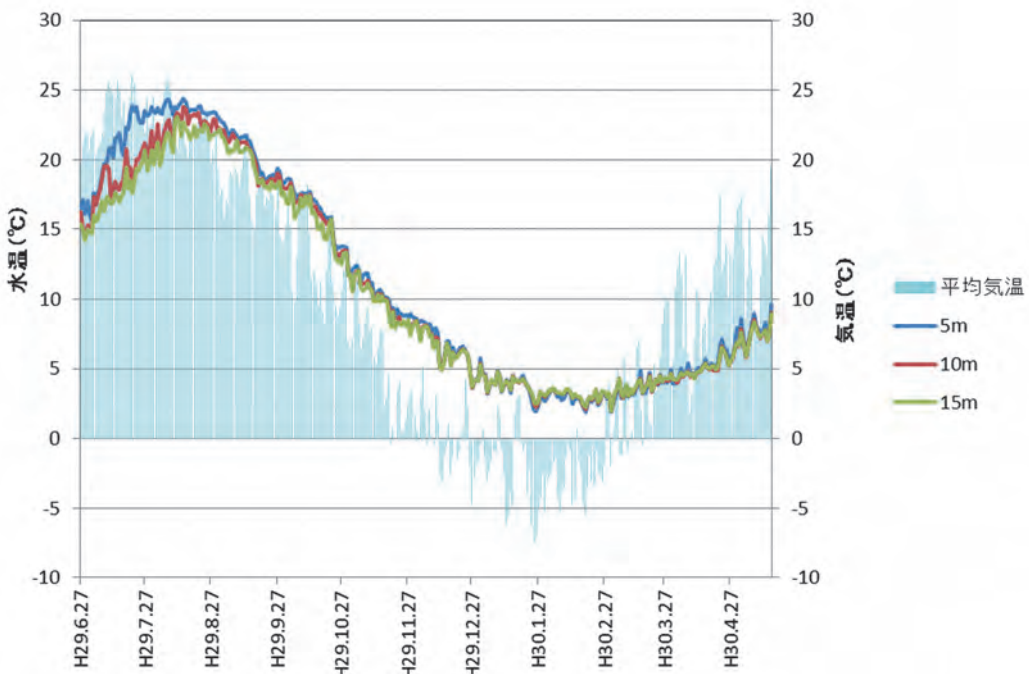


図 9 平成 29 年度における猪苗代湖長瀬川河口沖 300m の水深 5m 日平均水温及び日平均気温の関係

また、水深 5m における日平均水温及び日平均 EC の測定結果（25°C換算値）と、長瀬川河口から約 2km 上流に位置する長瀬川（小金橋）及び猪苗代湖湖心表層における EC（平成 29 年度猪苗代湖及び主要流入河川のイオンバランスの季節変動と経年変化調査結果並びに平成 29 年度猪苗代湖大腸菌群数超過対策調査よりデータを抜粋）の比較を図 10 に示す。なお、長瀬川（小金橋）及び猪苗代湖湖心表層の EC は、試験室で 25°Cにして測定した結果であることから、長瀬川河口沖の EC 連続測定結果は 25°C に換算した値を用いた。

例年と同様、長瀬川河口沖 300m 地点（水深 5m）における EC は、季節に関係なくほぼ一定の値で推移しており、小金橋ではなく湖心（表層）の値に近かった。

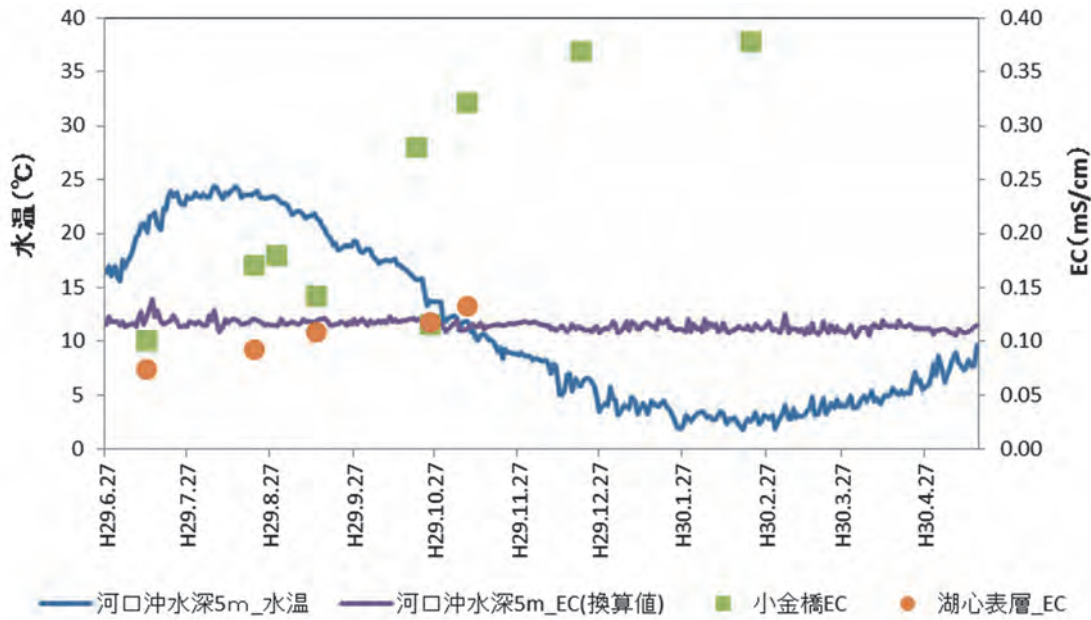


図 10 長瀬川河口沖 300m 地点（水深 5m）における水温及び EC の日平均値と、長瀬川（小金橋）及び湖心表層における EC の比較

$$\text{EC換算式 : } \text{EC}_{25} = \text{EC}_t / \{1 + 0.02(t - 25)\}$$

EC₂₅: EC 25°C 換算値、EC_t: EC 生データ、t: 水温

(8) まとめ

ア 猪苗代湖湖心の調査では、調査開始した 5 月 30 日の時点では水深 5m と水深 15m で温度差があり水温躍層が形成されつつあった。9 月中旬には水深 15m と表層の水温が同程度となり、水温躍層が下がっていることが確認された。10 月 20 日頃より水深 30m の水温が上昇し 11 月上旬には表層等他の水深とほぼ同じ値となったことから、水温躍層の崩壊が確認できた。

また、6 月～10 月における水深 15m 及び水深 30m の水温は、過去の結果と比較してやや高い値であった。

イ 長瀬川河口沖 300m の調査では、各水深（水深 5m、10m、15m）における水温データに大きな差がなく水温躍層の形成を確認することができなかった。

また、水深 5m における EC は、例年と同様、季節に関係なく一定の値であり、猪苗代湖流入前の長瀬川（小金橋）の値より湖心（表層）の値に近かった。

6 凍結防止剤散布影響調査

(1) 目的

猪苗代湖では近年 pH の上昇が問題となっており、その原因の一つとして道路に散布される凍結防止剤の影響が懸念されることから、猪苗代湖及び猪苗代湖流入河川における凍結防止剤の影響に関する項目を調査する。

平成 13、14 年度に同様の調査を実施しており、そのときの調査地点 9 地点と、今回新たに追加した 2 地点の計 11 地点で調査を実施した。調査時期は、凍結防止剤散布がない夏季に 1 回、凍結防止剤が散布される冬季に 4 回実施した。

(2) 調査機関

環境創造センター調査・分析部：現地調査（採水）、分析

水・大気環境課：現地調査（採水）、凍結防止剤使用実態聴き取り

(3) 調査地点

調査地点を図 1 に示す。

- (1) 猪苗代湖 志田浜
- (2) 猪苗代湖 天神浜
- (3) 猪苗代湖 長浜
- (4) 高橋川新橋下流側
- (5) 高橋川磐越道交差
上流側
- (6) 小黒川梅の橋下流側
- (7) 小黒川磐越道交差
上流側
- (8) 長瀬川小金橋下流側
- (9) 長瀬川磐越道交差上流側
- (10) 第二小黒川磐越道交差下流側
- (11) 長瀬川国道 49 号交差下流側



図 1 凍結防止剤影響調査地点

※(1)～(9)の地点は平成 13、14 年度調査と同じ地点、(10)及び(11)の地点は今回新たに追加した地点。

(5)、(7)及び(9)の地点は磐越自動車道及び国道 49 号の上流地点、その他の地点は磐越自動車道と国道 49 号の両方またはいずれか一方の下流地点である。

なお、1～3月の(9)長瀬川磐越道交差上流側は、積雪のため採水地点まで行くことができなかったため、その上流の県道 322 号交差地点で採水した。

(4) 調査時期

夏季 1 回（非散布期：7 月 31 日）

冬季 4 回（散布期：12 月 6 日、1 月 18 日、2 月 19 日、3 月 12 日）

(5) 調査項目

ア 現地調査項目

天候、気温、水温、透視度、色相、臭氣、濁り、流量（河川）、水色（湖）

イ 分析項目

pH、EC、陽イオン (Na^+ 、 K^+ 、 Ca^{2+} 、 Mg^{2+} 、 NH_4^+)、陰イオン (F^- 、 Cl^- 、 SO_4^{2-} 、 NO_3^- 、 NO_2^-)、アルカリ度又は酸度、TOC

ウ　凍結防止剤散布量の使用実態の聴き取り

猪苗代湖流入河川の流域を通る高速自動車道等への凍結防止剤の使用実態について、高速自動車道管理者、国道管理者、自治体及び販売店に聴き取り調査を実施した。

(6) 測定方法

ア pH：イオン電極法

イ EC：交流二電極法

ウ 陽イオン、陰イオン：イオンクロマトグラフ法

エ アルカリ度、酸度：滴定法

オ TOC：燃焼酸化－赤外線分析方式

(7) 結果及び考察

現地調査結果を 155 ページ別紙 1、分析結果を 156 ページ別紙 2 及び凍結防止剤使用量の聴き取り調査結果を 157 ページ別紙 3 に示す。

ア 凍結防止剤使用量について

高速自動車道管理者、国道管理者、自治体及び販売店に聴取した凍結防止剤の月別の道路散布量及び販売量の合計を図 2 及び表 1 に示す。

凍結防止剤は塩化ナトリウム、塩化カルシウムが使用されたが、そのほとんどが塩化ナトリウムであり、道路散布は 10 月から始まっていた。道路散布量と販売量の合計は、1 月が最も多かった。

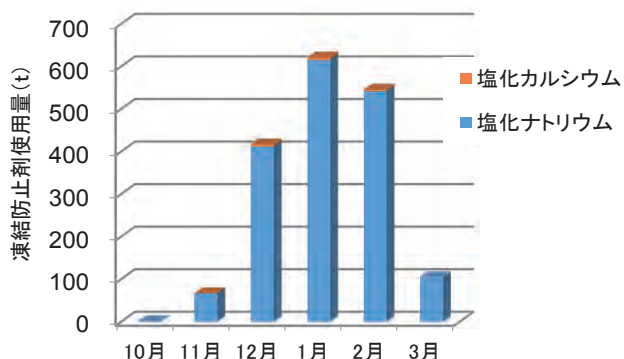


図 2 凍結防止剤の道路散布量と販売量の合計

表 1 凍結防止剤の道路散布量と販売量の合計（単位 t）

年 月 道路散布量 と販売量の合計(t)		29 年 10 月	29 年 11 月	29 年 12 月	30 年 1 月	30 年 2 月	30 年 3 月	合計
成	分	塩化ナトリウム	0.75	66.06	411.12	614.16	541.10	1,737.62
塩化カルシウム	0.00	0.34	5.44	6.28	3.86	0.00	15.92	
合計		0.75	66.40	416.56	620.44	544.96	104.43	1,753.54

イ pH について

各調査地点の pH を図 3～図 6 に示す。

猪苗代湖 3 浜の pH は 6.50～7.48 であった。水質年報（平成 28 年度）によると、猪苗代湖湖心の pH は 6.6～6.9、猪苗代湖天神浜の pH は 6.5～8.3 であり、今回の測定値は、水質年報の測定範囲内であった。pH 値にばらつきがあったため散布期と非散布期での違いは確認できなかった。

高橋川 2 地点の pH は 7.03～7.43、小黒川 3 地点の pH は 7.10～7.54 であった。

水質年報（平成 28 年度）によると、高橋川新橋の pH は 7.1～7.7、小黒川梅の橋の pH は 7.1～7.6 であり、今回の測定値は概ね水質年報の測定範囲内であった。高橋川と小黒川では、下流に比べ上流で流量が小さく pH が高かった。pH の散布期と非散布期の違いは認められなかった。

長瀬川 3 地点の pH は 3.78～6.27 であった。水質年報（平成 28 年度）によると、長瀬川小金橋の pH は 3.4～6.1 であり、今回の測定値は概ね水質年報の測定範囲内であった。長瀬川は火山性の酸性水のため酸性を示すが、発電所の放流水の影響を受けた流量が多い調査日の検体は、pH が高く EC は低くなることが分かっている。今回の調査結果でも同様な傾向が見られ、7 月、1 月及び 3 月で pH が約 6 以上になっている地点は、発電所の放流後に採水した地点であった。

今回の pH の調査結果ではばらつきがあったことから、pH に凍結防止剤の影響があるかは確認できなかった。

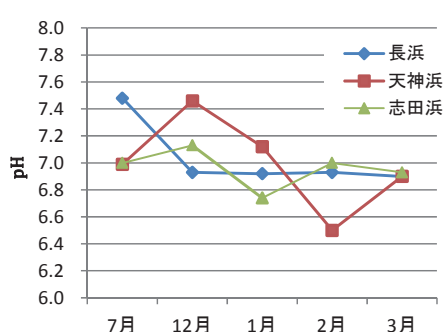


図 3 猪苗代湖 3 浜の pH 推移

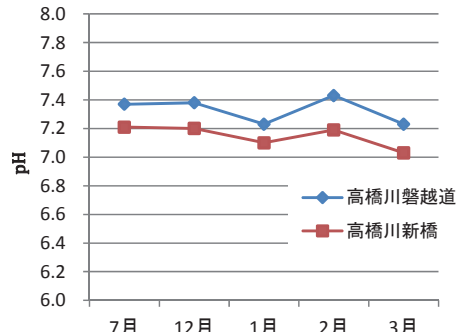


図 4 高橋川の pH 推移

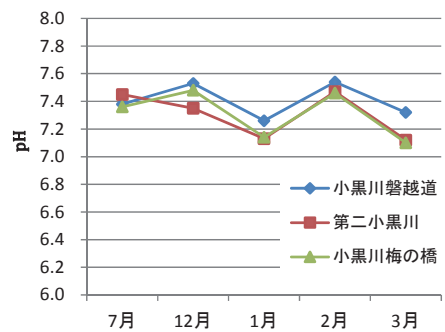


図 5 小黒川の pH 推移

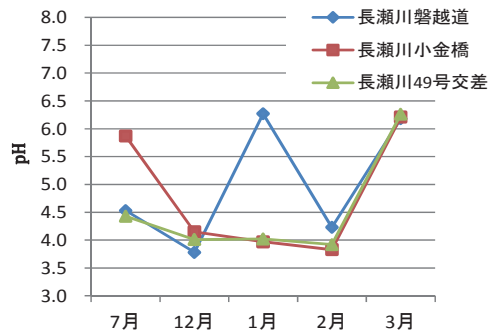


図 6 長瀬川の pH 推移

ウ EC について

各調査地点の EC を図 7～図 10 に示す。

猪苗代湖 3 浜、高橋川の 2 地点及び小黒川の 3 地点の EC は、非散布期より冬季の散布期の方が高くなかった。高橋川と小黒川は上流に対し下流の方がわずかに高い値を示した。

長瀬川 3 地点の EC は発電所の放流水の影響を受けるため、上流と下流の違い、非散布期と散布期の違いは確認できなかった。

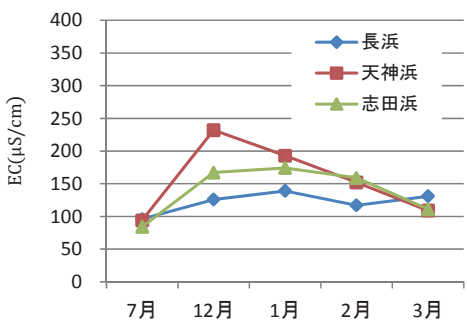


図 7 猪苗代湖3浜のEC推移

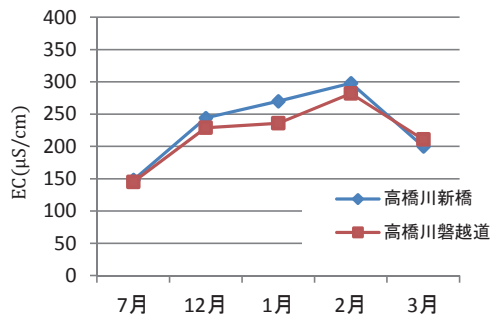


図 8 高橋川のEC推移

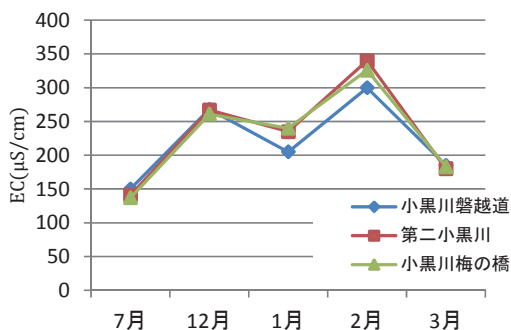


図 9 小黒川のEC推移

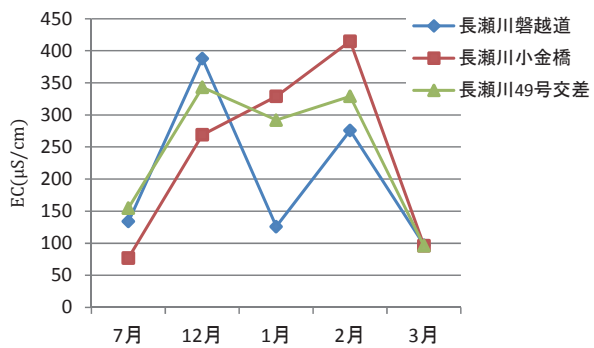


図 10 長瀬川のEC推移

エ アルカリ度について

各調査地点のアルカリ度を図 11～図 13 に示す。なお、酸性である長瀬川はアルカリ度の測定は行わなかった。

猪苗代湖3浜のアルカリ度は $5.30 \sim 42.73 \text{CaCO}_3 \text{mg/L}$ で、天神浜でばらつきがみられた。

高橋川及び小黒川のアルカリ度は $27.85 \sim 58.02 \text{ CaCO}_3 \text{mg/L}$ であった。

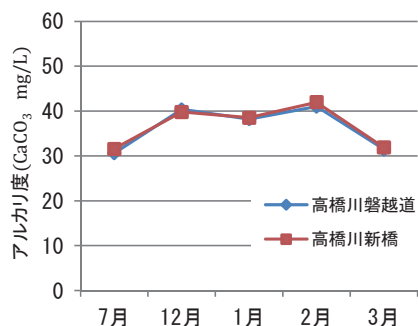


図 12 高橋川のアルカリ度推移

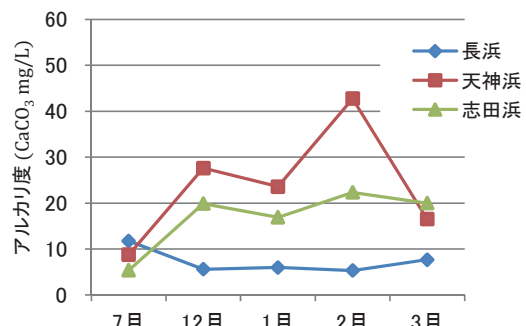


図 11 猪苗代湖3浜のアルカリ度推移

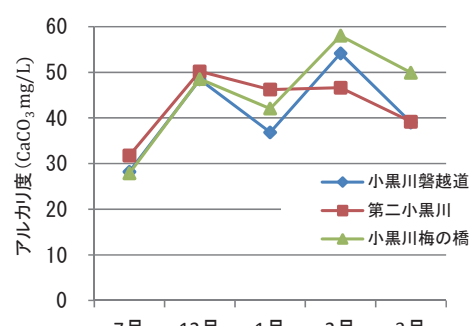


図 13 小黒川のアルカリ度推移

オ 酸度について

長瀬川3地点の酸度を図14に示す。なお、7月の小金橋、1月の県道322号交差地点及び3月の3地点についてはpHが中性付近であったため酸度測定はしなかった。酸度(4.8)は2.53~19.52mg/L、酸度(8.3)は19.42~48.76mg/Lであった。7月及び1月は発電所放流後の採水であったため、酸度が低くなかった。

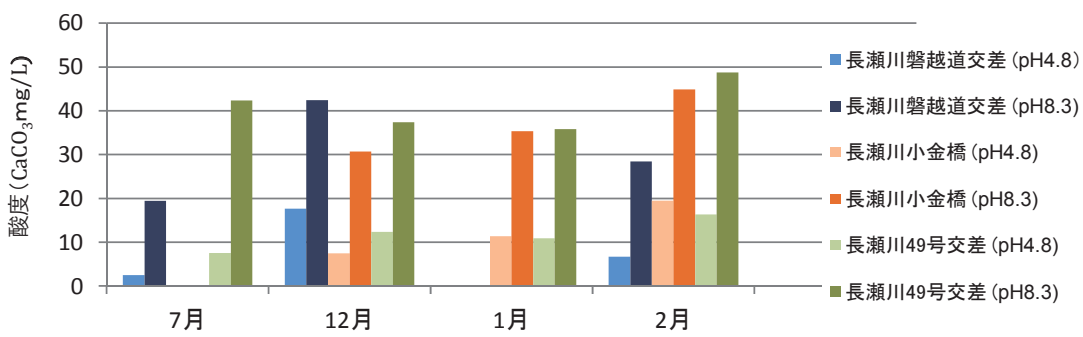


図14 長瀬川の酸度 (pH4.8 及び pH8.3)

カ Na^+ 、 Ca^{2+} 、 Cl^- イオン濃度について

凍結防止剤の主要な成分である Na^+ 、 Ca^{2+} の2つの陽イオン濃度の合計の推移を図15~図18に、 Cl^- イオン濃度の推移を図19~図22に示す。

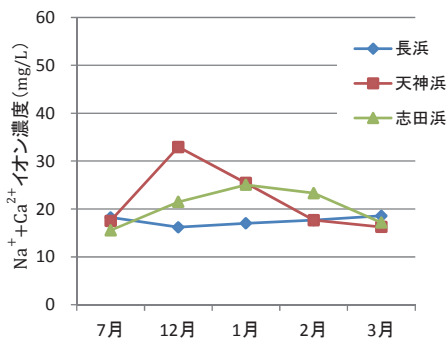


図15 猪苗代湖3浜の $\text{Na}^++\text{Ca}^{2+}$ イオン濃度推移

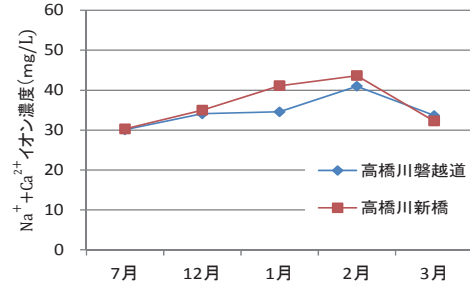


図16 高橋川の $\text{Na}^++\text{Ca}^{2+}$ イオン濃度推移

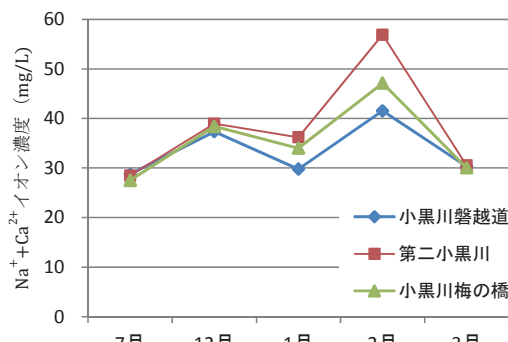


図17 小黒川の $\text{Na}^++\text{Ca}^{2+}$ イオン濃度推移

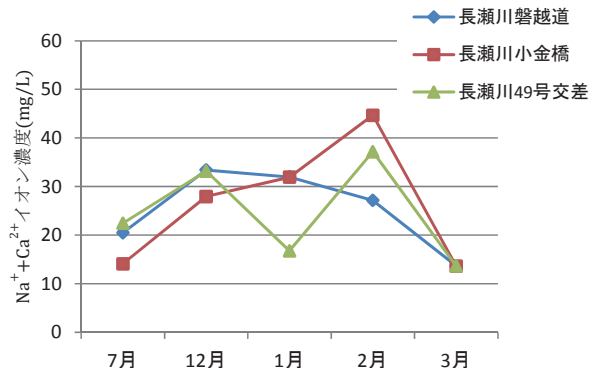


図18 長瀬川の $\text{Na}^++\text{Ca}^{2+}$ イオン濃度推移

猪苗代湖の長浜は変化がなく、天神浜、志田浜は12月以降にイオン濃度がやや上昇したが、3月には減少していた。

高橋川、小黒川は、非散布期に比べて散布期の12月～2月にイオン濃度がやや高かった。また、磐越自動車道と国道49号の下流である高橋川新橋、小黒川梅の橋で濃度が高くなつたことから、散布された凍結防止剤の影響を受けていたと考えられた。3月はいずれの地点も非散布期と同程度となつた。

長瀬川は発電所の放流水の影響を受けた日があったことから、変動が大きかった。

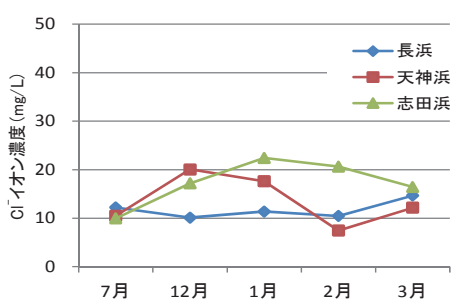


図19 猪苗代湖3浜のCl⁻イオン濃度推移

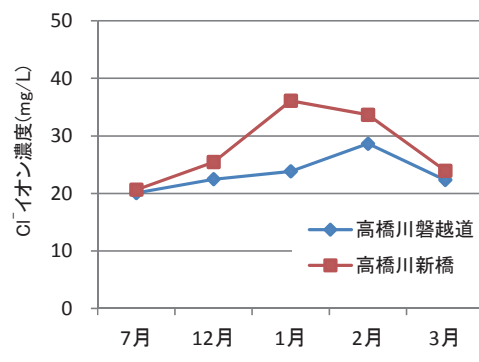


図20 高橋川のCl⁻イオン濃度推移

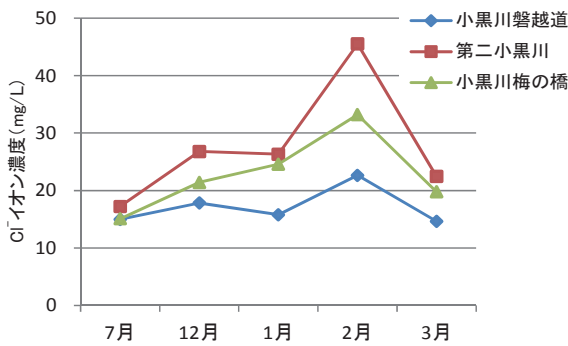


図21 小黒川のCl⁻イオン濃度推移

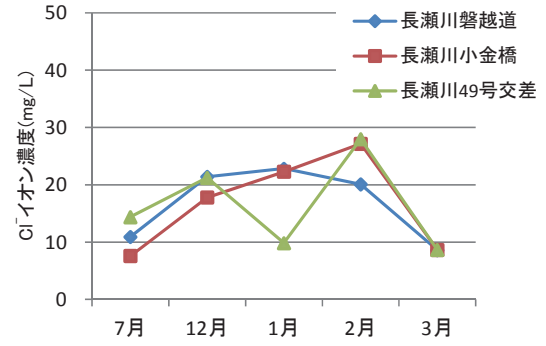


図22 長瀬川のCl⁻イオン濃度推移

キ Na⁺、Ca²⁺及びCl⁻イオン負荷量について

各調査地点のNa⁺及びCa²⁺イオン負荷量の合計を図23及び図24に、Cl⁻イオン負荷量を図25及び図26に示す。

磐越自動車道及び国道49号の下流である高橋川新橋及び小黒川梅の橋ではNa⁺+Ca²⁺イオン負荷量が上流の高橋川磐越道交差上流側及び小黒川磐越道交差上流側に対し7月にはそれぞれ1.4倍、1.7倍であったが、散布期（12月から3月）にはそれぞれ1.2～3.9（平均1.9）倍、3.5～5.4（平成4.5）倍に増大する傾向であった。Cl⁻イオン負荷量についても同様であった。

長瀬川は他の河川より流量が桁違いに多く、流量によってイオン負荷量が大きく変動する上、発電所からの放流水の影響もあるため、散布期と非散布期の違いは確認できなかった。

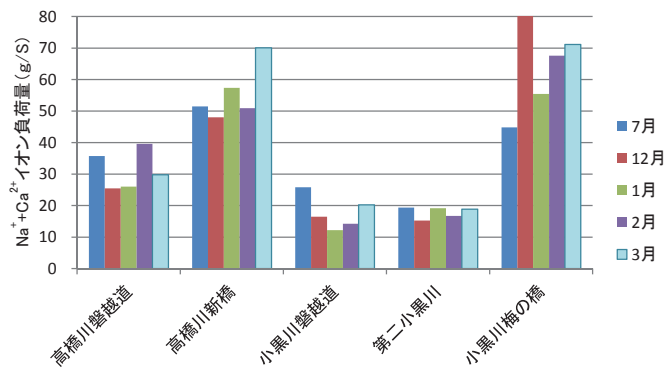


図 23 高橋川、小黒川の $\text{Na}^+ + \text{Ca}^{2+}$ イオン負荷量

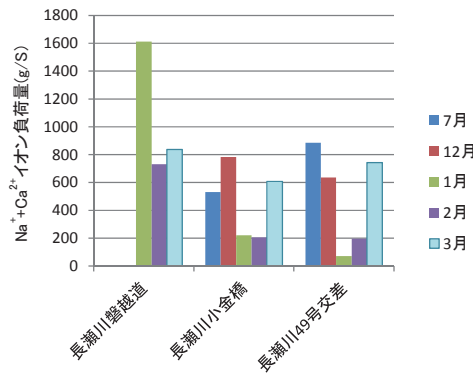


図 24 長瀬川の $\text{Na}^+ + \text{Ca}^{2+}$ イオン負荷量

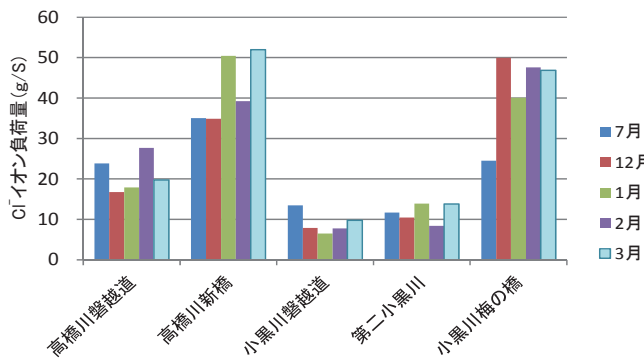


図 25 高橋川、小黒川の Cl^- イオン負荷量

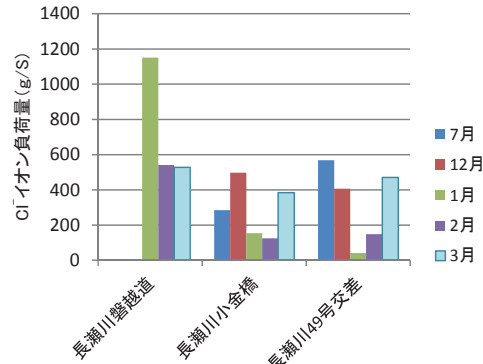


図 26 長瀬川の Cl^- イオン負荷量

ク TOCについて

各調査地点の TOC を図 27～図 30 に示す。TOC は非散布期の方が散布期より高かったが、ばらつきが大きく変動の傾向は確認できなかった。

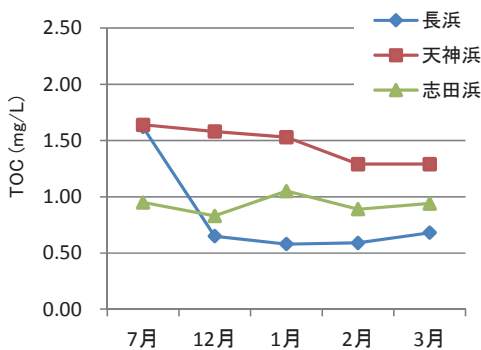


図 27 猪苗代湖 3 浜の TOC 推移

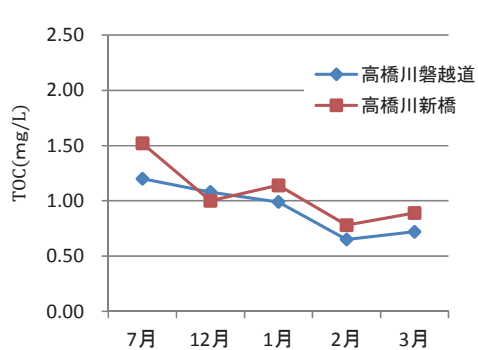


図 28 高橋川の TOC 推移

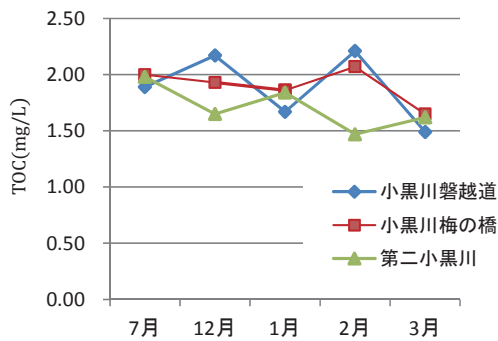


図 29 小黒川の TOC 推移

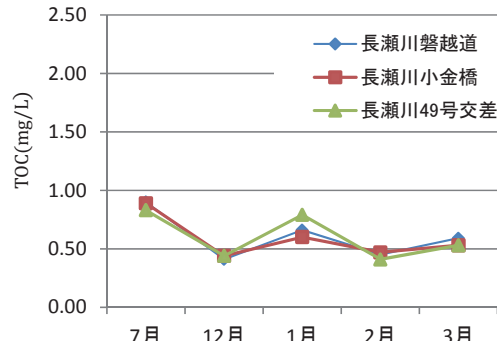


図 30 長瀬川の TOC 推移

(8) まとめ

- ア 凍結防止剤は 10 月から散布され始め、散布量と販売量の合計は 1 月が最大であった。
 - イ pH、アルカリ度、酸度及び TOC ではばらつきがあり、凍結防止剤の散布影響については確認できなかった。
 - ウ EC は猪苗代湖 3 浜、高橋川及び小黒川の磐越自動車道及び国道 49 号の下流地点で、散布期の方が非散布期より高くなった。
 - エ 高橋川、小黒川は、凍結防止剤が散布される磐越自動車道及び国道 49 号の下流地点では、非散布期より散布期の方が Na^+ 、 Ca^{2+} 及び Cl^- のイオン濃度並びにイオン負荷量が高い傾向があり、散布の影響が推察された。
 - オ 長瀬川は他の河川より流量が大きくイオン負荷量も大きいので、湖水への影響も高いと考えられるが、イオン濃度の変動も大きかったことから、散布期と非散布期の違いは確認できなかった。
- このように、本年度調査により、 Na^+ 、 Ca^{2+} 及び Cl^- のイオン濃度並びにイオン負荷量から、高橋川及び小黒川水質への凍結防止剤散布の影響が推察されたが、pH 値に関しては高橋川、小黒川及び猪苗代湖への凍結防止剤散布の有意な影響は確認できなかった。

参考文献

- 1) 蛭田真史、大嶋恵美、八巻孝幸：融雪剤散布による猪苗代湖水質への影響調査について、清らかな湖、美しい猪苗代湖の秘密を探る水環境研究誌、p181-2、2008
- 2) 町田充弥、大嶋恵美、蛭田真史、八巻孝幸：融雪剤散布による猪苗代湖水への影響調査について（最終報）、清らかな湖、美しい猪苗代湖の秘密を探る水環境研究誌、p183-4、2008
- 3) 平成 28 年度水質年報(福島県)

平成29年度凍結防止剤 別紙1

調査地点	猪苗代湖			高橋川		小黒川		第二小黒川		長瀬川		
				新橋	磐越道交差	梅の橋	磐越道交差	磐越道交差	小金橋	磐越道交差	49号交差	
	長浜	天神浜	志田浜	下流側	上流側	下流側	上流側	下流側	上流側	下流側	上流側	下流側
採取水深(m)	0.5	0.5	0.5	0.5	0.5	0.5	0.5	0.5	0.5	0.5	0.5	0.5
調査年月日	H29.7.31											
採水時間	11:50	8.56	9:15	11:11	10.29	12:50	8.55	9:43	11:22	9.53	10.28	
天候(前日)	くもり	くもり	くもり	くもり	くもり	くもり	くもり	くもり	くもり	くもり	くもり	くもり
天候(当日)	晴れ	晴れ	晴れ	晴れ	晴れ	晴れ	晴れ	晴れ	晴れ	晴れ	晴れ	晴れ
気温(℃)	31.5	26.8	26.2	29.9	28.0	31.8	28.5	28.0	33.2	26.0	29.8	
水温(℃)	26.2	26.0	26.6	20.6	19.5	25.2	21.0	22.0	23.0	20.9	22.0	
透視度(cm)	>100	>100	>100	>100	>100	91	77	87	55	80	74	
水色(フォーレル)	3	5	3									
流況				通常	通常	流量大	通常	通常	流量大	流量大	流量大	
色相	無色	無色	無色	無色	無色	無色	無色	無色	無色	茶色	無色	
臭気	無臭	無臭	無臭	無臭	無臭	無臭	微土臭	微土臭	無臭	無臭	無臭	
濁り	透明	透明	透明	透明	透明	透明	透明	透明	透明	微濁	透明	
流量(m ³ /sec)				1.698	1.187	1.627	0.898	0.679	37.733	欠測	39.487	

調査地点	猪苗代湖			高橋川		小黒川		第二小黒川		長瀬川		
				新橋	磐越道交差	梅の橋	磐越道交差	磐越道交差	小金橋	磐越道交差	49号交差	
長浜	天神浜	志田浜	下流側	上流側	下流側	上流側	下流側	下流側	下流側	上流側	下流側	下流側
採取水深(m)	0.5	0.5	0.5	0.5	0.5	0.5	0.5	0.5	0.5	0.5	0.5	0.5
調査年月日	H29.12.6											
採水時間	9:43	9:00	9:20	9:15	9:55	12:00	11:20	10:50	11:12	9:48	10:20	
天候(前日)	雨	雨	雨	雨	雨	雨	雨	雨	雨	雨	雨	
天候(当日)	晴れ	晴れ	晴れ	晴れ	晴れ	晴れ	晴れ	晴れ	晴れ	晴れ	晴れ	
気温(℃)	3.5	1.8	2.8	3.8	0.5	6.4	2.8	4.2	5.0	1.7	2.8	
水温(℃)	7.4	9.2	5.6	6.4	7.2	7.3	7.1	5.4	5.7	4.6	4.8	
透視度(cm)	>100	33	>100	>100	>100	55	>100	>100	66	>100	78	
水色(フォーレル)	7	18	13									
流況				通常	通常	通常	通常	通常	流量大	流量大	通常	
色相	無色	茶色	無色	無色	無色	淡灰黄色	無色	無色	無色	無色	無色	
臭気	無臭	無臭	無臭	無臭	無臭	無臭	無臭	無臭	無臭	無臭	無臭	
濁り	透明	微濁	透明	透明	透明	微濁	透明	透明	透明	透明	透明	
流量(m ³ /sec)				1.373	0.746	2.333	0.440	0.391	28.021	欠測	19.140	

調査地点	猪苗代湖			高橋川		小黒川		第二小黒川		長瀬川		
				新橋	磐越道交差	梅の橋	磐越道交差	磐越道交差	小金橋	磐越道交差	49号交差	
長浜	天神浜	志田浜	下流側	上流側	下流側	上流側	下流側	下流側	下流側	上流側	下流側	
採取水深(m)	0.5	0.5	0.5	0.5	0.5	0.5	0.5	0.5	0.5	0.5	0.5	
調査年月日	H30.1.18											
採水時間	8:30	10:27	9:55	8:48	9:50	11:30	11:00	10:20	8:25	11:14	9:08	
天候(前日)	みぞれ	みぞれ	みぞれ	みぞれ	みぞれ	みぞれ	みぞれ	みぞれ	みぞれ	みぞれ	みぞれ	
天候(当日)	くもり	雨	くもり	くもり	くもり	くもり	雨	雨	くもり	雨	くもり	
気温(℃)	4.6	2.0	4.0	4.2	3.0	5.0	4.2	4.5	5.0	3.0	2.5	
水温(℃)	4.6	1.5	4.4	5.1	4.8	4.4	3.8	4.1	3.5	2.4	3.5	
透視度(cm)	>100	54	>100	>100	72	64	74	63	>100	87	>100	
水色(フォーレル)	17	19	13									
流況				通常	通常	通常	通常	通常	流量少	流量大	通常	
色相	黄褐色	無色	無色	無色	無色	無色	無色	無色	無色	無色	無色	
臭気	無臭	無臭	無臭	無臭	無臭	無臭	無臭	無臭	無臭	無臭	無臭	
濁り	透明	濁	透明	透明	透明	透明	透明	透明	透明	透明	透明	
流量(m^3/sec)				1.396	0.752	1.629	0.410	0.528	6.907	50.399	4.190	

調査地点	猪苗代湖			高橋川		小黒川		第二小黒川		長瀬川		
				新橋	磐越道交差	梅の橋	磐越道交差	磐越道交差	小金橋	磐越道交差	49号交差	
長浜	天神浜	志田浜		下流側	上流側	下流側	上流側	下流側	下流側	上流側	下流側	
採取水深(m)	0.5	0.5	0.5	0.5	0.5	0.5	0.5	0.5	0.5	0.5	0.5	
調査年月日	H30.2.19											
採水時間	9:02	10:06	9:10	9:30	10:12	12:38	11:50	11:20	11:13	12:03	10:33	
天候(前日)	晴れ	晴れ	晴れ	晴れ	晴れ	晴れ	晴れ	晴れ	晴れ	晴れ	晴れ	
天候(当日)	くもり	くもり	くもり	くもり	くもり	晴れ	くもり	くもり	くもり	晴れ	くもり	
気温(℃)	-1.4	-2.6	-2.4	-2.0	-1.5	1.8	2.8	2.3	-0.4	0.3	-0.6	
水温(℃)	2.8	0.0	0.0	2.4	1.6	2.3	4.1	1.5	0.0	0.2	0.0	
透視度(cm)	>100	24	73	80	71	39	32	66	>100	>100	>100	
水色(フォーレル)	16	14	13									
流況				通常	通常							
色相	無色	無色	無色	無色	無色	淡黄色	無色	無色	無色	無色	無色	
臭気	無臭	無臭	無臭	無臭	微下水臭	無臭	無臭	無臭	無臭	無臭	無臭	
濁り	透明	微濁	微濁	透明	微濁	微濁	透明	透明	透明	透明	透明	
流量(³ /sec)				1.168	0.967	1.422	0.242	0.202	1.557	26.942	5.292	

調査地点	猪苗代湖			高橋川		小黒川		第二小黒川		長瀬川		
				新橋	磐越道交差	梅の橋	磐越道交差	磐越道交差	小金橋	磐越道交差	49号交差	
長浜	天神浜	志田浜		下流側	上流側		下流側	上流側		下流側	上流側	下流側
採取水深(m)	0.5	0.5	0.5	0.5	0.5	0.5	0.5	0.5	0.5	0.5	0.5	0.5
調査年月日	H30.3.12											
採水時間	9:00	11:50	11:25	9:17	10:20	11:40	11:10	10:40	10:02	9:10	10:39	
天候(前日)	晴れ	晴れ	晴れ	晴れ	晴れ	晴れ	晴れ	晴れ	晴れ	晴れ	晴れ	晴れ
天候(当日)	雪	くもり	くもり	くもり	くもり							
気温(℃)	1.7	0.8	1.8	1.7	0.0	2.2	1.1	2.0	1.1	1.9	1.9	1.2
水温(℃)	3.6	0.9	3.4	4.5	4.6	4.6	4.6	3.4	2.0	2.0	2.0	1.6
透視度(cm)	>100	42	49	>100	>100	>100	>100	>100	>100	>100	96	83
水色(フォーレル)	15	16	15									
流況				流量大	流量大	通常	通常	通常	流量大	流量大	流量大	
色相	無色	無色	無色	無色	無色	無色	無色	無色	無色	無色	無色	無色
臭気	無臭	無臭	無臭	無臭	無臭	無臭	無臭	無臭	無臭	無臭	無臭	無臭
濁り	透明	透明	微濁	透明	透明	透明	透明	透明	透明	透明	透明	透明
流量(m^3/sec)				2.171	0.884	2.368	0.667	0.619	44.559	61.259	54.463	

平成29年度凍結防止剤散布調査

別紙2

調査地点	単位	猪苗代湖			高橋川		小黒川		第二小黒川		長瀬川		
		新橋		磐越道交差		梅の橋		磐越道交差		磐越道交差		小金橋	
		下流側	上流側	下流側	上流側	下流側	上流側	下流側	上流側	下流側	上流側	下流側	
採取水深(m)		0.5	0.5	0.5	0.5	0.5	0.5	0.5	0.5	0.5	0.5	0.5	
調査年月日		H29.7.31											
pH		7.48	6.99	7.00	7.21	7.37	7.36	7.38	7.45	5.87	4.53	4.43	
EC	$\mu\text{S}/\text{cm}$	96	94	84	148	145	137	150	141	77	134	155	
アルカリ度	mgCaCO_3/L	11.75	8.75	5.37	31.58	30.61	27.85	28.22	31.74	2.50	0	0	
酸度(4.8)	mgCaCO_3/L									2.53	7.54		
酸度(8.3)	mgCaCO_3/L									19.42	42.36		
TOC	mg/L	1.62	1.64	0.95	1.52	1.20	2.00	1.89	1.98	0.89	0.90	0.83	
Na^+	mg/L	9.75	8.10	7.40	17.10	16.99	14.17	15.11	15.17	6.20	7.90	9.16	
K^+	mg/L	2.18	1.97	1.68	3.14	3.13	2.88	2.89	2.87	1.44	1.85	2.22	
Ca^{2+}	mg/L	8.49	9.42	8.15	13.20	13.09	13.35	13.65	13.29	7.88	12.57	13.26	
Mg^{2+}	mg/L	2.49	2.32	2.12	3.81	3.82	3.49	3.58	3.47	1.85	2.62	3.17	
NH_4^+	mg/L	<0.01	0.03	<0.01	0.02	<0.01	0.11	0.16	0.03	<0.01	<0.01	0.02	
F^-	mg/L	0.13	0.14	0.13	0.07	0.05	0.12	0.15	0.08	0.09	0.23	0.32	
Cl^-	mg/L	12.19	10.49	9.97	20.63	20.07	15.08	14.98	17.22	7.55	10.92	14.39	
SO_4^{2-}	mg/L	25.94	28.05	27.53	24.91	26.14	31.23	34.15	28.48	30.02	49.85	66.82	
NO_3^-	mg/L	0.25	0.32	0.61	2.13	2.40	0.97	0.93	1.16	0.67	0.71	0.98	
NO_2^-	mg/L	<0.01	<0.01	<0.01	0.01	<0.01	0.03	0.06	0.01	<0.01	<0.01	<0.01	

調査地点	単位	猪苗代湖			高橋川		小黒川		第二小黒川		長瀬川		
		新橋		磐越道交差		梅の橋		磐越道交差		磐越道交差		小金橋	
		下流側	上流側	下流側	上流側	下流側	上流側	下流側	上流側	下流側	上流側	下流側	
採取水深(m)		0.5	0.5	0.5	0.5	0.5	0.5	0.5	0.5	0.5	0.5	0.5	
調査年月日		H29.12.6											
pH		6.93	7.46	7.13	7.20	7.38	7.48	7.53	7.35	4.15	3.78	4.01	
EC	$\mu\text{S}/\text{cm}$	126	232	167	244	229	261	268	267	269	388	343	
アルカリ度	mgCaCO_3/L	5.58	27.60	19.88	39.82	40.39	48.51	48.44	50.20	0	0	0	
酸度(4.8)	mgCaCO_3/L									7.49	17.64	12.33	
酸度(8.3)	mgCaCO_3/L									30.68	42.41	37.35	
TOC	mg/L	0.65	1.58	0.83	1.00	1.08	1.93	2.17	1.65	0.44	0.41	0.44	
Na^+	mg/L	7.71	16.47	11.04	20.51	19.03	21.31	20.13	23.54	11.87	14.26	14.07	
K^+	mg/L	1.71	3.31	1.61	3.47	3.60	3.91	4.08	3.59	2.62	3.09	3.06	
Ca^{2+}	mg/L	8.47	16.49	10.45	14.47	15.07	17.11	17.22	15.42	16.07	19.15	19.11	
Mg^{2+}	mg/L	2.18	4.17	2.46	4.31	4.59	5.07	5.17	4.64	3.93	4.75	4.69	
NH_4^+	mg/L	0.02	0.03	0.01	0.04	<0.01	0.78	1.10	0.14	0.01	0.01	0.01	
F^-	mg/L	0.14	0.14	0.11	0.04	0.26	0.36	0.10	0.36	0.47	0.46		
Cl^-	mg/L	10.11	20.06	17.17	25.42	22.45	21.42	17.83	26.78	17.76	21.39	21.25	
SO_4^{2-}	mg/L	27.17	35.03	16.52	18.01	20.32	26.85	32.06	16.15	75.22	96.90	94.09	
NO_3^-	mg/L	0.74	1.47	1.88	2.99	3.92	2.55	2.18	3.31	0.90	1.00	1.02	
NO_2^-	mg/L	<0.01	<0.01	0.01	0.01	0.05	0.03	0.03	0.01	<0.01	<0.01	<0.01	

調査地点	単位	猪苗代湖			高橋川		小黒川		第二小黒川		長瀬川		
		新橋		磐越道交差		梅の橋		磐越道交差		磐越道交差		小金橋	
		下流側	上流側	下流側	上流側	下流側	上流側	下流側	上流側	下流側	上流側	下流側	
採取水深(m)		0.5	0.5	0.5	0.5	0.5	0.5	0.5	0.5	0.5	0.5	0.5	
調査年月日		H30.1.18											
pH		6.92	7.12	6.74	7.10	7.23	7.14	7.26	7.13	3.97	6.27	4.02	
EC	$\mu\text{S}/\text{cm}$	139	193	174	270	236	240	205	235	329	126	292	
アルカリ度	mgCaCO_3/L	5.96	23.57	16.90	38.52	38.22	42.03	36.83	46.22	0	5.82	0	
酸度(4.8)	mgCaCO_3/L								11.35		10.90		
酸度(8.3)	mgCaCO_3/L								35.32		35.80		
TOC	mg/L	0.58	1.53	1.05	1.14	0.99	1.86	1.67	1.84	0.60	0.66	0.79	
Na^+	mg/L	8.32	13.18	14.50	26.14	19.56	19.22	15.54	21.59	14.07	14.10	7.76	
K^+	mg/L	1.73	2.44	1.87	3.40	3.48	3.44	3.42	3.48	3.10	3.11	1.69	
Ca^{2+}	mg/L	8.69	12.24	10.55	14.96	15.03	14.79	14.25	14.60	17.86	17.87	8.99	
Mg^{2+}	mg/L	2.24	3.21	2.41	4.29	4.38	3.85	3.62	4.10	4.36	4.37	2.15	
NH_4^+	mg/L	<0.01	0.12	0.07	0.07	0.04	0.24	0.21	0.16	0.03	0.03	<0.01	
F^-	mg/L	0.14	0.16	0.13	0.05	0.05	0.14	0.18	0.09	0.47	0.47	0.10	
Cl^-	mg/L	11.38	17.61	22.44	36.11	23.82	24.58	15.77	26.32	22.26	22.84	9.85	
SO_4^{2-}	mg/L	27.57	28.76	16.98	22.84	24.60	22.12	26.17	16.21	84.99	84.84	29.75	
NO_3^-	mg/L	0.73	0.92	1.88	2.64	3.08	2.46	1.84	2.76	1.02	1.09	0.64	
NO_2^-	mg/L	<0.01	<0.01	0.02	0.02	0.01	0.02	0.02	0.01	<0.01	<0.01	<0.01	

調査地点	単位	猪苗代湖			高橋川		小黒川		第二小黒川		長瀬川		
		新橋		磐越道交差		梅の橋		磐越道交差		磐越道交差		小金橋	
		下流側	上流側	下流側	上流側	下流側	上流側	下流側	上流側	下流側	上流側	下流側	
採取水深(m)		0.5	0.5	0.5	0.5	0.5	0.5	0.5	0.5	0.5	0.5	0.5	
調査年月日		H30.3.12											
pH		6.90	6.90	6.93	7.03	7.23	7.10	7.32	7.12	6.21	6.18	6.26	
EC	$\mu\text{S}/\text{cm}$	131	109	111	200	211	183	185	180	96	97	96	
アルカリ度	$\text{mg$												

別紙3		平成29年度凍結防止剤使用量（聴き取り調査による集計）									
										単位:t	
凍結防止剤 使用量	成分	H29. 10	H29. 11	H29. 12	H30. 1	H30. 2	H30. 3		合計		
道路散布量	塩化ナトリウム	0.75	66.06	411.12	614.16	541.10	104.43		1,737.62		
	塩化カルシウム	0.00	0.00	3.00	2.50	2.00	0.00		7.50		
小売店販売量	塩化ナトリウム	0.00	0.00	0.00	0.00	0.00	0.00		0.00		
	塩化カルシウム	0.00	0.34	2.45	3.78	1.86	0.00		8.42		
合計	塩化ナトリウム	0.75	66.06	411.12	614.16	543.10	104.43		1,739.62		
	塩化カルシウム	0.00	0.34	5.45	6.28	3.86	0.00		15.92		
計（塩化ナトリウム+塩化カルシウム）		0.75	66.40	416.56	620.44	544.96	104.43		1,753.54		

注) 道路散布量は、猪苗代湖流入河川の流域を通る道路への散布機関である高速自動車道管理者、国道管理者、県土木事務所からの聴取に基づき算出した。また、小売店販売量は当該流域の主な小売店からの聴取によった。

7 裏磐梯五色沼湖沼群の湖水の化学的な成分に関する調査結果（第7報）

目的

裏磐梯五色沼湖沼群を対象にした水質調査は、福島大学千葉ら¹⁾が1985年に実施して以来急減していたため、本調査は現在の水質の状況を把握することを目的に2011年より継続して実施してきた。本報はこれら過去7年間の調査結果をまとめたものである。

また、猪苗代湖と同様に、五色沼湖沼群においても大腸菌群数が環境基準(A類型:1,000 MPN/100mL)を超過するなど水質悪化が懸念されるため、大腸菌群数と水質との関係についても考察を行った。

なお、2017年で本調査は終了となるため、千葉らが実施した1985年調査との比較や過去7年間の経年変化についても考察を行ったので報告する。

(1) はじめに

五色沼湖沼群は、1888年の磐梯山の噴火による山体崩壊で川がせき止められるなどして形成され、流入している火山性の水や磐梯山の深層地下水、浅層地下水などから構成されている。千葉ら(1985年)は五色沼湖沼群の表流水を辿ることにより、銅沼系(銅沼→スキ一場湧水→緑沼→瑠璃沼→青沼→弁天沼)、柳沼系(もうせん沼→弥六沼→父沼→母沼→柳沼→石倉沼)、竜沼系(竜沼→深泥沼→毘沙門沼)及びそれらに属しない赤沼等に分類された。

本報は、福島県環境創造センター(旧環境センター)等が、2011年から2017年の過去7年間にかけて年1回(6月、8月又は11月)実施した調査結果を取りまとめ、千葉らの調査結果との比較をするとともに過去7年間の調査結果の経年変化について考察を行った。

(2) 調査内容

ア 調査年月日

1回目: 2011年11月14日(銅沼等の3地点は11月8日)

2回目: 2012年6月19日(銅沼等の3地点は6月15日)

3回目: 2013年8月27日(銅沼等の3地点は8月26日)

4回目: 2014年11月11日(銅沼等の3地点は11月7日)

5回目: 2015年6月9日(銅沼等の3地点は6月4日)

6回目: 2016年9月7日※(銅沼等の3地点は8月16日)

※2016年調査は台風の影響で9月に延期して実施した。

7回目: 2017年11月14日(銅沼等の3地点は11月6日)

イ 調査地点

調査は15湖沼等での流入・流出の地点別を含む全22地点で実施した(表1、図1)。

ただし、2014年調査は11湖沼等15地点で実施した。表1における地点名称の*印が2014年に調査を実施しなかった7地点を示している。

湖沼の調査では原則として、それぞれの流入水と流出水を採水することとしたが、植生や底泥等により流入水(又は流出水)の採水が困難な地点は、流入地点(又は流出地点)付近の湖沼内の水を採取した。また、表流水の流入が確認できない銅沼、赤沼、流入地点付近への到達が著しく困難な瑠璃沼、もうせん沼は、沼の中央部又は流出地点付近の1箇所とした。

以下、本文中の図における調査地点は表 1 の地点番号で示す。

表 1 地点番号と採水地点

No.	地点名称	備考	No.	地点名称	備考
1	銅沼	銅沼系	12	柳沼流入部 *	柳沼系
2	無名沼 *	銅沼系	13	柳沼流出部 *	柳沼系
3	スキー場湧水	銅沼系	14	石倉沼 *	柳沼系
4	瑠璃沼流出部 *	銅沼系	15	竜沼流入部	竜沼系
5	青沼流入部 *	銅沼系	16	竜沼流出部	竜沼系
6	青沼流出部	銅沼系	17	深泥沼流入部	竜沼系
7	弁天沼流入部 *	銅沼系	18	深泥沼流出部	竜沼系
8	弁天沼流出部	銅沼系	19	毘沙門沼流入部	竜沼系
9	もうせん沼	柳沼系	20	毘沙門沼流出部	竜沼系
10	弥六沼流入部	柳沼系	21	赤沼	その他
11	弥六沼流出部	柳沼系	22	長瀬川美術館前	—

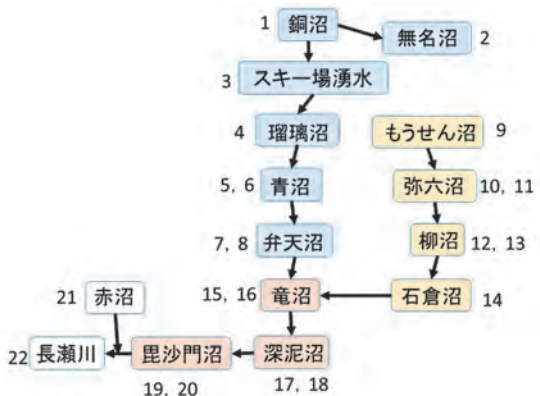


図 1 各地点の位置関係

ウ 調査機関（2017 年調査）

現地調査及び採水：会津地方振興局、福島県環境創造センター

分析：福島県環境創造センター

エ 調査項目及び測定方法

調査項目及び測定方法は 173 ページ付表 1 のとおり。調査項目のうち、大腸菌群数は原則として各湖沼の 1 地点（流出部）とした。

(3) 結果と考察

調査の結果は、174 ページ付表 2「平成 29 年度結果一覧表」のとおり。

ア 湖沼群の主要成分について

図 2～9 に 1985 年調査及び 2011 年～2017 年調査における各地点の主要成分濃度を示す。

どの年度も全湖沼でアニオンでは硫酸イオン、カチオンではカルシウムイオンが主要成分となっている。

しかし 1985 年調査と比較すると、硫酸イオンもカルシウムイオンもほとんどの地点で濃度が減少している。特に標高の高い銅沼は硫酸イオンの減少が著しい。銅沼は噴気孔に近く、そこから供給される硫黄化合物の供給量が減少したことにより、硫酸イオン濃度が減少したものと推測される。なおイオン構成比率に大きな変化はなかつ

た。また2011年以降は著しい変化はみられなかった。(項目ごとの経年変化は後述する。)

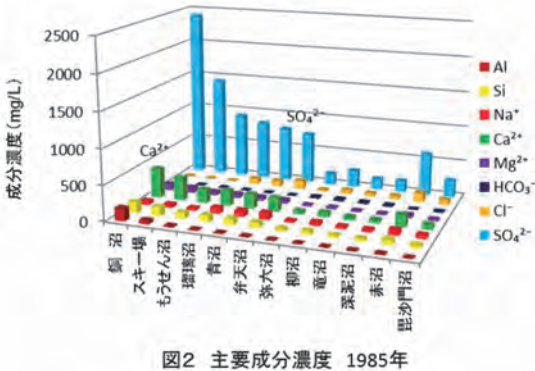


図2 主要成分濃度 1985年

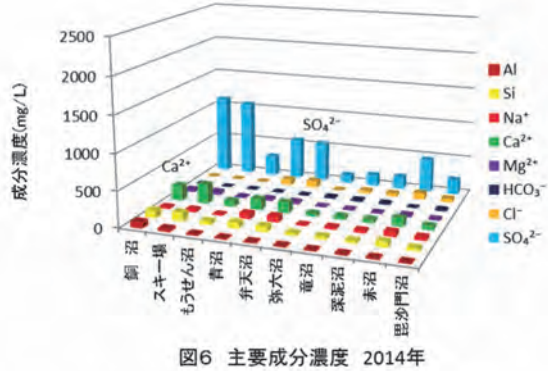


図6 主要成分濃度 2014年

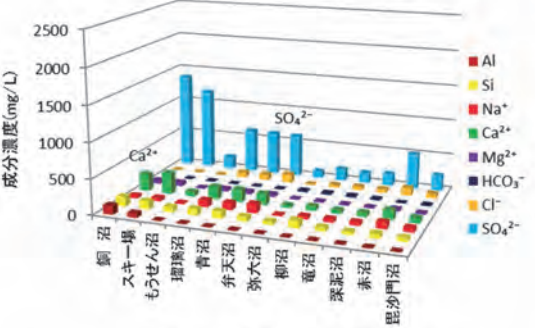


図3 主要成分濃度 2011年

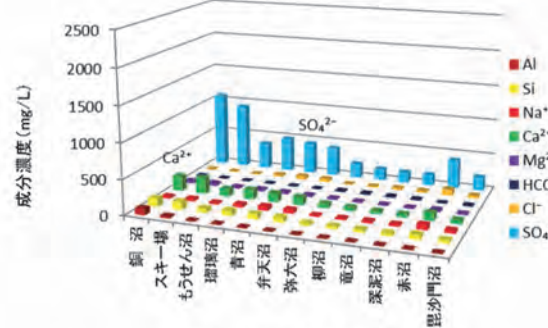


図7 主要成分濃度 2015年

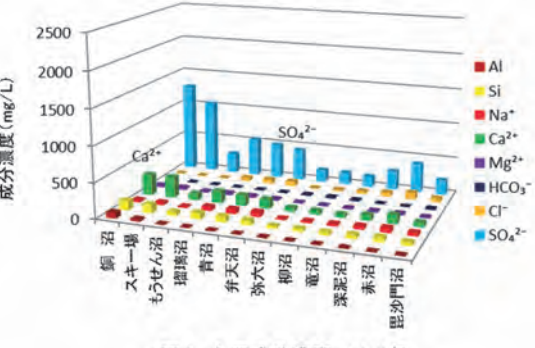


図4 主要成分濃度 2012年

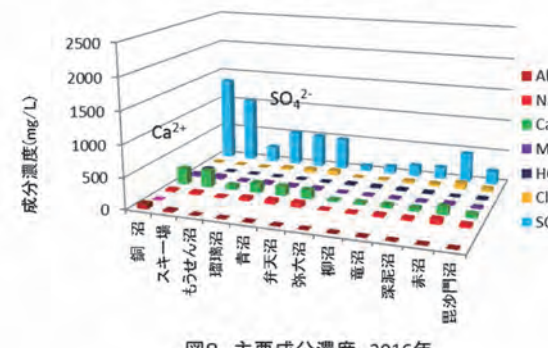


図8 主要成分濃度 2016年

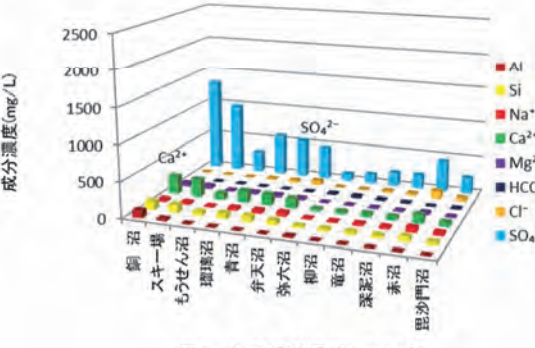


図5 主要成分濃度 2013年

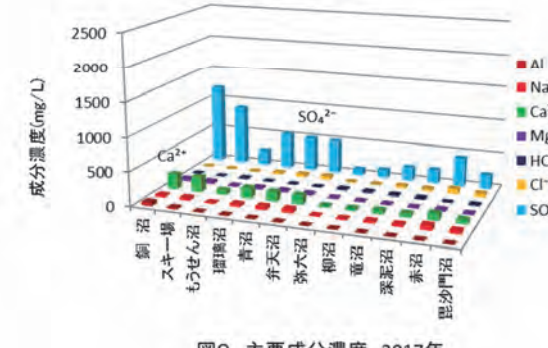


図9 主要成分濃度 2017年

イ 各調査項目の結果と考察

(ア) pH

図 10 に pH の経年変化を示す。

pH は柳沼流出部 (No.13) と深泥沼流出部 (No.18) を除く地点で 1985 年が最も低い pH 値を示している。

2011 年からの経年変化を見ると青沼流出部 (No.6) 、弁天沼 (No.7、No.8) 、もうせん沼 (No.9) 、深泥沼流出部 (No.18) で変動が見られたが、年々上昇しているというような傾向は見られなかった。

その他の地点については横ばいであった。



図10 pH値

(イ) EC

EC は、銅沼系と赤沼で高く、相対的に柳沼系及び竜沼系湖沼は低い値であった。

(図 11)

この傾向は 7 年間変わっていない。

また経年変化を見ると無名沼以外はほぼ横ばいである。

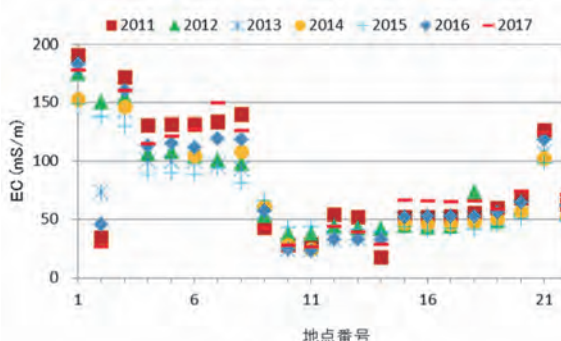


図11 電気伝導率 EC

(ウ) DO

図 12 に DO の経年変化を示す。どの地点も多少の変動はあったが、7 年間で大きな変化は見られなかった。

また図 13 に DO の季節変動を示した。本調査は 2 年おきに調査月を変えており、6 月調査 (2012 年、2015 年) 、8 月調査 (2013 年、2016 年) 、11 月調査 (2011 年、2014 年、2017 年) の異なる季節で実施している。調査月毎の平均値を見てみると、ほとんどの地点で水温の低い 11 月は DO 値が高く、水温の高い 8 月は DO 値が低くなる傾向を示していた。6 月の DO 値は 8 月と 11 月の間にあることが多かつたが、多少の変動は水温の影響によるものと思われる。

また赤沼（No.21）は、DO値の低い状態が続いているが、これは赤沼が表流水の流入・流出に乏しく、酸素が溶け込みにくいためであると推察する。

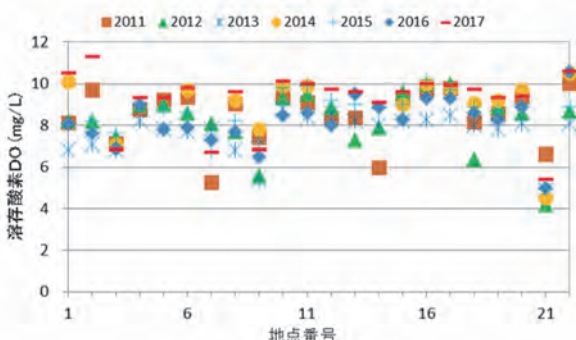


図12 溶存酸素 DO

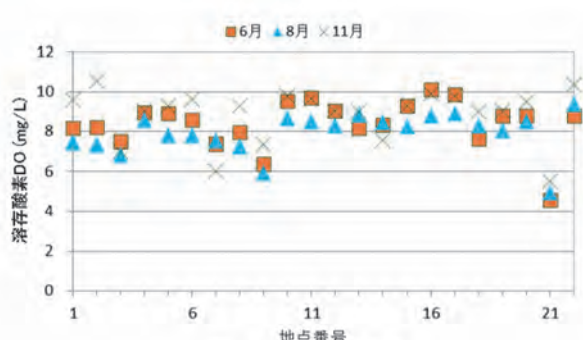


図13 DOの季節変動

(エ) COD, TOC

COD及びTOCはいずれも有機物の指標として用いられる。

図14にCODの経年変化を示す。赤沼（No.21）以外の湖沼については7年間で大きな変化は見られなかった。

赤沼は年によってばらつきが大きい。赤沼は表流水の流入・流出に乏しい沼なので、調査前や調査時の気象状況（降雨など）に影響を受けているのではないかと思われる。

もうせん沼を除く柳沼系（No.10～No.14）は例年他の湖沼よりCODが高い傾向がある。柳沼系は他の湖沼に比べて有機物の生産活動が活発であると考えられる。

また、TOCの経年変化を図15に示した。TOCはCODと同じような挙動を示していた。



図14 COD

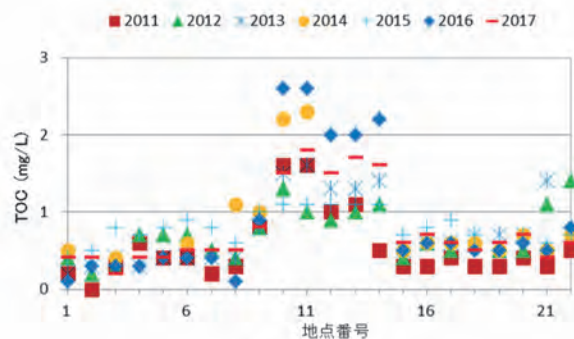


図15 TOC

(オ) T-P, T-N及びクロロフィルa

全リン（T-P）の経年変化を図16に示す。単発的に高くなる地点もあるが、年々上昇したり低下したりという傾向は見られず、同じような数値で推移している。また、季節変動も見られなかった。



図16 全リン

図17に全窒素（T-N）の経年変化を示す。

全窒素は年度毎にばらつきが見られるが、2017年の銅沼（No.1）の全窒素は0.43mg/Lであり、これまでの調査で最も高かった。銅沼は2016年調査でも他の地点に比べて高い値を示していた。



図17 全窒素

また、2011年から2015年まで5年間実施したクロロフィルaの経年変化を図18に示す。クロロフィルaは藻類の存在の指標になるものである。クロロフィルaは数値にはばらつきがあり、季節変動も見られなかった。

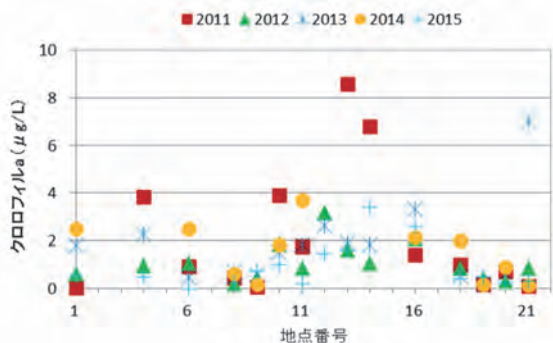


図18 クロロフィルa

(カ) アルカリ度及び酸度

アルカリ度は、水中に含まれている炭酸水素塩や炭酸塩、水酸化物などのアルカリ分を表す指標である。

図19にアルカリ度の経年変化を示す。7年間大きな変動はなく、特徴としては、銅沼系湖沼及び赤沼で低く、弥六沼流入地点（No.10）から下流域の地点で高い値を示している。千葉らは、炭酸水素イオンを含むNa-C1型地下水の存在について言及

しており、もうせん沼（No.9）から弥六沼（No.10、No.11）に至る水系のいずれかで、このNa-Cl型地下水が流入していると考えられる。

また、赤沼（No.21）は、銅沼系、柳沼系及び竜沼系湖沼のいずれにも属しておらず、アルカリ性の地下水の流入が少ないため、上流の酸性の水が希釀されずに流れ込んでいるものと考えられる。

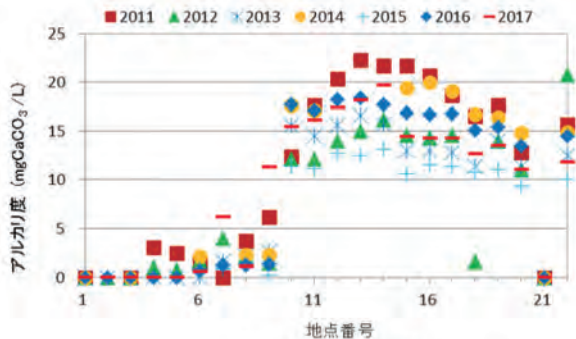
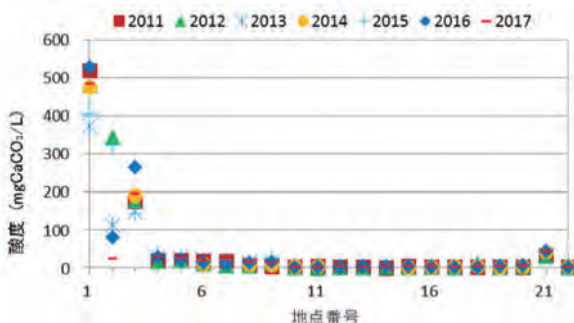


図19 アルカリ度

酸度は水中に含まれている炭酸、鉱酸又は有機酸などの酸分を表す指標である。図20に酸度の経年変化を示す。その値は柳沼系及び竜沼系湖沼で低く、銅沼系は高い値を示している。特に銅沼（No.1）、無名沼（No.2）及びスキーチ場湧水（No.3）の3地点の値が高く、火口から供給される火山性の水質の影響によるものと推察される。



(イ) ケイ素

図20 酸度

ケイ素は2011年から2015年にかけて5年間調査を行った。ケイ素をケイ酸SiO₂として求め、図21に経年変化を示した。

無名沼（No.2）や柳沼流出部（No.13）で数値が単発的に変動する年度もあったが、その他の地点については横ばいであった。

ケイ素は標高の高い地点で高い値を示していた。

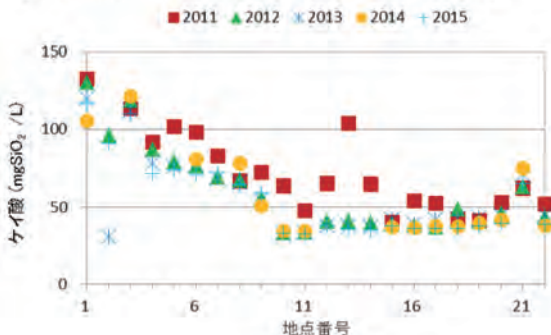


図21 ケイ酸

(ク) 蒸発残留物

蒸発残留物の経年変化を図 22 に示す。1985 年調査で数値の高かった銅沼 (No.1) やもうせん沼 (No.9) は 2011 年調査で著しく減少し、その後はほぼ横ばいである。またその他の地点については減少又は横ばいである。

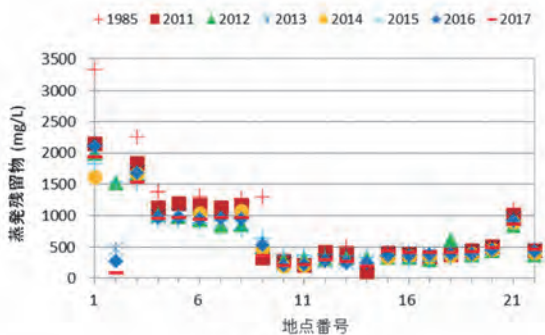


図22 蒸発残留物

(ケ) イオン成分

五色沼湖沼群において最大の溶存成分は硫酸イオンである。図 23 に経年変化を示した。

各地点ともに多少の濃度変動はあるものの、1985 年調査と比べると濃度は減少して推移している。

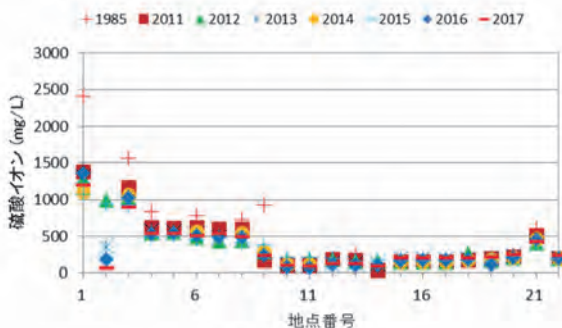


図23 硫酸イオン

また、硫酸イオンの多くは 2 倍カチオンと塩を生成することから、カルシウムイオン、マグネシウムイオン及びアルミニウム、鉄、マンガンの金属成分を合計したイオン当量濃度と硫酸イオン当量濃度を比較した結果、両者のイオン当量数はおよそ 1 対 1 で相関が見られた (図 24)。

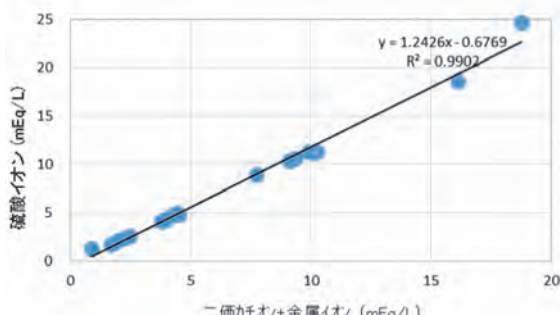


図24 硫酸イオン当量濃度と(金属+2価カチオン)イオン当量濃度との関係(2017年)

なお、カルシウム及びマグネシウムイオンは硫酸イオンに連動して濃度低下が見られた（図 25、図 26）。

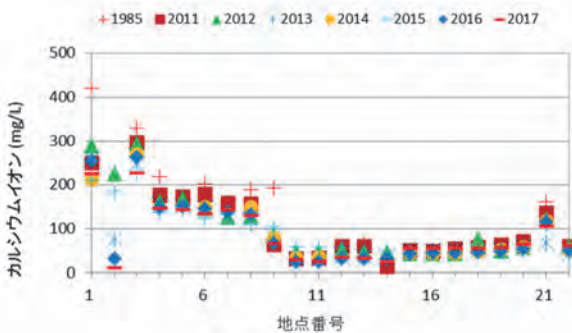


図25 カルシウムイオン

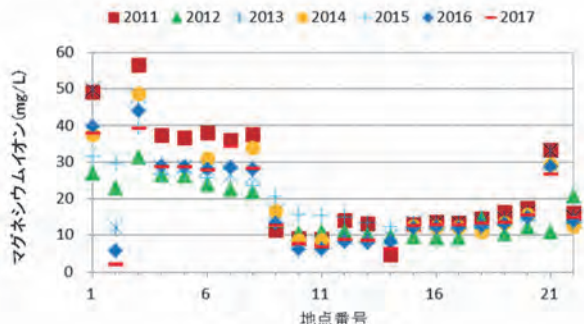


図26 マグネシウムイオン

ナトリウムイオン、カリウムイオン、塩化物イオンの経年変化を図 27、図 28、図 29 に示す。どの項目も 2011 年の濃度が少し高めだが、その後はあまり変化することなく推移している。

またどの年度も下流になるにつれて濃度が上昇する傾向にあり、銅沼系及び柳沼系湖沼でこの傾向が見られた。これらの物質は地下水から供給されているものと思われる。

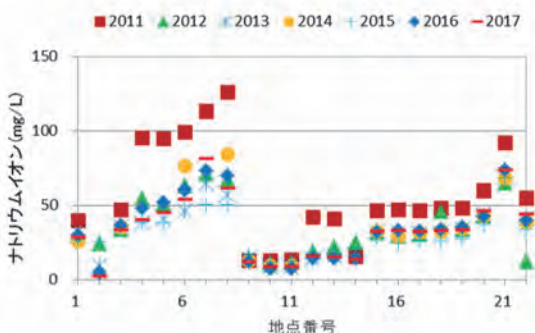


図27 ナトリウムイオン

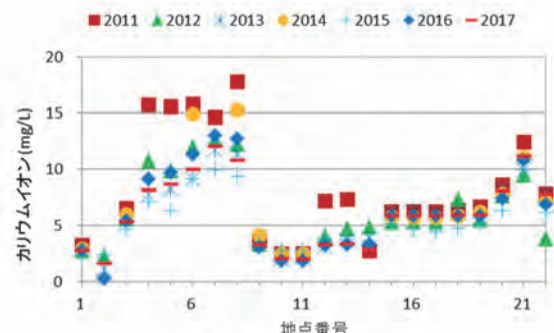


図28 カリウムイオン

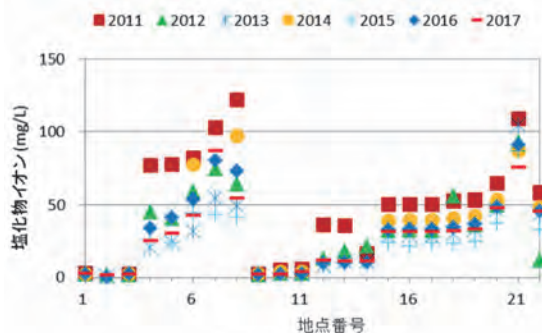


図29 塩化物イオン

(コ) 金属成分

金属成分の経年変化を図 30～33 に示す。金属成分は上流の銅沼系に存在し、下流の柳沼系及び竜沼系では、ほとんど検出されていない。最も含有濃度の高い金属成分はアルミニウムであった。

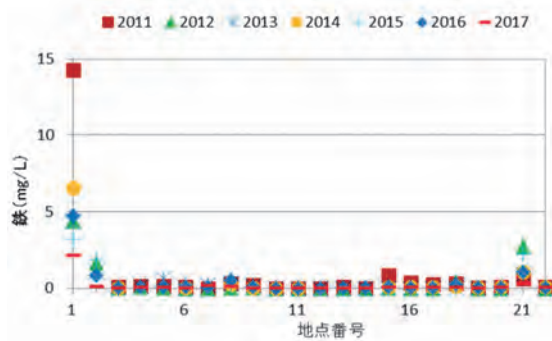


図30 鉄

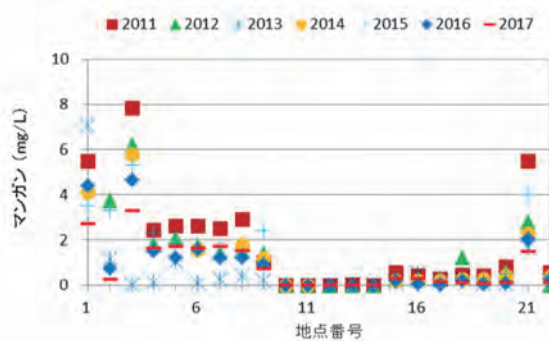


図31 マンガン

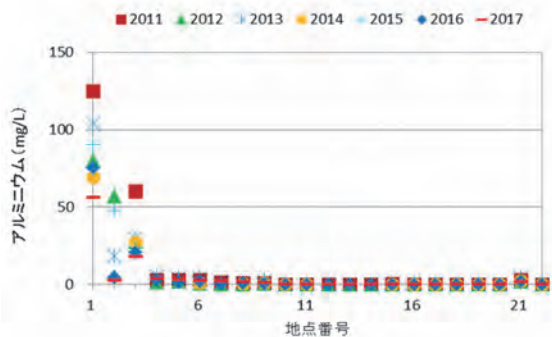


図32 アルミニウム

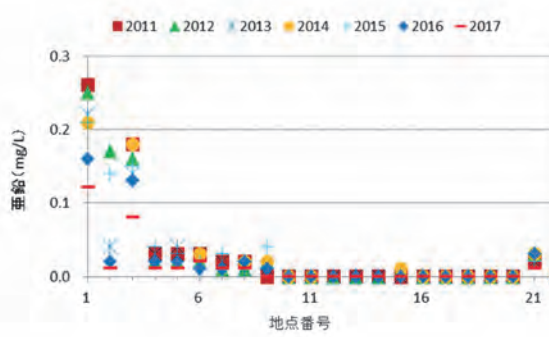


図33 亜鉛

また、硫酸イオンと金属成分の間に正の相関がみられたことから（図24）、上流で金属成分の濃度が高い要因の一つに、硫酸イオンが関係していると考えられる。（表2、図34）

噴気孔から供給される硫黄化合物が周囲の岩石から金属成分を溶出させるため、標高の高い湖沼で金属成分濃度が高い結果となったと考えられる。そして、溶出した金属成分はpHの上昇により不溶化し、湖底などに沈殿するため、柳沼系及び竜沼系湖沼の濃度が低かったものと推察される。

表2 硫酸イオンと金属成分の相関係数

	Al	Fe	Mn	Zn
相関係数	0.82	0.57	0.86	0.91

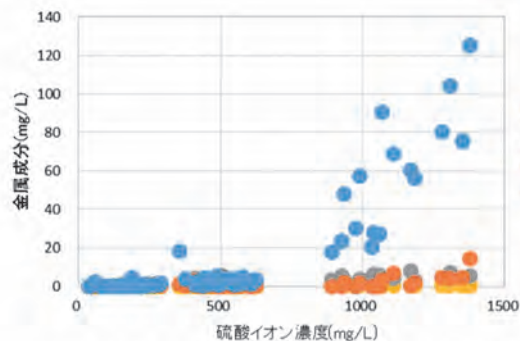


図34 金属成分濃度と硫酸イオン濃度(2011~2017年)

エ 大腸菌群数と水質の関係

大腸菌群調査の経年変化を図35に示す。

過去7年間の調査によると、大腸菌群数は銅沼系湖沼では低く、柳沼系及び竜沼系は高い傾向にあり環境基準A類型1000MPN/100mLを超える地点もいくつか見られる。

2012年調査の石倉沼や2016年調査の長瀬川など単発的に高くなった年度もあったが、いずれの地点も上昇傾向にあるとは考えられなかった。

また2014年調査からは大腸菌検査も併せて実施しているが、いずれの地点からもほぼ検出されておらず、糞便汚染の可能性は低いと思われる。

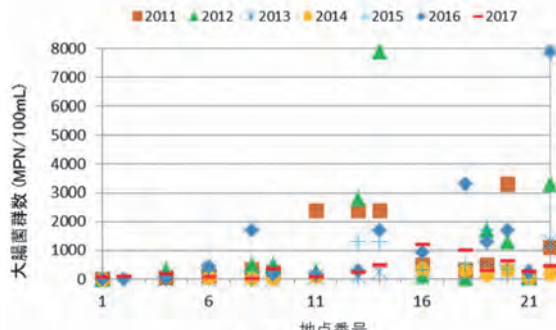


図35 大腸菌群数

(ア) pHとの関係

2011年から2017年調査のデータを用いた散布図(図36)では、pHと大腸菌群数との間に正の相関(相関係数R=0.67)が見られた。

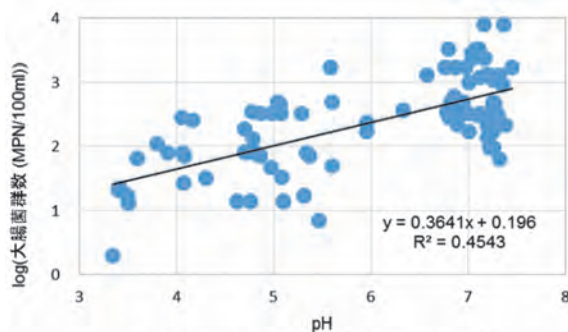


図36 pHと大腸菌群数(2011～2017年)

(イ) 水温との関係

一般的に、水温及び気温が高い方が大腸菌群数は増加する傾向にあるが、水温と大腸菌群数の相関は見られなかった。

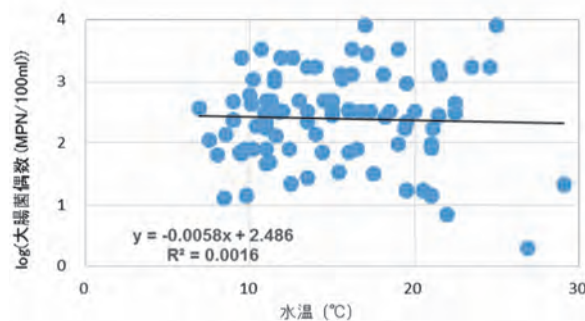


図37 水温と大腸菌群数(2011～2017年)

(ウ) COD 及び TOC との関係

水中に有機物が存在すると、大腸菌の生育しやすい環境となる。そこで水中の有機物の指標となる COD 及び TOC と大腸菌群数の比較を行ったが、水温と同様に、両者の間に相関性は確認できなかった（図 38、39）。

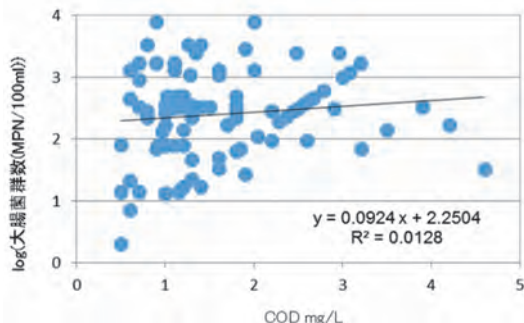


図38 CODと大腸菌群数(2011～2017年)

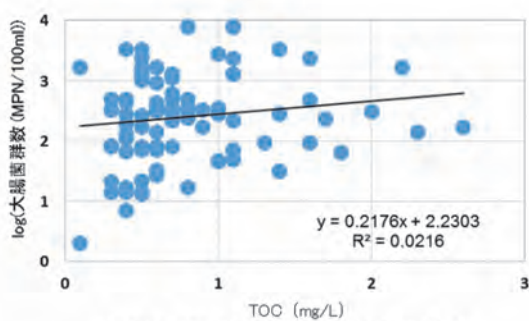


図39 TOCと大腸菌群数(2011～2017年)

(エ) イオン成分との関係

五色沼湖沼群の主要な成分である硫酸イオンと大腸菌群数との相関では負の相関（相関係数 $R=-0.59$ ）が見られた（図 40）。硫酸イオンはカルシウムイオン、マグネシウムイオンとも相関が強い成分であるため硫酸塩として大腸菌群に対して抑制的作用を有しているものと考えられる。

前述したが、硫酸イオン濃度は 1985 年調査と比較すると低下しているので、硫酸イオン濃度低下の影響による大腸菌群数の増加が懸念される。

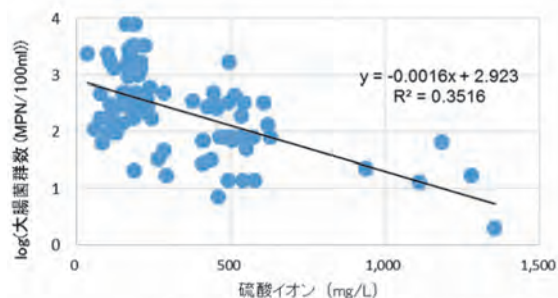


図40 硫酸イオンと大腸菌群数(2011～2017年)

炭酸水素イオンについては、正の相関（相関係数 $R=0.63$ ）が確認できた（図 41）。

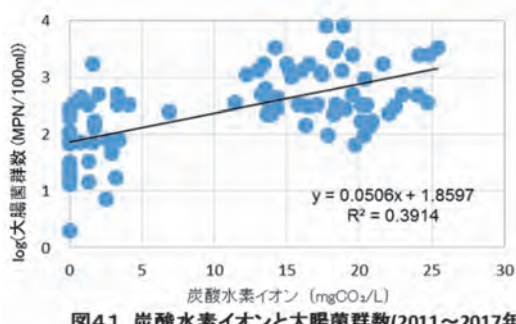


図41 炭酸水素イオンと大腸菌群数(2011～2017年)

(4) まとめ

千葉らの 1985 年調査結果との比較や 7 年間の調査結果の経年変化について考察を行った。

ア 裏磐梯五色沼湖沼群の主要成分は硫酸イオンとカルシウムイオンであり、1985 年調査から変化しておらず、その他の成分構成比についても 1985 年と同様であった。主要成分濃度は、最も標高の高い位置にある銅沼で高く、最下流の毘沙門沼に下るにつれて、減少する傾向にある。また、1985 年調査と比較し、全体的に濃度の低下が見られた。

イ pH は 1985 年調査時より上昇している地点が多かったが、2011 年以降は大きな変動は見られなかった。1985 年調査時と比べて pH が上昇したり、主要成分濃度の低下したのは、火山性の水質の供給量低下の影響によるものと思われる。

ウ 2011 年から 2017 年の調査では、大きく濃度変化があった項目はなく、この 7 年間では水質に大きな変化はなかった。

エ 2011 年から行った大腸菌群数の調査では、環境基準 A 類型 1000MPN/100mL を超える地点が数地点あった。しかし環境基準超過の地点数が年々増加したり、大腸菌群数の数が年々増加しているといった傾向は見られなかった。

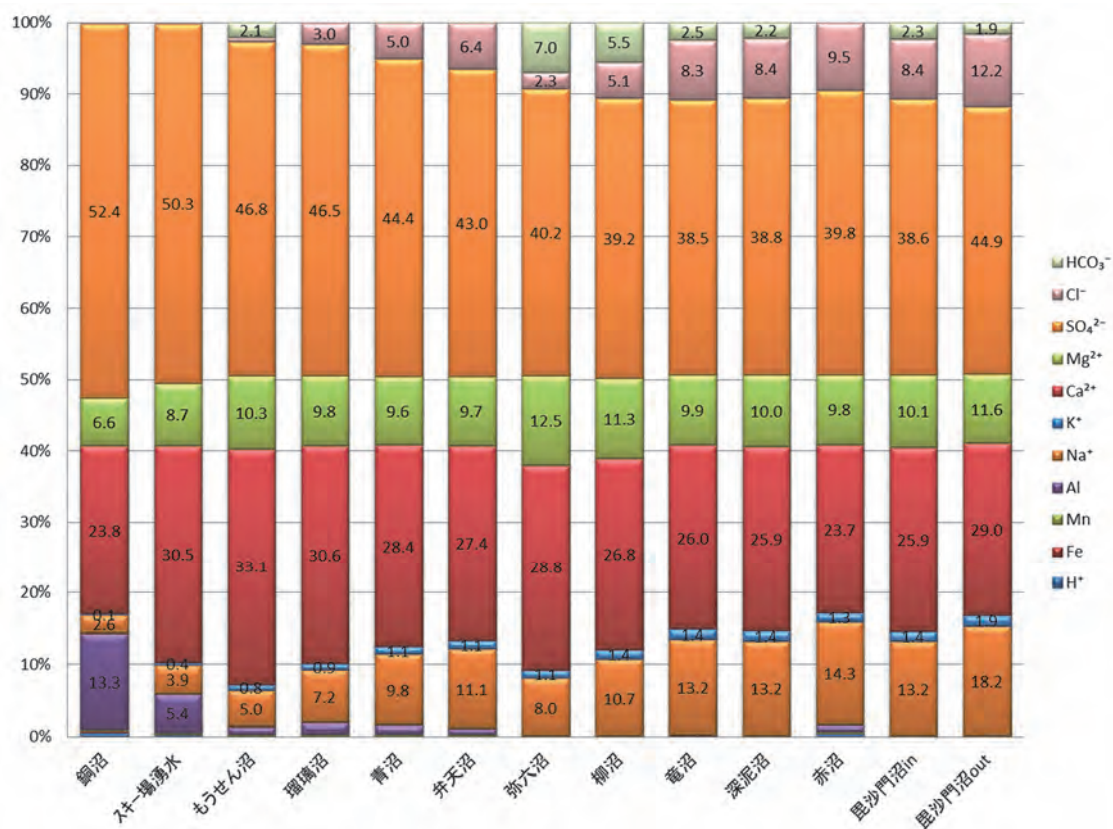
しかし大腸菌群数と硫酸イオンとの間に相関が見られたことから、今後、硫酸イオン濃度の低下による大腸菌群数の影響が懸念される。

引用文献

- 1) 千葉 茂・朝倉誠司・松本仁志(1986)：裏磐梯五色沼の水質とその成因について、福島大学教育学部論集理科報告、38、19-29。
- 2) 福島県(1985～2016)：水質年報
- 3) 平成 27 年度猪苗代湖調査研究事業等報告書、平成 29 年 9 月、6。

別表1 五色沼湖沼群の構成イオン（イオン当量比）2017年

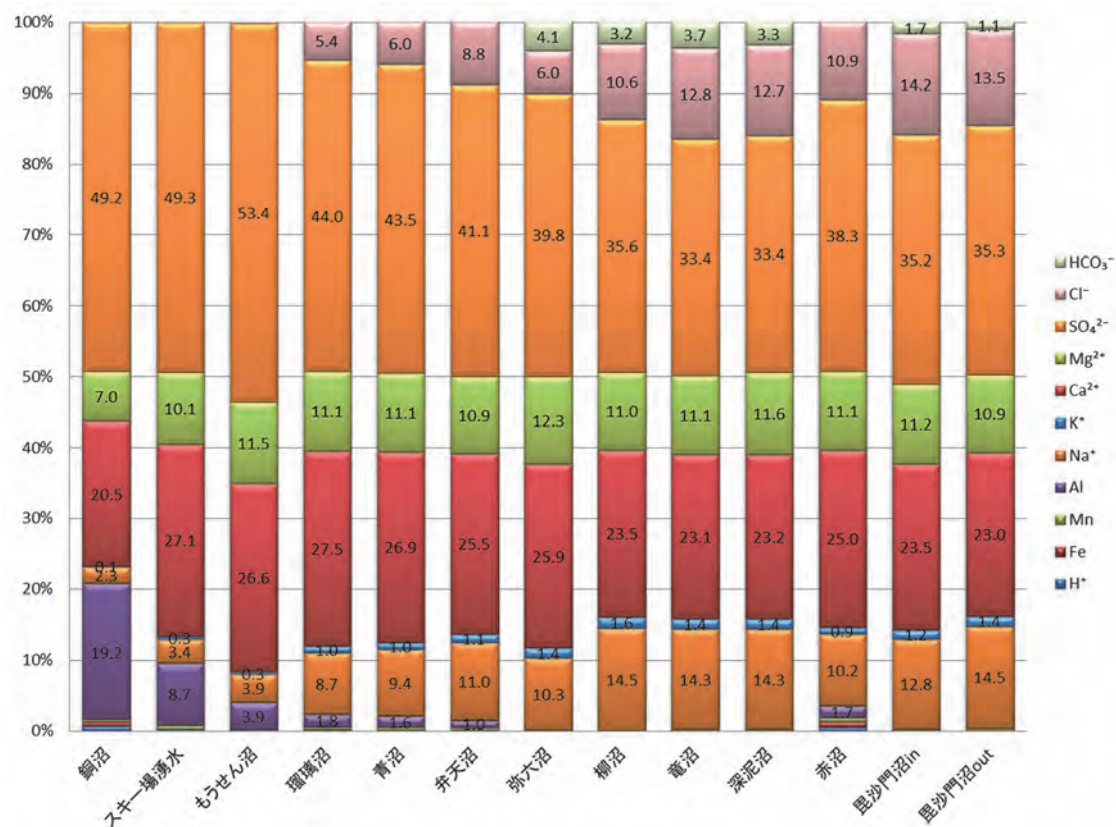
項目 (単位)	銅沼	スギ一場湧水	もうせん沼	瑠璃沼	青沼	弁天沼	弥六沼	柳沼	竜沼	深泥沼	赤沼	毘沙門沼in	毘沙門沼out
H ⁺ (%)	0.5	0.3	0.0	0.1	0.1	0.0	0.0	0.0	0.0	0.0	0.4	0.0	0.0
Fe(%)	0.2	0.0	0.0	0.0	0.0	0.0	0.0	0.0	0.0	0.0	0.1	0.0	0.0
Mn(%)	0.2	0.3	0.3	0.2	0.2	0.2	0.0	0.0	0.1	0.0	0.2	0.0	0.0
Al(%)	13.3	5.4	1.1	1.6	1.3	0.8	0.0	0.0	0.1	0.1	0.9	0.0	0.1
Na ⁺ (%)	2.6	3.9	5.0	7.2	9.8	11.1	8.0	10.7	13.2	13.2	14.3	13.2	18.2
K ⁺ (%)	0.1	0.4	0.8	0.9	1.1	1.1	1.1	1.4	1.4	1.4	1.3	1.4	1.9
Ca ²⁺ (%)	23.8	30.5	33.1	30.6	28.4	27.4	28.8	26.8	26.0	25.9	23.7	25.9	29.0
Mg ²⁺ (%)	6.6	8.7	10.3	9.8	9.6	9.7	12.5	11.3	9.9	10.0	9.8	10.1	11.6
SO ₄ ²⁻ (%)	52.4	50.3	46.8	46.5	44.4	43.0	40.2	39.2	38.5	38.8	39.8	38.6	44.9
Cl ⁻ (%)	0.2	0.2	0.6	3.0	5.0	6.4	2.3	5.1	8.3	8.4	9.5	8.4	12.2
HCO ₃ ⁻ (%)	0.0	0.0	2.1	0.0	0.1	0.1	7.0	5.5	2.5	8.4	2.2	0.0	1.9
総和(meq/L)	47.0	36.9	10.1	23.9	23.7	23.9	4.3	6.1	10.7	10.8	22.3	11.0	13.2



別図1 五色沼湖沼群の構成イオン（イオン当量比）2017年

別表2 五色沼湖沼群の構成イオン（イオン当量比）1985年

項目 (単位)	銅沼	スキ一場湧水	もうせん沼	瑠璃沼	青沼	弁天沼	弥六沼	柳沼	竜沼	深泥沼	赤沼	毘沙門沼in	毘沙門out
H ⁺ (%)	0.7	0.2	0.2	0.1	0.1	0.1	0.0	0.0	0.0	0.0	0.5	0.0	0.0
Fe(%)	0.5	0.0	0.0	0.1	0.0	0.0	0.0	0.0	0.0	0.1	0.8	0.0	0.0
Mn(%)	0.3	0.6	0.0	0.4	0.4	0.4	0.0	0.0	0.2	0.2	0.5	0.2	0.3
Al(%)	19.2	8.7	3.9	1.8	1.6	1.0	0.0	0.0	0.0	0.0	1.7	0.0	0.0
Na ⁺ (%)	2.3	3.4	3.9	8.7	9.4	11.0	10.3	14.5	14.3	14.3	10.2	12.8	14.5
K ⁺ (%)	0.1	0.3	0.3	1.0	1.0	1.1	1.4	1.6	1.4	1.4	0.9	1.2	1.4
Ca ²⁺ (%)	20.5	27.1	26.6	27.5	26.9	25.5	25.9	23.5	23.1	23.2	25.0	23.5	23.0
Mg ²⁺ (%)	7.0	10.1	11.5	11.1	11.1	10.9	12.3	11.0	11.1	11.6	11.1	11.2	10.9
SO ₄ ²⁻ (%)	49.2	49.3	53.4	44.0	43.5	41.1	39.8	35.6	33.4	33.4	38.3	35.2	35.3
Cl ⁻ (%)	0.1	0.1	0.2	5.4	6.0	8.8	6.0	10.6	12.8	12.7	10.9	14.2	13.5
HCO ₃ ⁻ (%)	0.0	0.0	0.0	0.0	0.0	0.0	4.1	3.2	3.7	3.3	0.0	1.7	1.1
総和(meq/L)	102.1	60.5	36.1	39.8	37.3	37.0	8.3	14.3	9.6	10.2	32.5	14.5	0.0



別図2 五色沼湖沼群の構成イオン（イオン当量比）1985年

付表1 調査項目ごとの測定方法と結果の表示方法

調査項目	測定方法	単位	測定結果の表示方法		
			定量下限値	表示した最小桁数	「水質測定計画」との相違点
pH	昭和46年環境庁告示第59号 (JIS 12.1 ガラス電極法)	—	—	小数点以下2桁	※1 大腸菌群数、全窒素及び全燐については水質測定計画と同じ。
EC	JIS 13 電気伝導度計	mS/m	—	小数点以下1桁 (2桁目を切り捨て)	※2 ECも単位(mS, μS)が異なるだけで水質測定計画と同じ。
COD	昭和46年環境庁告示第59号 (JIS 17 KMnO ₄ による酸素消費量)	mg/L	(0.0)	小数点以下1桁 (2桁目を切り捨て)	※3 pHは、水質測定計画よりも一桁下まで(小数点以下2桁目まで)表示することとし、有効数字桁数は考慮しないこととした。
大腸菌群数 〃 (最確数による定量法)		MPN/100mL	(0)	—	※4 DO及びCODは水質測定計画で報告下限とされている0.5mg/L未満の値でも、結果をそのまま表記した。
大腸菌数	特定酵素基質培地QTトレインMPN法(コリラート法) (最確数による定量法)	MPN/100mL	(0)	—	
全窒素	昭和46年環境庁告示第59号 (JIS 45.2 紫外吸光光度法)	mg/L	0.05	小数点以下2桁 (3桁目を切り捨て)	
全 燐	〃 (JIS 46.3.1 ベルオキソ硫酸ナトリウム分解法)	mg/L	0.003	小数点以下3桁 (4桁目を切り捨て)	
DO	昭和46年環境庁告示第59号 (JIS 32 よう素滴定法)	mg/L	(0.0)	小数点以下1桁 (2桁目を切り捨て)	
蒸発残留物	JIS K0102 14.2	mg/L	1	整数3桁(小数点以下を切り捨て)	
酸度	上水試験方法 14.3	mgCaCO ₃ /L	0.0	小数点以下1桁 (2桁目を切り捨て)	
アルカリ度	上水試験方法 14.2	mgCaCO ₃ /L	0.0	小数点以下1桁 (2桁目を切り捨て)	
TOC	JIS K0102 22 燃焼酸化一赤外線式TOC自動計測法	mg/L	0.2	小数点以下1桁 (2桁目を切り捨て)	
Fe	JIS K0102 57.4 ICP発光分光分析法	mg/L	0.01	小数点以下2桁 (3桁目を切り捨て)	0.45 μmのメンブランフィルターにてろ過したもの を試料とした。
Mn	JIS K0102 56.4 ICP発光分光分析法	mg/L	0.01	小数点以下2桁 (3桁目を切り捨て)	
Al	JIS K0102 58.4 ICP発光分光分析法	mg/L	0.01	小数点以下2桁 (3桁目を切り捨て)	
Si	JIS K0101 44.3.1 モリブデン青吸光光度法	mgSiO ₂ /L	0.2	小数点以下1桁 (2桁目を切り捨て)	
Na ⁺	JIS K0102 48.3 イオンクロマトグラフ法	mg/L	0.1	小数点以下1桁 (2桁目を切り捨て)	
K ⁺	JIS K0102 49.3 イオンクロマトグラフ法	mg/L	0.1	小数点以下2桁 (3桁目を切り捨て)	
Ca ²⁺	JIS K0102 50.4 イオンクロマトグラフ法	mg/L	0.1	小数点以下1桁 (2桁目を切り捨て)	
Mg ²⁺	JIS K0102 51.4 イオンクロマトグラフ法	mg/L	0.1	小数点以下1桁 (2桁目を切り捨て)	
NH ₄ ⁺	JIS K0102 42.5 イオンクロマトグラフ法	mg/L	0.05	小数点以下2桁 (3桁目を切り捨て)	
F ⁻	JIS K0102 34.3 イオンクロマトグラフ法	mg/L	0.01	小数点以下2桁 (3桁目を切り捨て)	
SO ₄ ²⁻	JIS K0102 41.3 イオンクロマトグラフ法	mg/L	0.1	小数点以下1桁 (2桁目を切り捨て)	
NO ₃ ⁻	JIS K0102 43.2.5 イオンクロマトグラフ法	mg/L	0.01	小数点以下2桁 (3桁目を切り捨て)	
NO ₂ ⁻	JIS K0102 43.1.2 イオンクロマトグラフ法	mg/L	0.01	小数点以下2桁 (3桁目を切り捨て)	
Cl ⁻	JIS K0102 35.3 イオンクロマトグラフ法	mg/L	0.1	小数点以下1桁 (2桁目を切り捨て)	
HCO ₃ ⁻	衛生試験法 4.1.1.3 (10) 2 中和滴定法	mg/L	0.0	小数点以下1桁 (2桁目を切り捨て)	
クロロフィルa	上水試験方法 VI-4 27	μg/L	(0.00)	小数点以下2桁 (3桁目を切り捨て)	2015年まで測定
Si	JIS K0101 44.1.2 モリブデン青吸光光度法	mgSiO ₂ /L	0.2	小数点以下1桁 (2桁目を切り捨て)	2015年まで測定

付表2 平成29年度調査結果一覧

No	1	2	3	4	5	6	7	8	9	10	11	12	13	14	15	16	17	18	19	20	21	22
湖沼名 採水地点名	無名沼	スキー場 溪水	鍋沼	鍋沼	青沼	青沼	弁天沼	弁天沼	もうせん沼	もうせん沼	いのくぼ沼	いのくぼ沼	石倉沼	石倉沼	さくら沼	さくら沼	毘沙門沼	毘沙門沼	長瀬川	あわせ川	あわせ川	
採水年月日	2017/11/6	2017/11/6	2017/11/6	2017/11/6	2017/11/6	2017/11/6	2017/11/6	2017/11/6	2017/11/6	2017/11/6	2017/11/6	2017/11/6	2017/11/6	2017/11/6	2017/11/6	2017/11/6	2017/11/6	2017/11/6	2017/11/6	2017/11/6		
採水特則	10.05	10.19	10.52	10.57	10.40	10.05	9.40	9.45	9.25	10.00	10.12	12.10	11.45	10.10	10.28	10.40	11.35	11.35	12.04	11.48	10.55	
現地調査結果	気温 ℃	15.9	15.0	17.2	12.0	11.5	11.2	16.2	11.3	14.2	15.4	15.6	9.3	11.0	12.0	11.5	12.1	12.2	12.1	12.4	12.3	11.6
水温 ℃	9.5	9.5	13.6	10.4	9.4	12.4	9.8	6.9	8.5	8.0	9.3	9.0	9.0	12.0	11.5	11.6	11.5	10.9	10.0	10.0	10.1	
臭気	無臭	無臭	無臭	無臭	無臭	無臭	無臭	無臭	無臭	無臭	無臭	無臭	無臭	無臭	無臭	無臭	無臭	無臭	無臭	無臭	無臭	無臭
色相	無色	無色	無色	無色	無色	無色	無色	無色	無色	透明												
濁り	透視度 cm	>100	>100	>100	>100	>100	>100	>100	>100	>100	>100	>100	>100	>100	>100	>100	>100	>100	>100	>100	>100	
採水場所・採水方法等	中矢部(才)付近 大矢部(才)付近 中矢部(才)付近 中矢部(才)付近	開拓の直前にある小林と大矢部の間 開拓の直後に大矢部の間 開拓の直後に大矢部の間 開拓の直後に大矢部の間																				
採水地点の状況等	PS	63°31'14.4"	63°31'25.6"	63°31'38.5"	63°31'58.5"	63°31'58.5"	63°31'58.5"	63°31'58.5"	63°31'58.5"	63°31'58.5"	63°31'58.5"	63°31'58.5"	63°31'58.5"	63°31'58.5"	63°31'58.5"	63°31'58.5"	63°31'58.5"	63°31'58.5"	63°31'58.5"	63°31'58.5"	63°31'58.5"	
採水深	m	0.5	0.5	0.5	0.5	0.5	0.5	0.5	0.5	0.5	0.5	0.5	0.5	0.5	0.5	0.5	0.5	0.5	0.5	0.5	0.5	0.5
流量	m³/s	0.0002	0.123	0.989																		
備考	P H	3.59	3.80	4.02	4.70	4.74	4.86	5.74	5.10	6.33	7.16	7.32	7.09	7.20	7.27	6.99	7.12	7.18	7.01	7.08	6.85	7.27
E C	mS/m	178.0	242	160.1	114.9	121.3	127.4	149.1	125.7	42.1	27.7	26.3	43.5	36.9	28.4	66.3	63.4	65.1	61.0	59.9	53.7	70.5
C O D	mg/L	1.2	1.1	0.5	0.5	0.9	0.8	1.0	1.4	2.3	2.9	2.2	1.9	0.9	0.9	0.9	0.7	0.8	0.8	1.3	0.7	0.7
大腸菌群数	MPN/100mL	65	110	<1	<1	190	<1	190	<1	14	370	<1	63	<1	230	470	<1200	<13	<1	<1	<1	1
大腸菌数	MPN/100mL	0.43	0.08	0.17	0.08	0.09	0.10	0.15	0.14	0.14	0.05	0.05	0.06	0.07	0.07	0.07	0.06	0.05	0.05	0.14	0.05	0.05
T-N	mg/L	0.004	0.003	0.013	0.007	0.006	0.007	0.028	0.004	0.009	0.014	0.013	0.018	0.009	0.009	0.009	0.004	0.004	0.003	0.003	0.003	0.003
T-P	mg/L	10.5	11.3	6.8	9.3	9.3	9.8	6.7	9.6	6.8	10.1	10.0	9.7	9.6	9.1	9.6	10.0	9.9	9.7	9.3	9.4	10.6
D O	蒸発残留物 mg/L	1930	35	1520	959	963	940	964	973	360	196	205	263	188	432	408	405	409	422	491	357	458
酸度	mgCaCO ₃ /L	485.0	25.5	197.0	30.5	26.5	20.2	25.0	16.1	13.9	3.6	3.5	4.9	3.4	4.4	6.1	4.4	4.0	6.1	4.9	6.8	4.3
T H	mgCaCl ₂ /L	0.0	0.0	0.0	0.0	0.0	0.0	0.0	0.0	0.0	0.0	0.0	0.0	0.0	0.0	0.0	0.0	0.0	0.0	0.0	0.0	0.0
T O C	mg/L	0.4	0.4	0.4	0.4	0.4	0.4	0.5	0.5	0.8	1.5	1.8	1.5	1.7	1.6	0.6	0.7	0.6	0.7	0.4	0.6	0.6
F e	mg/L	2.15	0.10	0.01	0.04	0.03	0.02	0.15	0.09	0.02	<0.01	<0.01	<0.01	<0.01	<0.01	0.05	0.05	0.05	0.06	0.31	0.31	0.06
M n	mg/L	2.68	0.25	3.29	1.64	1.71	1.62	1.71	1.53	0.72	<0.01	<0.01	<0.01	<0.01	<0.01	0.27	0.15	0.12	0.05	0.10	0.148	0.09
A l	mg/L	56.11	2.53	17.81	3.53	3.35	2.68	1.87	1.75	1.00	<0.01	0.01	<0.01	0.01	<0.01	0.10	0.12	0.06	0.02	0.06	0.02	0.04
Z n	mg/L	0.12	0.01	0.08	0.01	0.01	0.02	0.01	0.01	0.01	<0.01	<0.01	<0.01	<0.01	<0.01	0.01	<0.01	<0.01	<0.01	<0.01	0.01	0.01
N a ⁺	mg/L	28.0	2.0	33.4	44.6	33.5	80.8	60.7	11.7	8.0	8.0	15.4	15.0	12.9	32.1	32.4	32.3	32.6	33.3	46.0	73.2	43.9
K ⁻	mg/L	2.73	1.52	5.35	8.11	8.67	9.91	12.07	10.71	3.23	2.00	1.92	3.29	3.10	2.14	5.93	5.88	5.67	5.97	6.01	11.9	7.70
C a ²⁺	mg/L	224.6	10.4	228.2	147.1	144.5	135.4	131.6	67.0	281	25.1	34.9	32.9	24.3	55.0	55.5	56.0	57.1	63.8	106.3	61.1	0.09
M g ²⁺	mg/L	37.18	2.0	39.2	28.5	27.7	34.2	22.6	7.6	6.6	8.8	8.4	6.3	12.6	12.8	13.1	13.5	13.5	13.5	26.5	14.9	0.04
N H ₄ ⁺	mg/L	<0.05	<0.05	<0.05	<0.05	<0.05	<0.05	<0.05	<0.05	<0.05	<0.05	<0.05	<0.05	<0.05	<0.05	<0.05	<0.05	<0.05	<0.05	<0.05	<0.05	<0.05
F ⁻	mg/L	1.87	0.10	1.27	0.75	0.74	0.57	0.64	0.32	0.25	0.23	0.27	0.26	0.21	0.31	0.31	0.31	0.30	0.30	0.29	0.28	0.28
S O ₄ ²⁻	mg/L	118.42	58.3	89.3	53.5	53.3	50.5	49.9	227.1	99.3	83.9	122.7	115.2	76.2	194.7	197.3	197.3	201.5	201.5	237.7	426.8	228.8
N O ₃ ⁻	mg/L	<0.01	<0.01	<0.01	<0.01	<0.01	<0.01	<0.01	<0.01	<0.01	<0.01	<0.01	<0.01	<0.01	<0.01	<0.01	<0.01	<0.01	<0.01	<0.01	<0.01	<0.01
C l ⁻	mg/L	2.5	1.2	2.2	2.2	25.4	30.1	42.4	81.6	54.3	2.1	3.6	11.0	10.8	31.1	31.4	31.4	32.9	32.9	47.7	75.2	45.6
H C O ₃ ⁻	mg/L	0.0	0.0	0.0	0.0	0.0	0.0	0.0	0.8	7.6	1.3	13.7	18.8	19.7	21.2	22.0	24.0	17.5	17.3	15.3	13.5	0.0
																					14.3	

※1 採水地点の参考となるため、採水した場所のおおよその水深を記載する。

※2 流出部で水質を測定する。

※3 大腸菌群は各測定点(代表地点(原点)として出水部)で測定する。

※4 採水位置は測地点が地図上に記載する。